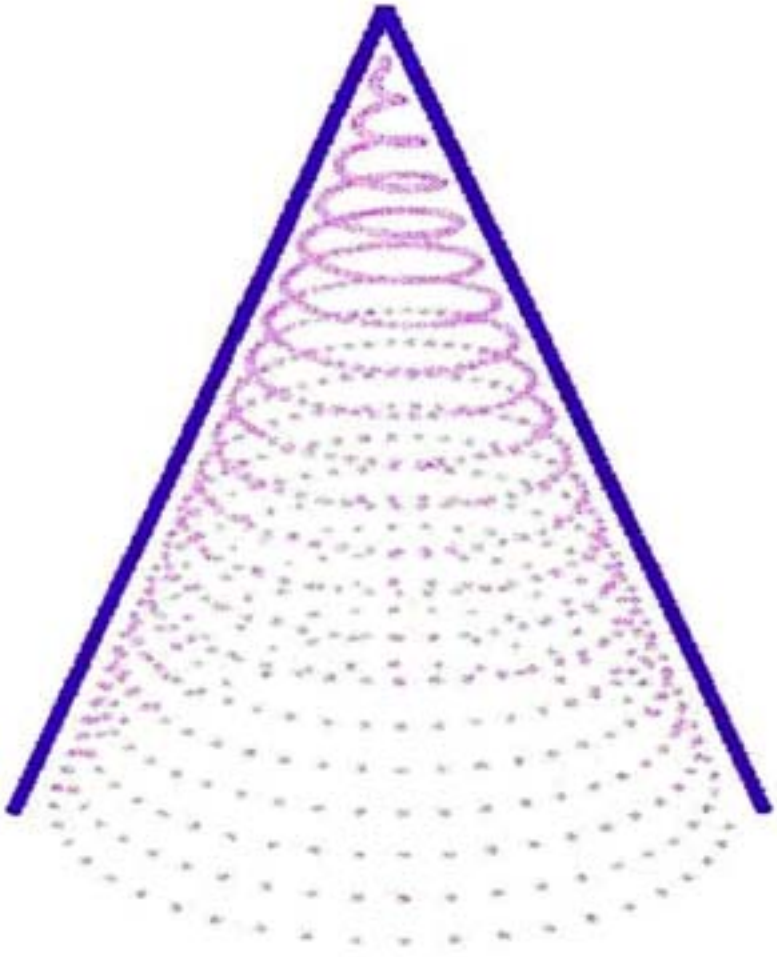
Tradotto dal Inglese al Italiano - www.onlinedoctranslator.com

SHAPE POWER

A Treatise On How Form Converts Universal Aether Into Electromagnetic And Gravitic Forces And Related Discoveries In Gravitational Physics



Dan A. Davidson

SOMMARIO

Prefazione XI *Introduzione XVII*

1. FISICA ETERICA DEL POTERE DELLA FORMA 1
1.1 L'etere 1
1.1.1 Termini storici per l'etere 2
1.1.2 Etere e le sue conversioni..... 3
1.1.3 Caratterizzazione dell'etere 3
1.2 Fisica nucleare 3
1.2.1 Carica, elettroni e particelle nucleari 4
1.2.2 Struttura atomica 4
1.2.3 Magnetismo..... 5
1.2.4 Gravità 6

1.3 Progettare l'etere 7
1.4 Potenza di forma e onde di stress eterico..... 8

1.4.1 Potenza di forma di un punto 8
1.4.2 Potenza di forma di una linea 9
1.4.3 Potenza di forma di due rette parallele 10
1.4.4 Potenza di forma di due linee che si intersecano 11
1.4.5 Potere di forma di più linee che si intersecano..... 12
1.4.6 Potere di forma di un triangolo 14
1.4.7 Potere di forma di un tetraedro 15
1.4.8 Potere di forma di un Tesseract a 12 punte 16
1.4.9 Potere di forma di un cerchio 17
1.4.10 Simbolo di Maria 18
1.5 Flussi di energia naturale 19
1.5.1 Energia della spirale 19
1.5.2 Flusso energetico triangolare modificato 21
1.5.3 Lente di potenza a forma planare..... 21
1.5.4 Perché le linee tracciate causano disturbi eterici..... 22
1.5.5 Combinazione di simboli di potere di forma 23
1.5.6 Osservazioni sull'energia del modello più planare 23

1.6 Bloccare l'energia usando la regola del quattro..... 24
1.7 Riepilogo della fisica del potere di forma 25
1.8 Bibliografia..... 27

2. CRONOLOGIA DI SHAPE POWER 29
2.1 Storia del potere di forma..... 29
2.2 John Ernst Worrel Keely 31

2.2.1 Breve storia di Keely 31
2.2.2 Le scoperte di Keely 32
2.2.3 Verifica delle scoperte di Keely 33

2.2.3.1 Duplicazione dell'etherializatlon dell'acqua 34
2.2.3.2 Fisica dell'eterealizzazione 35
2.2.3.3 Levitazione di una sfera di ferro da 4 tonnellate:..... 36
2.2.4 Sintesi della ricerca di Keely 36
2.3 Energia orgonica 37
2.3.1 Breve storia di Wilhelm Reich 37
2.3.2 Introduzione all'energia orgonica 38
2.3.3 L'Oraccu..... 38
2.3.4 Effetti biologici costruttivi dell'energia orgonica..... 40
2.3.5 Potenza di forma ed energia orgonica 40
2.3.6 Energia Orgone (Dor) pericolosa..... 41
2.3.7 Riepilogo dell'energia orgonica..... 41
2.4 Fisica dell'implosione..... 41
2.4.1 Breve storia di Viktor Schauberger 42
2.5 Riepilogo della fisica dell'implosione 45
2.6 Bibliografia..... 46

3. ENERGIE DELLA TERRA 47
3.1 Energie della Terra 47
3.2 Linee di potere 47
3.3 Reti Energetiche 48
3.4 Uso del Potere della Forma Antica delle Energie della Terra..... 50
3.5 Esperienza sull'Energia della Terra 51

3.5.1 Test iniziali con i chiaroveggenti..... 51
3.5.2 Test di trasmissibilità delle sostanze all'energia verde 52
3.5 3 Griglia Energetica Eterica della Terra..... 54
3.6 Esercizi di Pranayama, Chi Gung e Tai Chi..... 54
3.7 Feng-Shui, il metodo cinese di controllo del Chi 55
3.8 Riepilogo delle energie della Terra..... 55
3.9 Bibliografia..... 56

4. ENERGIA PIRAMIDALE..... 57
4.1 Introduzione alla Piramide 57
4.2 La Grande Piramide non era una tomba 59
4.3 Relazione Matematica Della Grande Piramide 59
4.4 Energia piramidale..... 60
4.5 Riepilogo della ricerca sull'energia delle piramidi 60
4.6 Esperimento sulle piramidi di rame..... 62
4.7 Generazione di energia elettrostatica 63

4.7.1 La sconvolgente esperienza di Les Brown 63
4.7.2 Energia a spirale fuori dall'apice della piramide 64
4.7.3 Energia elettrostatica alla Grande Piramide..... 65
4.7.4 Generazione di energia elettrostatica a piramide statica..... 66
4.8 Teoria di come viene creata l'energia della spirale piramidale..... 66

4.8.1 Linee che si intersecano 67
4.8.2 Forze concentrate 67
4.8.3 Effetti dell'essiccamento 67
4.8.4 Orientamento magnetico 68
4.8.5 Generazione magnetica..... 69

4.9 Riepilogo dell'energia della piramide 70
4.10 Bibliografia..... 71

5. SHAPE POWER E "GEOMETRIA SACRA" 73
5.1 Geometria Sacra 73
5.2 Figure geometriche della geometria sacra 74
5.2.1 Un punto 74
5.2.2Un cerchio 75
5.2.3 Una sfera 75
5.2.4 Solidi Platonici 75
5.3 La Matematica Della Geometria Sacra 77
5.3.1 Pi..... 77
5.3.2 Il Mezzo Aureo (Phi) 78
5.3.3 Triangoli rettangoli perfetti 78

5.4 Potere della forma e geometria sacra 79
5.5 Potere di forma, geometria sacra e coscienza 79
5.6 Riepilogo del potere della forma, geometria sacra 80
5.7 Bibliografia..... 82

6. IL POTERE FORMA DEI CRISTALLI 83
6.1 Introduzione..... 83
6.2 Struttura Cristallina E Potere Della Forma 84
6.3 Cristallografia atomica 84

6.3.1 Solidi Platonici..... 84
6.3.2 Strutture cristalline 85
6.3.3 I reticoli come forma di contenitori di energia di potenza 85
6.3.4 Cristalli come strumenti di guarigione con l'energia eterica..... 85
6.4 Macrocristallografia 86
6.4.1 Strutture a macroreticolo 86
6.5 Riepilogo dei cristalli come raccoglitori di potere di forma 87
6.6 Bibliografia..... 88

7. RICERCA SPERIMENTALE SULLE ENERGIE DI POTERE DI FORMA..... 89
7.1 Rilevatori di energia gravitazionale 89
7.1.1 Rilevamento della sollecitazione gravitazionale mediante dielettrici 89
7.1.2 La bobina del non fare..... 92
7.1.3 La fisica dei rilevatori di stress eterico (IE, flusso gravitazionale)93
7.2 La scoperta della bolla energetica della Piramide di Joe Parr..... 94
7.2.1 La forma come sensore di energia 94
7.2.2 Generazione della Piramide Es dinamica 95
7.2.3 Esperimenti sulla ruota gravitazionale di Joe Parr 98

7.2.4 Campi di forza dell'esperimento della ruota gravitazionale 100
7.3 Duplicazione di esperimenti sulla ruota gravitazionale 101
7.3.1 Configurazione sperimentale e risultati della ruota gravitazionale 101
7.4 Corellazioni astronomiche con la Grande Piramide.....104
7.4.1 La connessione Toro/Pleiadi. 104
7.4.2 La connessione di Orione 106

7.5 Esame da chiaroveggente e rabdomante dell'esperimento di Joe Parr
7.6 08 Piramidi di alluminio e osservazioni sull'energia Jp 108
7.7 Parametri critici degli esperimenti sulla gravità della piramide... 109
7.8 Riepilogo degli effetti sperimentali del potere di forma 110
7.9 Bibliografia..... 111

8. STRUTTURA NUCLEARE - BASE DEL POTERE DI FORMA 113
8.1 Introduzione 113
8.2 L'elettrone toroidale 115
8.2.1 Fisica dell'elettrone toroidale..... 120
8.3 Struttura atomica..... 126
8.4 Magnetismo 128
8.4.1 Gravità..... 128
8.5 Riepilogo della struttura nucleare 130
8.6 Bibliografia..... 131

9. SPEDIZIONE DI RICERCA IN EGITTO 133
9.1 1997 Spedizione di ricerca sulla forza di forma in Egitto..... 133
9 2 Panoramica della spedizione egiziana 133
9.3 Creazione sonica dei campi di forza piramidali 134
9.3.1 Analisi Acustica Della Camera Del Re 134
9.3.2 Trovare la Frequenza del Campo di Forza della Piramide..... 134
9.3.3 Faro interstellare 135

9.4 Misurazioni del campo magnetico nella Grande Piramide 136
9.5 Prove per la tecnologia avanzata nell'antico Egitto 137

Appendice A. MOVIMENTI DI ENERGIA SACRA..... 141

Appendice B. TABELLA TRONCA DEI DATI DEI NUCLIDE 147

PREFAZIONE

Di Jerry W. Decker www.keelynet.com
Casella postale 111786
Carrollton, TX 75011

Ci sono campi di studio che sono relativamente sconosciuti al grande pubblico. Sebbene il "potere piramidale" sia ben noto, pochi l'hanno perseguito in altre forme geometriche e nei fenomeni che possono essere prodotti comprendendo ciò che sta accadendo. Alcuni dei primi ricercatori chiave di Shape Power e del più specifico Pyramid Power includono Pavlita, Belizal, Turenne, Drbal e Flanagan.

L'Ingegneria eterica pratica è realizzata in natura mediante l'uso di varie forme e schemi geometrici, come testimoniato nella serie di Fibonacci, frattali, tessere, coni e forme tetraedriche. L'entomologo Phil Callahan ha mostrato come gli insetti e alcune piante utilizzino forme geometriche per raccogliere e trasmettere onde elettromagnetiche e acustiche.

Quando si comprende che l'Etere, essendo il substrato di base dell'universo, può subire interferenze a tal punto da produrre ogni sorta di aggregazione di energia e materia, ne consegue che tutto è il risultato dell'Ingegneria dell'Etere a vari livelli.

Dan Davidson è stato all'avanguardia nel campo dell'ingegneria eterea per la maggior parte della sua vita adulta. Nelle nostre numerose discussioni e scambi di informazioni nel corso degli anni, ho scoperto che Dan è uno degli investigatori più affidabili, coerenti e seri che ho avuto il privilegio di conoscere. Poche persone hanno la capacità naturale di Dan di andare al sodo e cercare ciò che è pratico nei campi della scienza alternativa, al contrario di coloro che preferiscono promuovere i fenomeni come misteri inconoscibili o affermazioni non provate.

Ci vuole non solo una grande quantità di dedizione e perseveranza, ma anche un considerevole investimento personale di tempo e denaro per fare la differenza. Ho scoperto che Dan mette i suoi soldi e il suo tempo dove è la sua bocca e in realtà fa gli esperimenti per confutare o convalidare le affermazioni.

Un altro dono chiave che ho scoperto che Dan possiede è la sua disponibilità a utilizzare approcci diversi da quelli meccanicistici nello studio della scienza alternativa.

Ad esempio, in alcuni casi, la metafisica è uno strumento altrettanto valido quanto l'uso dell'hardware ed è davvero un dono raro *essere* in grado e disposti a colmare le lacune mancanti utilizzando informazioni derivate da tali fonti.

Per quanto mi riguarda, è irrilevante per quanto riguarda le fonti di informazione che portano a una nuova tecnologia, solo che funziona come affermato e può essere replicato da altri e messo in pratica da tutti.

Quando leggi Shape Power, dovresti tenere presente che Dan sta descrivendo una forma di ingegneria eterica nelle sue fasi iniziali. Gli eventi recenti e attuali danno sempre più credito all'idea che le civiltà morte da tempo comprendessero questi principi eterici e li usassero nella loro vita quotidiana. Credo che ciò che leggerai in Shape Power sia una descrizione di ciò che alla fine porterà a nuove tecnologie radicali.

L'essenza di come i modelli geometrici possono influenzare i flussi di energia è esattamente la stessa di come funzionano le antenne e altre strutture risonanti. Dal momento che tutto risuona e stabilisce un trasferimento di informazioni ed energia tra due o più corpi risonanti, allora uno schema bidimensionale può risuonare precisamente in una struttura tridimensionale.

Proprio come un corno a microonde o un'antenna raccoglie o trasmette l'energia delle onde, così anche i modelli geometrici possono essere usati per raccogliere, trasmettere o modulare i campi energetici circostanti, incluso l'etere.

Il ricercatore di cimatica del XVII secolo Ernst Chaldni ha scoperto che le piastre d'onda vibranti ti permetterebbero di vedere effettivamente le onde sonore come un'immagine bidimensionale. Hans Jenny ha scoperto come espandere queste immagini bidimensionali in forme tridimensionali che mostrano chiaramente la forma di onde sia semplici che complesse.

John W. Keely ha utilizzato tali piastre d'onda vibranti come una prima forma ancora più avanzata di oscilloscopio, permettendogli di vedere non solo le onde ma anche come interagiscono tra loro. Il principio della piastra d'onda era la base del suo microscopio a proiezione ultravioletta che gli permetteva di visualizzare gli atomi vibranti su uno schermo.

Esperimenti moderni con ferrofluidi guidati da un magnete per altoparlanti mostrano una visualizzazione sorprendentemente complessa e bella di strutture d'onda tridimensionali statiche o dinamiche, a seconda che i toni siano fissi o mutevoli.

Nella metafisica, noi scoprire il utilizzo di geometrico mandala come strumenti di messa a fuoco della coscienza. Questi servono come forma bidimensionale. Quando questa forma bidimensionale viene espansa in tre dimensioni, il mandala diventa ora il modello spaziale vocalizzato chiamato mantra (yantra). Una volta convertito in tre dimensioni, ora ha una struttura energetica.

I principi geometrici di Shape Power descritti in questo libro sono queste forme bidimensionali che funzionano come guide d'onda di energia eterica o sottile.

Le geometrie Shape Power sono abitualmente utilizzate negli anelli protettivi della magia cerimoniale, nella costruzione di amuleti e talismani così come nei sigilli (firme) di varie entità demoniache o angeliche. Questi modelli producono corrispondenze (risonanze) per stabilire un contatto con l'entità o l'influenza desiderata. Stimolando una tale geometria Shape Power, letteralmente evochi o richiami l'influenza, proprio come fare una telefonata.

C'è una storia su un gruppo di sperimentatori che ha inciso il sigillo dello spirito elementale del vento su un circuito stampato. La scheda è stata sottoposta a un campo magnetico fluttuante ad alta densità (utilizzando varie frequenze fino a quando non è stato notato un effetto). Dopo alcuni minuti di eccitazione, il vento all'esterno dell'edificio assunse una vetocità tomadica e l'edificio crollò mentre l'entità del vento tentava di interfasarsi con il risonatore.

In un senso più pratico, Shape Power può essere inteso come un mezzo per indirizzare i flussi di energia in un percorso preferito. Quel percorso è la geometria che si riflette come una struttura tridimensionale, che risuona e scambia energia con altre strutture risonanti simili perché ora sono sintonizzate.

Dan descrive una scoperta interessante in cui un flusso in uno schema bidimensionale può essere distorto per seguire un determinato percorso. Ha scoperto che il modello deve essere disegnato con un tratto continuo della penna, invece di essere disegnato in sezioni. A quanto ho capito, mentre la penna o la matita si muove per disegnare lo schema, vengono depositati cristalli che puntano nella direzione del percorso, come tessere del domino cadute, che servono come una sorta di guida d'onda per l'energia sottile o eterica.

Forse qualcosa di questa natura potrebbe servire a creare un condotto per la polarizzazione di un flusso di energia in un collettore. Una volta che il collettore è carico, può essere estratto scaricandolo o sotto forma di scarica improvvisa.

Un'altra affermazione che illustra come potrebbe essere utilizzato Shape Power è nei file Incunabula. Partendo dal presupposto che esiste un numero infinito di altri mondi che coesistono con noi ma leggermente sfasati, è stato creato un dispositivo che utilizzava una vasca di deprivazione sensoriale, uno schermo televisivo per proiettare uno schema bidimensionale e un elmetto cablato a solenoide per inviare un modello elettromagnetico tridimensionale che risuona all'immagine bidimensionale.

I file Incunabula indicano che è stato trovato il mandala/mantra per 5 Terre alternative e che un soggetto potrebbe essere spostato fisicamente in un'altra realtà semplicemente essendo esposto simultaneamente alla mappa 2D e 3D per quella posizione. Ancora una volta, Shape Power.

Ancora un altro concetto che utilizza Shape Power sono i "tulpoids" di Tom Bearden, che sono entità provenienti da realtà alternative. Nelle giuste condizioni, queste entità possono passare dalla loro realtà alla nostra, anche lasciando il fisico

tracce mentre qui. La tecnica implica caricare un'entità a un livello di energia che corrisponda alla realtà target, quindi presentare le immagini del mandala/mantra per consentire il cambiamento. Una volta che il livello di energia dell'entità aliena ritorna al suo stato di energia naturale, ritornerebbe al suo

realtà domestica. Il punto che Bearden sta sottolineando è che tutti i mondi e le creazioni possibili esistono, anche a livello mentale, quindi producendo uno schema sostenuto, crei effettivamente quella realtà da qualche parte nell'onniverso. Usando Shape Power, potrebbe essere possibile spostare quella micro-realtà desiderata nella nostra.

Scrittore di fantascienza John Campbell ha scritto un storia di il Hieronymous macchina radionica, dove una carta di credito di plastica bianca veniva riscaldata per ammorbidire la plastica. Una macchina radionica *era* sintonizzato su un dato schema (firma) che è stato proiettato elettrostaticamente tra due lastre di metallo. Quando la plastica riscaldata veniva posta tra le lastre e lasciata raffreddare, si formava un elettrete che continuava a trasmettere il disegno senza alcuna fonte di energia esterna. Il modello è una firma che ha una forma tridimensionale che risuona in una realtà sintonizzata come determinato dalla volontà dell'operatore della macchina radionica.

La dottoressa Thelma Moss dell'UCLA ha determinato i modelli di onde cerebrali per vari stati emotivi e fisici. Questi modelli, registrati su un registratore grafico in due dimensioni, possono essere proiettati in un soggetto per produrre l'effetto desiderato. Il modello proiettato è di nuovo tridimensionale e quindi una forma strutturata. Il dottor Michael Persinger ha scoperto che i pensieri si verificano nel cervello come forme tridimensionali, che sono ridotte dalla strumentazione a schemi bidimensionali.

Il dio egizio Thoth era custode delle Parole di Potere, usate per produrre fenomeni controllati quando pronunciate con la corretta intonazione e pronuncia. Nel caso di Iside che guarisce suo figlio da un morso mortale di scorpione, l'uso di una specifica parola di potere ha causato l'espulsione del veleno dal corpo e il ritorno della forza vitale. Anche altre leggende e miti si riferiscono all'uso di tali parole di potere. Le parole di potere producevano uno schema tridimensionale che risuonava con l'etere per produrre un effetto desiderato o realtà nella materia o nell'energia.

Edward Leedskalnin, costruttore del famoso Coral Castle a Homestead, in Florida, affermò di aver riscoperto come gli egiziani costruirono le piramidi. Dobbiamo prenderlo sul serio perché ha lasciato l'intero castello come prova fisica della sua capacità di spostare grandi pietre senza l'uso di attrezzature. I vicini hanno detto che "cantava" alle pietre, ma non c'è mai stato un testimone oculare a testimoniare questa tecnica. Forse ha scoperto le parole di potere che potrebbero essere usate per produrre uno schema di deflessione dell'etere e della gravità che porta alla levitazione.

Uno dei maggiori problemi con Shape Power nella sua fase attuale, è la mancanza di strumentazione in grado di rilevare direttamente i cambiamenti quantificati nell'etere. Gli effetti secondari e terziari dell'etere che si manifestano in

le forme del magnetismo, dell'elettricità e delle fluttuazioni gravitazionali così come l'uso dei sensitivi è un approccio veramente ispirato.

Insieme all'uso del voltmetro, del gaussmetro, dell'amperometro, delle macchine radioniche e del sensore di onde gravitazionali, gli organismi viventi come le piante possono anche essere usati come strumenti per mostrare gli effetti benefici o dannosi di un modello in fase di test. Il test muscolare che utilizza la kinesiologia è ancora un altro mezzo per determinare se un modello è generalmente dannoso o benefico per un sistema vivente.

Quali sarebbero alcuni degli usi pratici di Shape Power una volta compreso il processo?

1. Lo sviluppo di modelli sintonizzati che possono essere indossati sul corpo per reindirizzare l'energia ambientale in modo tale da proteggerci dalle energie dannose o attrarre energie benefiche. Gli studenti dell'occulto si riferiscono a questi come amuleti o talismani.

2. Nel corso della mia vita, ho spesso incontrato persone che inconsapevolmente causano il malfunzionamento delle macchine con la loro stessa presenza. Si potrebbe creare uno schema che filtrerebbe tali campi deterrimentali o enarmonici e li annullerebbe utilizzando uno sfasamento di 180 gradi. Una tale tecnica potrebbe prolungare la vita e il tempo di attività di qualsiasi tipo di apparecchiatura.

3. Una branca completamente nuova della medicina energetica che utilizza specifici modelli proiettati in 2D e 3D per produrre un effetto molto reale da tali stimolazioni virtuali. Non ci sarebbero droghe o inquinanti fisici che spesso portano a effetti collaterali.

4. Scoperta di geometrie o modelli che potrebbero aiutare a deviare energia aggiuntiva dentro o attorno a una macchina quasi unitaria per guidarla in una condizione oltre l'unità.

5. Interazioni con l'etere per controllarne il flusso nella materia, alterandone così il peso, le caratteristiche o la stessa esistenza.

Chiaramente, Shape Power ha molti usi possibili e le strade per la scoperta sono spalancate a coloro che desiderano approfondire l'argomento. Dan ha condiviso le sue conoscenze in modo che gli altri possano essere ispirati e vedere le possibilità di come Shape Power può essere utilizzato per migliorare le nostre vite.

INTRODUZIONE

Il "potere della forma" è la capacità delle forme multidimensionali di manipolare l'energia dello spazio locale. In questo trattato userò il termine "etere" per indicare il campo di energia dello spazio locale che permea tutto lo spazio e il tempo. L'etere come termine e concetto non è attualmente accettato nei circoli accademici perché si suppone che l'etere sia stato smentito nella prima parte di questo secolo dall'esperimento di Michaelson-Morley. I difetti nell'esperimento hanno causato l'esecuzione di nuovi esperimenti che hanno indicato l'esistenza dell'etere; tuttavia, la comunità dei fisici ortodossi non ha accettato questi risultati. Inoltre, la ricerca negli ultimi 20 anni ha riportato l'etere in una nuova veste chiamata "energia di punto zero" (ZPE). Preferisco il termine etere perché connota un concetto molto più ampio di ZPE.

Siamo circondati da forme naturali e artificiali. Dalla straordinaria geometria del regno atomico e subatomico, alla bellezza simmetrica di fiori e conchiglie, alla forma di pianeti e galassie, troviamo un caleidoscopio di forme che definisce, in un numero infinito di modi, il nostro meraviglioso universo. Tutte le forme naturali sono il risultato di forze naturali all'opera e, come tali, sono sintonizzate su queste forze naturali perché ne fanno parte.

Ho usato per la prima volta il termine "Shape Power" nel mio primo libro sull'energia libera, "Energy: Breakthroughs to New Free Energy Devices". A quel tempo dedicai un intero capitolo agli effetti delle forme geometriche che manipolano il campo eterico intorno a loro. Il primo esempio di ciò è la capacità della forma piramidale di raccogliere e focalizzare l'energia eterica. Sono stati scritti numerosi libri sull'"energia piramidale" e le piramidi hanno attraversato e attraversano ancora vari stadi di moda all'interno dei circoli new age. La capacità dell'energia piramidale di provocare vari effetti è ben documentata.

Ogni forma manipola l'etere in qualche modo. Un cono è un esempio di una piramide a facce infinite e come tale farà molte delle stesse cose che fa una semplice piramide. Il teepee indiano americano è un esempio di forma quasi conica che ha molti degli stessi effetti energetici della piramide.

Questo libro esplorerà come diverse forme manipolano l'etere e come Shape Power può essere utilizzato da te per migliorare la tua vita, la tua casa, il tuo ufficio e il tuo benessere generale.

Shape Power è stato utilizzato in tutta la storia conosciuta e nella più remota antichità. La sua manifestazione più comune è stata nell'uso di amuleti, magia cerimoniale e pratiche occulte. Simboli come il quadrato, la croce e il triangolo ricorrono regolarmente nei simboli occulti. La croce ha un numero innumerevole di permutazioni e la sua associazione con il cristianesimo è un fenomeno recente nella storia conosciuta.

In questo giorno moderno, la maggior parte delle persone non associa i simboli come focolai di energia e potere. Per loro, un simbolo non è altro che una figura artistica o comune che può avere o meno un significato e se hanno qualche associazione di potere rispetto a un simbolo, è semplicemente l'idea di un possibile potere associato a un'organizzazione o attività che utilizza il simbolo. Ad esempio, un logo aziendale non avrebbe alcun potere intrinseco in sé; tuttavia, l'azienda può essere un'organizzazione potente. L'uso del pentagramma (cioè una stella a cinque punte) nella magia cerimoniale sia bianca (cioè costruttiva con la punta centrale in alto) che nera (cioè distruttiva con la punta centrale in basso) è ben nota a coloro che si sono dilettati nelle scienze occulte . La croce cristiana e la stella di David ebraica sono simboli religiosi comuni con un certo potere mistico ad essi associato.

Quando ho studiato per la prima volta Shape Power e simboli, mi sono chiesto come un simbolo potesse essere usato sia per scopi costruttivi che distruttivi, fino al punto di chiedermi se il simbolo avesse davvero qualcosa a che fare con i processi magici. Ho imparato da tempo in modo diverso e ti invito a imparare alcune di queste cose entusiasmanti sulle forme semplici, che, se le applichi, possono migliorare la tua vita e la comprensione dell'universo in cui viviamo.

Per studiare qualsiasi tipo di fenomeno energetico, è necessaria la strumentazione per far conoscere cosa sta accadendo con le energie. In fisica ed elettronica disponiamo di strumenti di rilevamento come voltmetri, gaussmetri, oscilloscopi, camere a nebbia, amperometri, misuratori di campi elettromagnetici, microscopi a scansione, telescopi, ecc., per rilevare e misurare le forze fisiche e gli effetti ad esse associati. Nel caso dell'etere, c'erano relativamente pochi strumenti reali fino a quando non ho inventato la strumentazione che avrebbe rilevato le forze eteriche e misurato i loro effetti. Questi strumenti hanno permesso di comprendere alcune delle scoperte di questo trattato.

Oltre alla strumentazione fisica, ho utilizzato anche i chiaroveggenti come strumenti umani quando ho potuto dimostrare in modo conclusivo che hanno la vista interiore aperta. Un vero chiaroveggente è in grado di vedere i campi energetici del piano eterico come la luce intorno a una persona (cioè l'aura), intorno a varie attività di luce in natura (per esempio, intorno e dentro alberi e organismi viventi), intorno a forme geometriche , attorno ai magneti, può vedere nella materia, ha una visione sia microscopica che telescopica e molte altre notevoli capacità. Possono vedere la direzione del flusso dei campi di energia sottile, il suo colore e la forma generale. Mio

l'esperienza nella ricerca psichica e nei test psicologici mi ha permesso di identificare alcuni chiaroveggenti di prim'ordine che hanno fornito ulteriori, molto preziose, informazioni sulla scienza del Potere della Forma.

In questo libro ho raggruppato tutti i chiaroveggenti per semplicità. Ciò è stato fatto per proteggere le varie identità poiché tutte desiderano rimanere anonime. Ho usato chiaroveggenti maschi e femmine per vari test.

È incredibile quello che siamo stati in grado di dimostrare finora. È meglio che usare un oscilloscopio sui circuiti elettronici. Usare i chiaroveggenti come strumento di prova è un feedback totale in tempo reale su esattamente ciò che sta accadendo all'energia. Ad esempio, ho eseguito alcuni test su vari materiali per scoprire cosa succede con la trasmissione di energia eterica attraverso i materiali. Quando sono stati usati i chiaroveggenti, hanno spiegato cosa potevano vedere accadere mentre l'energia eterica interagiva con i diversi materiali; poi abbiamo utilizzato la strumentazione elettronica per verificare quanto osservato dal chiaroveggente.

Per la maggior parte, l'uomo costruisce e crea con poca attenzione alla forma se non come meccanismo funzionale per contenere lo spazio e aggiungere occasionalmente bellezza estetica. Si spera che facendo conoscere le regole di come le forme manipolano l'energia, che tutti, dagli inventori, artisti e architetti, a ciascuno di noi come esseri creativi, possano usare queste regole scientifiche per creare un mondo migliore, pieno di forme costruttive e disegni che elevano e nobilitano tutti noi.

maggio 1997
Sierra Vista, Arizona

Dan A. Davidson

CAPITOLO 1

FISICA ETERICA DEL POTERE DELLA FORMA

Questo capitolo discute la mia scoperta fondamentale su come funziona il potere di forma e le energie (cioè le forze eteriche) che guidano le forze nucleari.

1.1 L'etere

Fondamentale per comprendere il potere della forma è il modo in cui l'etere luminifero interagisce con la materia. La premessa di base è che tutta la materia è semplicemente un caso speciale dell'energia universale onnipervadente che riempie tutto lo spazio; vale a dire, l'etere. Nel corso degli anni, l'esistenza e la comprensione dell'etere si sono evolute come base per gli effetti della gravità e dell'energia libera a livello micro e macro. Esperimenti di laboratorio hanno dimostrato che l'energia superluminale e il trasferimento di informazioni sono stati effettivamente realizzati tramite l'ingegneria eterica, che elimina efficacemente la teoria della relatività ristretta e le sue ipotesi di una velocità costante della luce.

L'etere può essere modellato come un superfluido che ha poca o nessuna viscosità misurabile. Questo modello di etere viene sviluppato in un capitolo successivo in cui vengono sviluppate molte delle costanti universali di base che descrivono i fenomeni fisici con formule magnetiche, elettriche e gravitiche.

La mia ricerca di oltre 35 anni dimostra l'esistenza dell'etere come realtà. La fisica moderna si è concentrata sui primi esperimenti che Michelson

e Morley l'ha fatto nella prima parte di questo secolo senza mostrare alcuna deriva dell'etere; tuttavia, gli esperimenti erano imperfetti nella progettazione e gli esperimenti successivi implicarono la validità della teoria dell'etere. Successivi esperimenti di Trouton e Noble, Sagnac, Michaelson e Gale, Thirring e Lenze e Fizeau implicano tutti che l'etere esiste. John Keely eseguì estesi esperimenti nell'ingegnerizzare l'etere, inclusa la produzione di vari fenomeni gravitazionali, la scomposizione controllata della materia in pura forza eterica e quindi l'uso dell'etere negli esperimenti, ecc.

1.1.1 Termini storici per l'etere

Ci sono molti termini che, se analizzati, portano a una caratterizzazione di un'energia spaziale comune. Termini come prana dalla letteratura Indù/Yogi, etere o etere dalla fisica e dalla metafisica prima della fine del XX secolo, energia orgonica dalla ricerca rivoluzionaria del Dr. Wilhelm Reich, chi dalla medicina cinese antica a quella moderna e arti marziali in generale, tutti hanno caratteristiche molto simili.

Un termine utilizzato in molti dei nuovi circoli scientifici è "energia di punto zero" (ZPE). Dalla fisica classica apprendiamo che gli atomi possono essere pensati come sistemi solari in miniatura con pianeti di elettroni in orbita attorno a un sole nucleare. Gli elettroni, secondo la fisica classica, dovrebbero irradiare la loro energia ed entrare a spirale nel nucleo. Questo ovviamente non si verifica. Così i fisici hanno inventato la meccanica quantistica per spiegare le osservazioni effettive.

Una delle scoperte della teoria quantistica è stata che un semplice oscillatore, come un pendolo, non si fermerebbe realmente ma continuerebbe a "vibrare" in modo casuale attorno al suo "punto zero" con una piccola quantità di energia sempre presente, quindi così -chiamata "energia di punto zero".

A causa delle molte possibili modalità di propagazione (frequenze, direzioni) nello spazio aperto, l'energia di punto zero integrata su tutte le possibili modalità è una densità di energia estremamente elevata. Infatti, è molto maggiore delle densità di energia nucleare che possono essere equiparate alla famosa equazione di Einstein $E=MC_2$.

L'analisi delle proprietà di ZPE porta alla conclusione che la materia è sostenuta da ZPE e può infatti essere modellata matematicamente come base per la materia. Le forze di base come la gravità, la forza di legame nucleare, le forze elettromagnetiche, la carica dell'elettrone e l'inerzia sono tutte derivabili da ZPE. Quindi arriviamo alla conclusione che ZPE è davvero un altro nome per l'etere. L'unica caratteristica redentrice, a mio avviso, è che consente ai fisici di salvare la faccia inventando un nuovo termine immacolato per etere che ha un nome poco raccomandabile nella comunità dei fisici perché è stato "smentito" dal primo esperimento di Michaelson Morley. "Una rosa con qualsiasi altro nome..."

Il deterioramento eterico del ter con una "a" davanti era ampiamente usato nella letteratura antica. Preferisco il termine "etere" per distinguerlo dalla parola etere che è un anestetico.

1.1.2 Etere e sue conversioni

È mia opinione che l'etere si manifesti in una miriade di modi. L'etere interagisce con la materia tridimensionale e la materia è una forma legata di etere. Tutte le varie forze come la gravità, il magnetismo, l'elettricità e le forze nucleari sono dovute ad attività nell'etere.

1.1.3 Caratterizzazione dell'etere

Le mie ricerche e scoperte mi hanno portato a caratterizzare l'attenuazione più basilare dell'etere come segue:

1. Un mezzo particolato superfluidico che pervade tutto lo spazio.
2. Un mezzo che nelle sue varie modalità è l'elemento costitutivo dell'universo fisico.
3. Un mezzo che, in uno dei suoi modi, è responsabile di tutte le forze fisiche più grossolane conosciute come il magnetismo, l'elettricità, la carica elettrica, la gravità, l'inerzia e le forze atomiche forti e deboli.
4. Un mezzo che è controllabile dalla nostra mente e può essere manipolato dai nostri pensieri.
5. Un mezzo che può essere intensificato e manipolato in qualsiasi forza o manifestazione mediante l'uso di materiali, forme e forze più grossolane.

Questo libro esaminerà l'etere come molte di queste caratterizzazioni, ma principalmente dal punto di vista del potere di forma che è la capacità della struttura geometrica e atomica di modificare, intensificare, mettere a fuoco e, in generale, "qualificare" o conferire qualità specifiche all'etere e alle sue varie caratterizzazioni.

1.2 Fisica nucleare

È del tutto possibile derivare la struttura nucleare della materia così come le costanti atomiche, nucleari ed elettromagnetiche di base mediante l'analisi dell'etere. Trattando l'etere come un fluido idrodinamico[1,2] e le particelle nucleari come forme toroidali (cioè ad anello oa ciambella), si può ricavare tutta la fisica conosciuta dell'atomo, risultando in una nuova, soddisfacente, morfologia atomica. Tieni presente che il toroide è un caso speciale di auto-

vortice sostenitore. Questo modello matematico è sviluppato in maggiore dettaglio nel capitolo 8 di questo libro.

1.2.1 Carica, elettroni e particelle nucleari

La carica della materia è dovuta al suo interscambio con l'etere. L'elettrone così come alcune delle altre particelle subatomiche sono vortici autosufficienti in un etere particolato fluidico. L'elettrone, per essere una particella stabile, è un anello vorticoso o una struttura toroidale fatta di etere.

La carica rappresenta una differenza nella concentrazione di etere tra due punti (cioè un gradiente di etere). La massa (cioè le particelle atomiche) è fatta di etere, l'etere fluisce continuamente dentro e fuori le particelle come vortici, e la carica è dovuta al fatto che si trova ad una diversa concentrazione di etere in un punto nel tempo e nello spazio rispetto alla concentrazione locale di etere. . La carica dell'elettrone è dovuta all'etere che scorre dentro e fuori dal vortice e al fatto che l'anello elettronico è una concentrazione di etere..

L'analisi del protone porta alla conclusione che si tratta anche di un vortice toroidale etereo con raggio e sezione anulare differenti[3,4]. Il toroide protonico, quando viene spezzato, si trasforma in una sottostruttura instabile composta da tre quark, anch'essi toroidi, che ruotano come un tutto completo per formare il protone. Prove sperimentali nelle camere a nebbia indicano che i quark sono particelle instabili e quindi si dissipano rapidamente.

Un neutrone è costituito da un protone e un elettrone in schiavitù in un nucleo, che si divide quando viene rimosso dalle forze di legame nucleare.

1.2.2 Struttura atomica

La struttura atomica si costruisce secondo le regole della geometria e la polarità delle particelle atomiche. Le polarità sono il risultato di flussi eterici dentro e fuori le particelle nucleari dove le direzioni del flusso producono i poli magnetici.

John Ernst Worrel Keely è stato il primo fisico subatomico a caratterizzare la struttura nucleare. La sua delucidazione della struttura atomica derivava dal suo sviluppo della scienza della fisica vibratoria. Una delle sue scoperte fu quella della sottostruttura del protone[5]. Scoprì che si trattava di un vortice composto da tre particelle subnucleari, anch'esse vortici. Ulteriori ricerche lo portarono all'idea che questa sottostruttura a tre particelle continuasse fino a livelli sempre più piccoli di particelle all'interno di ciascuna particella. Keely ha affermato di aver imparato a controllare la sottostruttura 27 livelli sotto il protone di base.

L'atomo di Keely è rappresentato in forma stilizzata nella figura 1.2.2-1. Il primo livello di sottostruttura è stato finalmente teorizzato negli ortodossi

comunità di Feynman ha preceduto Feynman
da oltre 60 anni! F protone, cles che compongono il
"quark".

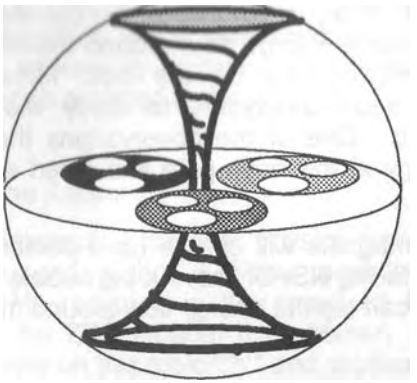


Figura 1.2.2-1. Keely "Atomo" (cioè Protone) che mostra toroidale Struttura

1.2.3 Magnetismo

Il magnetismo esiste come:

1. Il campo magnetico naturale della terra che si teorizza essere creato dal flusso del nucleo liquido della terra.
2. Un campo magnetico permanente attorno a materiali magnetizzati.
3. Un campo magnetico statico o alternato attorno a fili percorsi da corrente in cui la corrente è rispettivamente corrente continua (CC) o corrente alternata (CA) e il campo magnetico è rispettivamente statico o dinamico.
4. Il campo magnetico di un anello di toroide elettronico ed è dovuto al campo eterico locale che lo attraversa e al differenziale di carica che esso rappresenta.

Nei casi 2 e 3 di cui sopra, il campo è creato da un numero sufficiente di elettroni in un materiale allineato in modo che tutti i loro flussi eterici siano additivi e creino un grande flusso di etere nell'area attorno al magnete. Quindi vediamo che i campi magnetici sono tutti il risultato di flussi vorticosi di etere.

La forte polarità dei magneti è dovuta alla concentrazione di etere che scorre attraverso i poli. Ho condotto test con chiaroveggenti che sono in grado di vedere i flussi eterici e hanno verificato che un magnete è essenzialmente una pompa eterica.

I magneti hanno un'energia che scorre intorno a loro come io e molti altri nuovi ricercatori scientifici abbiamo postulato. I miei esperimenti di laboratorio, più gli esperimenti con i chiaroveggenti, hanno dimostrato che il campo magnetico attorno a un magnete permanente è, in effetti, un vortice (a bassa forza eterica. Gli atomi agiscono come pompe eteriche per muovere l'etere e quando molti degli atomi sono allineati come in un magnete permanente i flussi eterici degli atomi si sommano tutti insieme per creare un grande flusso attorno al magnete.La nuova ricerca, nel secolo scorso sulla forza odica, del barone von Reichenbach [13] , usavano i chiaroveggenti per studiare le energie intorno magneti, persone, ecc. Una delle osservazioni che hanno fatto è stata che c'era energia blu al polo nord e un'energia rossa al polo sud.

Tenere magneti permanenti caricherà il campo energetico o l'aura di una persona. Due magneti rivolti verso NS-SN hanno una grande bolla di energia tra di loro. Il potere della forma può attingere al flusso di energia attorno ai magneti.

1.2.4 Gravità

La gravità è anche una forza legata all'etere. Poiché la carica elettrica, E, è un gradiente nell'etere, la forza gravitazionale è un gradiente di carica elettrica (cioè un *laureato*E). Quindi, se il gradiente eterico viene modificato attorno a un atomo, anche la forza di gravità cambierà. Ciò è stato dimostrato nell'effetto Townsend Brown in cui un elevato gradiente elettrico attraverso un condensatore ne influirebbe sul peso. L'effetto può essere amplificato spostando l'intera massa che sincronizza il flusso di etere attraverso la massa.

La sincronizzazione del flusso eterico nei nuclei di una data massa è stata ottenuta con due metodi principali; vale a dire, rotazione o movimento e sonicamente. L'analisi di vari eventi apparentemente sconnessi in cui si è assistito alla levitazione fornisce alcuni importanti indizi su un mezzo per effettuare la sincronizzazione dei nuclei. Ciò è stato spiegato, in dettaglio, in un articolo di Davidson e Decker[6]. Inoltre, T. Towsend Brown è stato abbastanza aperto nel pubblicizzare i suoi risultati sperimentali anche se erano stati finanziati in parte dall'Office of Naval Research di San Diego. Tuttavia, quando ha iniziato a ruotare i suoi gravitori sul loro asse, i risultati sono stati improvvisamente classificati e tutte le informazioni sui suoi esperimenti sono cessate. Si sospetta che ne sia derivata una levitazione importante e questa svolta è stata classificata per proteggere la scoperta in modo che potesse essere sfruttata per la difesa nazionale.

L'analisi del fenomeno dell'inerzia fornisce l'indizio principale su come la rotazione potrebbe agire per sincronizzare il flusso di etere nella sottostruttura nucleare dei gravitori. Un documento fondamentale in*Revisione fisica,*1994, pp 678-694, di Haisch, Rueda e Puthoff[7]teorizza che l'inerzia sia il risultato della resistenza della massa a muoversi attraverso il campo di energia di punto zero (ZPE) (cioè l'etere) perché la massa, a livello nucleare, è collegata direttamente all'etere. Puthoff e i suoi amici hanno fatto una bella matematica

prova di ciò che Keely affermò nel 1896 che l'inerzia era il risultato della resistenza della massa al campo eterico locale. Quindi, è facile vedere che il movimento/ rotazione provocherebbe il riorientamento dei flussi eterici della massa rispetto alla direzione del movimento.

La stimolazione sonica esegue la stessa cosa facendo risuonare insieme tutti gli atomi della massa, il che sincronizza i flussi eterici nel nucleo. Sono stati osservati diversi effetti di levitazione interessanti in cui la stimolazione sonora ha assistito nella levitazione.

1.3 Progettare l'etere

Alcune delle più interessanti ricerche di fisica ortodossa si riferiscono ai primi lavori di Wheeler e Bohm. Hanno postulato l'idea che la radiazione elettromagnetica (EM) sia il risultato dell'interazione di stress energetici racchiusi nello strato ZPE (cioè, etere). Tom Bearden ha esposto ampiamente su questo argomento[8,9,10] e applicò la parola "scalare" a questi stress energetici avvolti nell'etere. Matematicamente, uno scalare ha grandezza ma nessuna direzione. Applicata all'ingegneria dell'etere, un'onda di stress nell'etere si propagherebbe istantaneamente in tutto il tempo e lo spazio. Sarebbe anche uno scalare rispetto alla radiazione EM che ha sia magnitudine che direzione. La relazione tra un'onda di stress eterico e un'onda EM è la premessa che quando due onde EM sfasate di 180 gradi vengono combinate, l'energia delle due onde non collassa a zero come sosterrebbe la matematica odierna accettata del fenomeno EM; ma invece, crea un'onda di stress eterico che contiene l'energia combinata delle due onde EM. Detto matematicamente, E+(-E) = S, dove S<> 0 dove il simbolo "<>" si legge "non è uguale".

Questa matematica per convertire l'EM in un'onda eterica è simile all'esame delle forze quando un blocco di acciaio viene compresso in una potente morsa. La forza esterna netta sull'acciaio è zero; tuttavia, internamente la struttura del reticolo cristallino atomico dell'acciaio subisce stress.

L'aspetto più interessante di questa combinazione di energia è il fatto che è vero anche il contrario. Cioè, quando due onde di stress eterico (S e - S) che sono sfasate di 180 gradi vengono combinate, l'energia delle due onde si combina per creare un'onda EM (E'). Detto matematicamente, S+(-S) =*E'* dove E'<>0.

Un'illustrazione di questi due processi simmetricamente reversibili è mostrata nella figura 1.3-1.

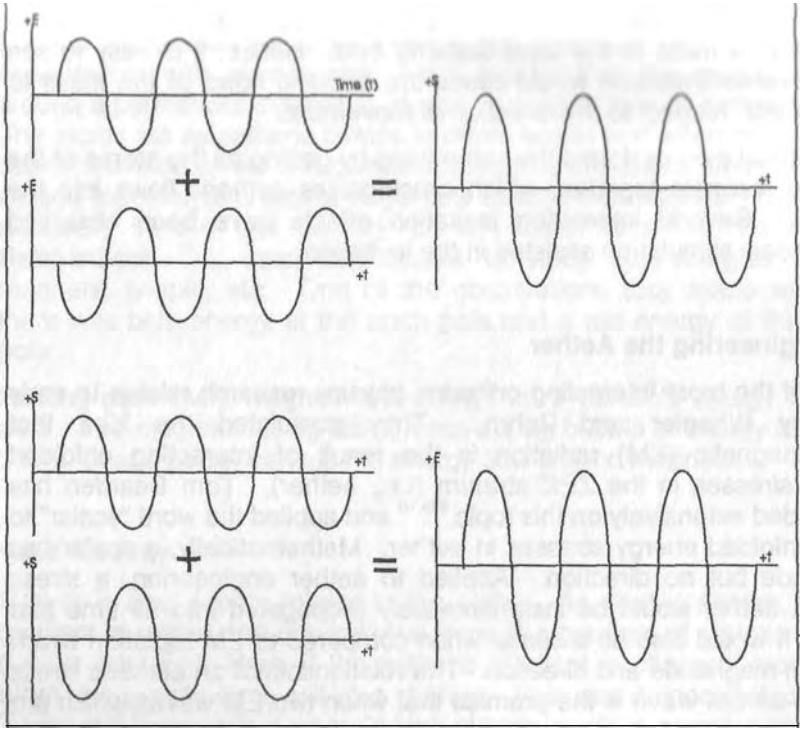


Figura 1.3-1 Conversione dell'onda elettrica (E) in stress eterico Onda (S) e viceversa

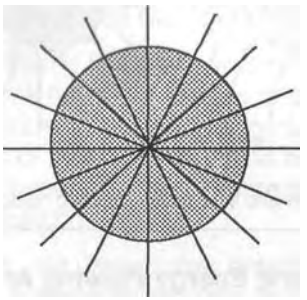
1.4 Potenza di Forma e Onde di Stress Eterico

Siamo ora arrivati al punto in cui possiamo discutere di come le forme geometriche modificano l'etere e derivare alcune regole di base che si adattano ai fenomeni osservati.

1.4.1 Potenza di forma di un punto

La forma geometrica più semplice è un punto semplice ma un punto è un costrutto mentale perché non ha dimensioni di lunghezza, larghezza o altezza. Per avere un'entità geometrica utile con cui lavorare, parleremmo di una singola particella eterica (cioè un vortice nell'etere). Questo è già stato parzialmente discusso. Quello che non abbiamo disegnato nella figura 1.2.2-1 è stato il flusso di etere dentro e fuori l'atomo. Questo è semplicemente un flusso vorticoso di energia nell'atomo. Più complesso è l'atomo (cioè con molte particelle subatomiche) più complesso fluisce nel nucleo nucleare dell'atomo *struttura. Su*un livello macro per un atomo complesso, il flusso sarà orientato in uno schema generalmente sferico. In un semplice atomo come l'idrogeno, il flusso tenderà ad assomigliare di più alle linee di forza attorno a una piccola barra magnetica. La maggior parte dei materiali sono fatti di molto più complessi

atomi di idrogeno così in atomo nd trattare il flusso di etere attorno
come generalmente radiale a d o lontano dal centro
dell'atomo. Se guardiamo scopriremmo che questi
i flussi stanno vorticando o ruotando dentro e fuori dal nucleo. (Vedi figura 1.4.1-1)



Un atomo complesso con molti ordini di flussi (linee)
di vortici di stress eterico.
Un semplice atomo come l'idrogeno avrebbe solo una
linea di vortice dentro e fuori.

Figura 1.4.1-1. Sezione trasversale dei flussi di stress del vortice di Atomo complesso.

1.4.2 Potenza di forma di una linea

Il livello successivo di complessità geometrica è la linea. In questo caso abbiamo una raccolta aggregata di atomi per formare una linea (cioè, da 2 o più atomi legati insieme per formare una linea).

Per prima cosa, consideriamo i flussi eterici attorno a due atomi uno accanto all'altro che sarebbero la linea più semplice possibile. I flussi eterici tra i due atomi si connetterebbero e l'etere fluirebbe da un atomo all'altro oppure i flussi si respingerebbero ei flussi schizzerebbero fuori perpendicolarmente alla linea radiale tra i due atomi. Il resto dei flussi eterici formerebbe una radiazione di tipo losanga attorno alla combinazione dei due atomi.

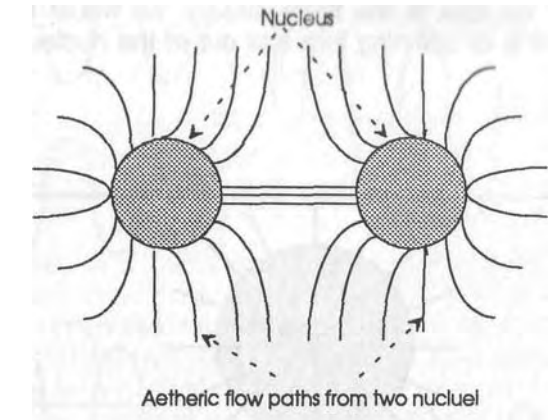


Figura 1.4.2-1. Energia eterica che scorre intorno a due atomi

Creazione di una linea semplice.

Aggiungendo più atomi alla linea, allunghiamo semplicemente la losanga di radiazione attorno alla linea. Il risultato netto sono flussi eterici perpendicolari alla linea. Ciò è illustrato nella figura 1.4.2-1. Quando questo viene esteso a una linea più lunga di atomi è illustrato nella figura 1.4.2-2.

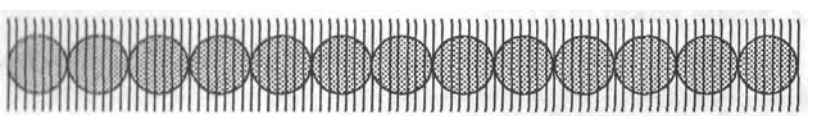


Figura 1.4.2-2. Vista laterale della linea di atomi con energia eterica Radiante dalla linea.

1.4.3 Potenza di forma di due rette parallele

Una coppia di linee parallele tra loro è simile ai due atomi uno accanto all'altro; tuttavia, in questo caso i flussi eterici tra le due linee si collegherebbero e l'etere fluirebbe dagli atomi in una linea agli atomi nella linea successiva, oppure i flussi si respingerebbero e i flussi si proietterebbero perpendicolarmente al piano tra le due linee. due righe. Il risultato netto di questa configurazione è un semplice piano di flussi eterici attorno alle due linee. La vicinanza delle linee definisce la quantità di interazione. Ancora una volta ci ritroviamo con una configurazione energetica a losanga.

1.4.4 Potenza di forma di due rette che si intersecano

Ora inizia il divertimento. Quando due linee si intersecano, c'è un gradiente di intensità eterica tra le due linee convergenti. Hai capito?

> Due linee che si intersecano o convergono creano un gradiente di energia nell'etere.

Più vicino all'intersezione delle due linee più intensa è l'interazione. Al contrario, più lontano dall'intersezione minore è l'interazione dei flussi eterici delle due linee.

Poiché i flussi eterici nucleari sono vorticosi (cioè, piccoli flussi rotanti nel campo eterico) questi flussi tenderanno ad orientarsi verso la minima resistenza tra loro. Questo significa s formerà vortici più grandi vicino all'intersezione c'è un risultato netto di flussi eterici effetto vorticoso tra più intenso che ecting linee con il vortice all'intersezione.

Con questa configurazione, ted un livello macro, tre om una abbiamo dimensionale, vortice in semplice figura planare. spac L'intensità è massima nel le due linee e almeno in s è punto più largo dei due 1. Poiché evidente nella figura 1.4.4- si tratta di due linee totalmente, la forza eterica tra la quantità dovrebbe esserci un campo di carica dell'elettrone è magnetico ma intersezione delle concentrata vicino al campo linee. in precedenza, è un v etere gnetico, come discusso eterico che crea un campo magnete quindi un vortice in magnetico.

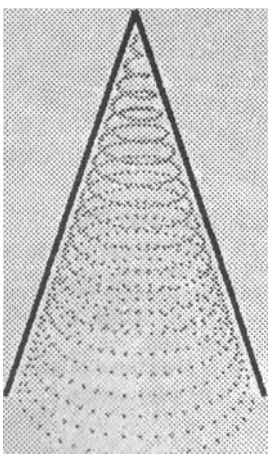


Figura 1.4.4-1. Fenomeno di vortice etereo tra due linee

Intersezione

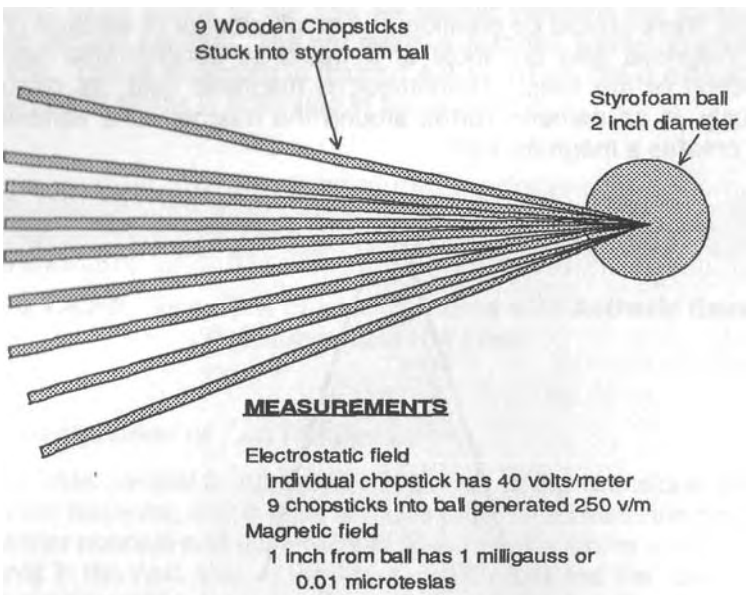
Il test chiaroveggente e chiaroveggente è stato utilizzato per esaminare quale tipo di schemi energetici si sono formati attorno alle linee che si intersecano risultando in un

verifica di mio teorico analisi e dimostrando là è un intensificazione dei modelli di flusso previsti dalla teoria. Il vortice è chiaramente visibile alla vista del chiaroveggente ed è anche chiaramente visibile il flusso e la concentrazione di una turbolenza ordinata nell'etere all'intersezione delle linee.

1.4.5 Forma

Un grande n porterebbe
creare dentro t elettrostatico
campo.

Intersezione energia. Il
magnetico f vortice di
eterico it ka! UN impostare
di intersezione etico campo
perché th le linee
sono dentro fac linee o
le canne dovrebbero



Misurazioni effettuate con un misuratore Tri-Field Alpha Laboratory Model 3

Figura 1.4.5-1 Generazione di campi magnetici ed elettrostatici con aste che si intersecano

È stato eseguito un semplice esperimento per verificare l'ipotesi che le aste intersecanti avrebbero generato un campo magnetico ed elettrostatico. Questi risultati sono illustrati nella figura 1.4.5-1. Le misurazioni iniziali sono state effettuate con un se magnetometro. Il esperimento è stato le linee g creano un magnetico e e maggiore svolta scoperta in cui editti a in precedenza fenomeno sconosciuto

Ulteriore esperimento ecc. C'erano due tipi di le piramidi erano tes piramide di vetro costruito con 4 è uguale a m un lato Grande piramide. Ea del piramide e conve in un angolo inferiore. La Figura 1.4.5-2 illustra ogni lato.

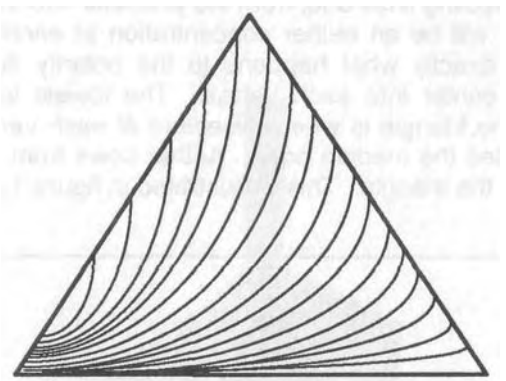


Figura 1

Test di confronto delle misurazioni

Le misurazioni magnetiche sono state effettuate con un magnetometro fluxgate del campo magnetico alla base di ciascuna piramide. La Tabella 1.4.5-1 riassume i risultati della misurazione.

Table 1.4.5-1 Pyramid Magnetic Field Measurements

	Fiberglass pyramid with lines	Stack of 19 paper pyramids with lines	Single paper pyramid
Gamma	310	323	0

Dalla tabella 1.4.5-1 si può vedere che la singola piramide di carta non aveva un campo magnetico misurabile e le linee convergenti della piramide in fibra di vetro il avevano un campo magnetico di 310 gamma. Per dare al lettore un'idea dell'intensità relativa di questo campo creato dal Potere di Forma, ci sono da 20.000 a 50.000 gamma nel campo magnetico terrestre, quindi la piramide sta generando un campo magnetico molto piccolo ma misurabile. La precisione del magnetometro è di +20 gamma, quindi la misurazione gamma 323 della pila di piramide di carta mostra l'effetto additivo di più linee che si intersecano.

Va notato che queste misurazioni variano durante il giorno a causa di piccole fluttuazioni nel campo magnetico terrestre più il cambiamento dello stress nel campo eterico ult in un altro pressioni della s

1.1.1 Forma Potenza

Un triangolo è il noi unguenti. Questo richiede in tre inte dedurre su, è facile h che lì vertice del triangolo. Questo è fluire dentro il triangolo a partire dal il livello di etere concentrazione in t ertex si incontrano in a punto comune ca questo punto in i tre punti di t

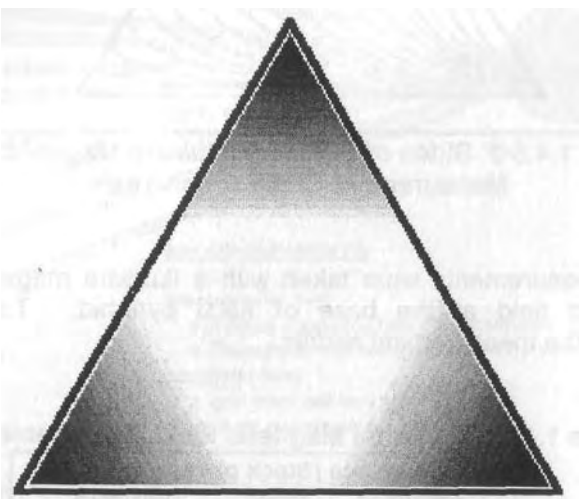


Figura 1.4.6-1. Fenomeni di vortice eterico all'interno di un triangolo.

Se un triangolo è suddiviso in tre triangoli, quasi tutta l'energia è focalizzata al centro con una piccola quantità sui vertici esterni. Se un cerchio circonda i triangoli del tetraedro, l'energia è concentrata interamente nel centro del cerchio/triangolo, quindi un cerchio prevale sugli effetti delle linee che si intersecano. In una figura in cui ci sono triangoli attorno alla periferia di un cerchio,

la figura è concentrata in e

i triangoli. È come un

focalizza l'energia nel

cerchio.

1.1.2 Potenza di forma di A

Un tetraedro, i triangoli

coperchi, si compone di tre

collegati a s

figure al quattro vertici. una

Le linee che si intersecano

concentrazione di etere in

un modello vorticoso alla

un grande centro negativo (di

concentrazione dello sforzo o

polarità) del tetraedro figura

(cioè, a 1/3 della polarità

1.4.7-1. L'essenza negativa che

al centro i quattro

attinge all'etere da

angoli.

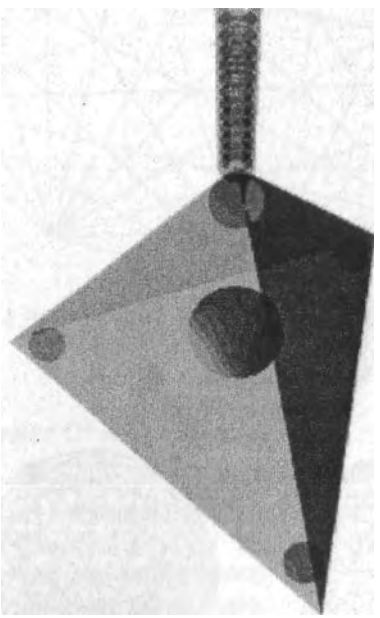


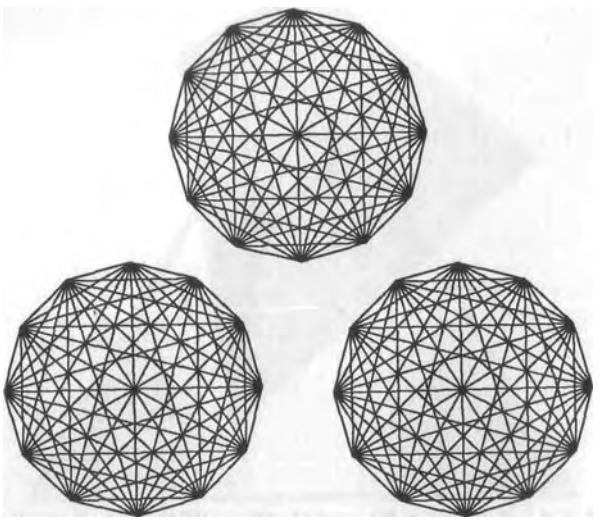
Figura 1.4.7-1. Concentrazione eterica all'interno di un tetraedro.

1.4.8 Potere di forma di un Tesseract a 12 punte

Un tesseract è una figura planare regolare composta da punti equidistanti attorno a un cerchio con linee che collegano ogni punto a ogni altro punto.

Le linee intersecanti del tesseract a 12 punte (12-tesseract) formano molti triangoli e poligoni irregolari quadrilateri. Queste figure geometriche hanno un effetto di concentrazione interagente sull'etere che crea uno schema tridimensionale e multifrequenza che si irradia dal 12- tesseract che quindi agisce come un agente per eliminare le energie negative cattive/oscure ovunque si trovi la figura. Il 12-tesseract è illustrato nella figura 1.4.8-1. La frequenza dell'etere determina il colore che vediamo.

Il chiaroveggente come una bella
arcobaleno di uomo 50 piedi. Di più
importante, questo ualmente modificare il
frequenza relazione forme. Su a
questo punto, messa a fuoco del
abbiamo etere. Il 12 ctrum di colori
da un colorles ons perché esso
Spettacoli che noi finale modelli di
etere intorno alla s



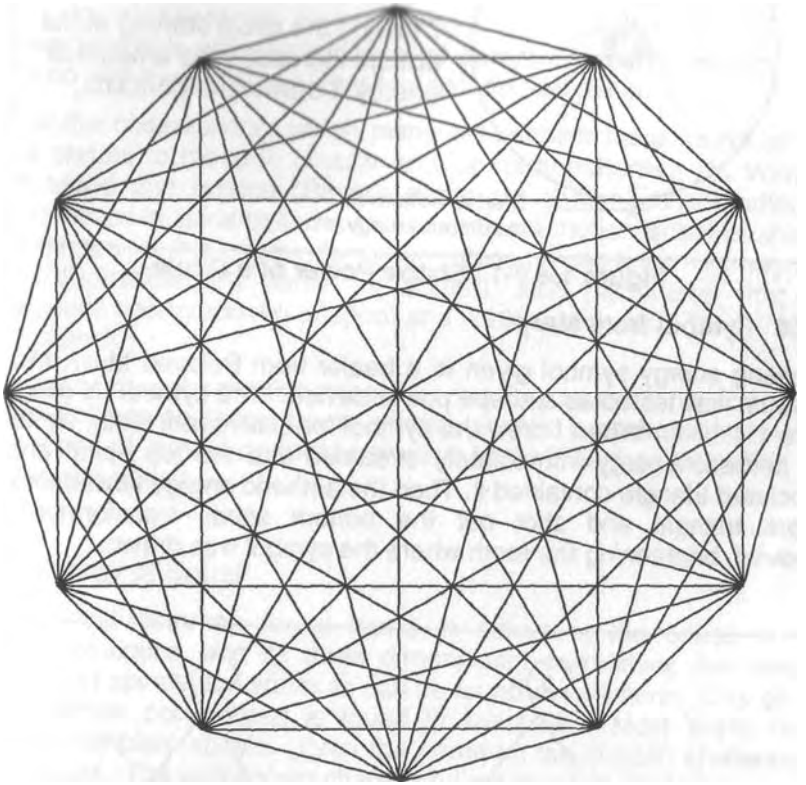
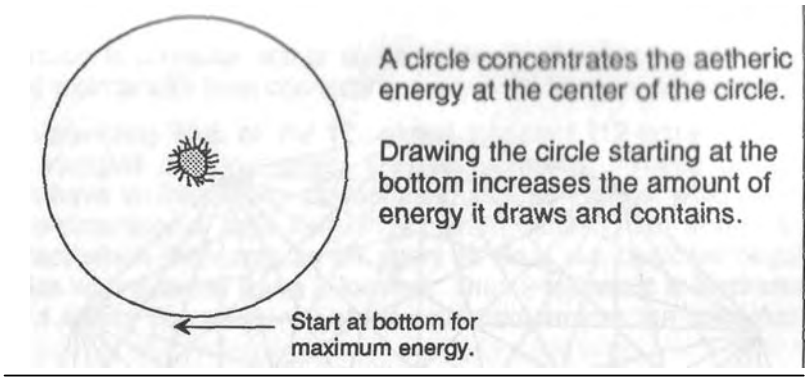


Figura 1.4.8-1. Potere di forma di un Tesseract a 12 punte

1.4.9 Potere di forma di un cerchio

Un cerchio con la sua concentrazione di energia eterica è mostrato nella figura 1.4.9-1. Il cerchio può essere rappresentato come una serie infinita di linee tangenti che si intersecano. Il punto focale è il centro del cerchio. Le linee che si intersecano attraversano effettivamente i campi energetici al centro del cerchio. Pertanto, l'etere sarà concentrato al centro del cerchio. Ciò significa che il cerchio agisce come una pompa eterica per attingere energia e concentrarla al centro.



1.4.10 Sim

UNguarigione
di Gesù,
figura 1.4.
quello ethe
associati
fondo tr
migliorato, B

ario, Madre
S mostrato
abbiamo trovato
al e suo
d in il
rmed e

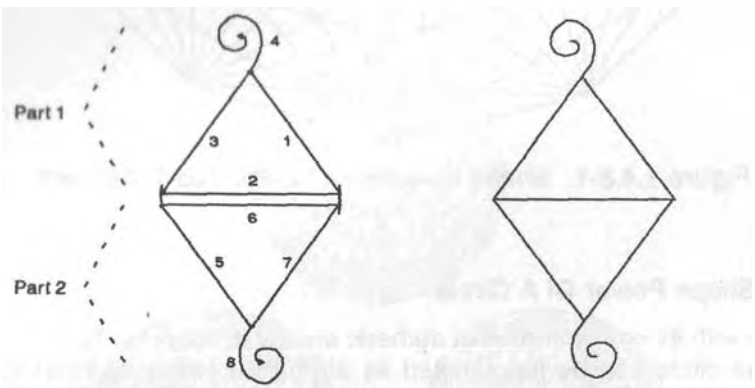


Figura 1.4.10-1. Simbolo del potere di guarigione della forma

1.5 Flussi energetici naturali

Nella sezione 1.4, sono state esaminate alcune semplici forme geometriche da mostrare come modelli semplici modellano, modellano, intensificano e dirigono l'etere; fino al punto di cambiare le relazioni di frequenza eterica nel 12-tesseract per produrre modifiche di colore nel campo eterico intorno al tesseract. Tuttavia, c'è ancora un altro livello di complessità all'interno dell'etere. Questo ha a che fare con il fatto che l'etere ha schemi di flusso naturali.

Una delle osservazioni, che molti ricercatori hanno scoperto, è che l'etere preferisce muoversi in archi circolari o schemi a spirale. Il Dr. Wilhelm Reich ha scoperto che l'orgone (il nome di Reich per un'alta concentrazione di etere) si muove secondo schemi a spirale e il suo movimento costante è quello delle spirali. Schauberger, nel suo pionieristico lavoro di ricerca sull'energia diamagnetica (il nome di Schauberger per l'etere), scoprì anche che l'energia diamagnetica si muoveva secondo schemi a spirale e vorticosi. (Vedi il capitolo 2 di questo libro.)

Se applichiamo questa osservazione dell'etere che si muove naturalmente in schemi a spirale e vorticosi per modellare gli effetti di potere, allora è ragionevole dedurre che l'uso di percorsi curvi o a spirale per plasmare e guidare l'etere migliorerà gli effetti.

1.5.1 Energia della Spirale

Una delle forme più comuni che si trovano in natura è la spirale, una figura bidimensionale, e il suo correlato tridimensionale, il vortice. Esempi di spirali e vortici si possono trovare ovunque. Uno degli eventi più comuni si trova nelle conchiglie. La maggior parte delle conchiglie ha spirali parziali o complete. Anche i comuni gusci a forma di ventaglio sono a forma di vortice. Il noto nautilus a camera con la sua spirale logaritmica molto regolare è spesso usato per illustrare la spirale. Un altro ben noto formato di vortice si trova nei modelli generati da alberi e piante quando si formano le loro foglie. Le foglie di solito seguono uno schema a vortice che

è correlato ai numeri di Fibonacci (cioè 1, 2, 3, 5, 8, 13 .....[n]+[n-1]). Lo studio di questo fenomeno naturale è chiamato filotassi.

Quando una spirale viene tracciata partendo dal centro e girando in senso antiorario (CCW) verso l'esterno, l'energia eterica locale viene attirata nel centro della spirale e lanciata verso l'esterno. Quando una spirale viene disegnata dall'esterno verso il centro, l'energia viene attirata dall'esterno verso il centro e trasformata in un arcobaleno di colori che dà energia alla località. Il campo energetico, visto dai chiaroveggenti, si irradia a circa 4 piedi dal centro della spirale ed è veramente un arcobaleno di bellissimi colori vivi.

Se le spirali sono collegate disegnando una spirale dall'esterno al centro e poi continuando la linea dal centro verso l'esterno di un'altra spirale, e facendo questo per molte altre spirali che sono collegate

dal centro di uno all'esterno di quello successivo, allora l'energia si intensifica tremendamente la sua più energia come oltre ad intensificare la sensibilità ting con e anche verificare la figura di della spirale come a potenza della forma. Se senti energie che possono prontamente l'aumento in

Non è interessante vedere rrelaziona con alcune i modelli di dove le spirali delle uture nel cervello sono con che questo possiamo dedurre l'amplificatore di potenza una forma parametrica del sistema nervoso ne quindi, raccolta e amplifica la quantità cervello. Questa energia fatto è stato discusso in interessante[12]. Figura 1.5.1-1 illustra un semplice vortice

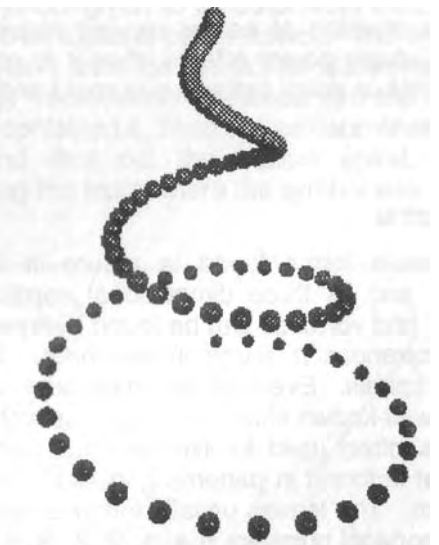


Figure 1.5.1-1 Vortex Pattern

Uno dei primi dispositivi di alimentazione di forma, venduto come prodotto negli anni '70, era una spirale incisa su un pezzo di circuito stampato (PCB) rivestito di rame. L'inventore ha affermato che la piastra a spirale avrebbe dato energia e migliorato il sapore di caffè, acqua, bibite, vino e cibi. Ovviamente, questo stava sfruttando gli aspetti di forza della forma della spirale. Sarebbe interessante sapere se la spirale originale è stata disegnata dall'esterno verso il centro. Questo effetto potrebbe essere notevolmente migliorato se molte spirali interconnesse fossero incise sul substrato del PCB. La mia ricerca sperimentale mostra che il materiale del circuito stampato, che è

realizzato in fibra epossidica akes
forma molto scadente po

1.5.2 Tria modificato

Per testare l'hyp con linee curve
era più efficace linee rved dove
tutta la linea curva lui triangolo come è
illustrata in fico anche costruito
insieme a dritto Linee atico. Il triangolo
insieme a il curvo etere fluire e
concentrazione di Ovviamente, Se voi
permettere l'etere Il flusso è molto
più facile e veloce di

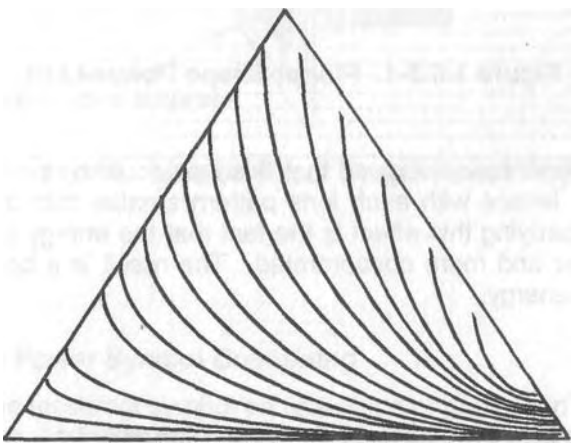


Figura 1.5.2-1. Linee curve all'interno di un triangolo per controllare la forma Potenza

1.5.3 Lente di potenza a forma planare

Un altro esempio di un modello di potenza a forma di linea curva è mostrato nella figura 1.5.3-1. Si è scoperto che questo schema di potere della forma generava un campo energetico tridimensionale. In questo caso il campo energetico era un raggio di energia che sporgeva dal lato posteriore del modello per circa cinque o sei piedi. Il raggio di energia stava vorticando in un raggio largo quanto lo schema planare. Per esperimento abbiamo scoperto che questo modello ha la massima energia quando le linee curve non toccano mai il cerchio circostante. Se le curve toccavano il cerchio era come se il cerchio impedisse alla spirale curva di raccogliere altra energia eterica e di incanalarla verso il centro del cerchio. Dalla figura 1.4.9-1 sappiamo che un cerchio concentra l'energia nel centro del cerchio. Con le linee curve, la raccolta di energia viene accelerata e lanciata dal centro del modello a spirale.

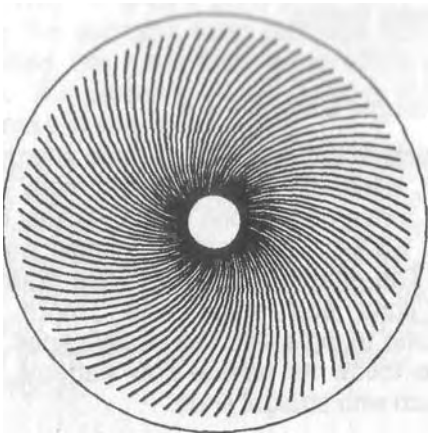


Figura 1.5.3-1. Lente di potenza a forma planare

Ulteriori sperimentazioni hanno dimostrato che questa lente potrebbe essere inserita in una serie di lenti a cascata con ciascun modello di lente più piccolo della lente precedente. Ad accompagnare questo effetto c'è il fatto che il modello energetico diventa sempre più piccolo e concentrato. Il risultato è un raggio di energia altamente concentrata.

1.5.4 Perché le linee tracciate causano disturbi eterici

Ci sono tre fenomeni associati al motivo per cui il semplice atto di tracciare un paio di linee su un pezzo di carta crea schemi nell'etere.

1. Due linee convergenti sulla carta creano uno stress nel campo eterico e provocano il vortice dell'etere.
2. La linea sulla carta è una sostanza diversa dalla carta e di solito avrà una conduttività diversa dalla carta per il flusso di etere attorno ad essa. Se c'è uno stress nell'etere in quel punto, allora le diverse conduttività creeranno correnti parassite nell'etere. Vedere figura 1.5.4-1
3. L'atto fisico di tracciare qualsiasi schema nell'etere crea una registrazione eterica e influenza i flussi di etere nella direzione in cui è stato tracciato lo schema. Vedere la figura 1.4.10-1 e la sezione 1.5.1 sugli effetti del disegno di spirali in direzioni diverse.

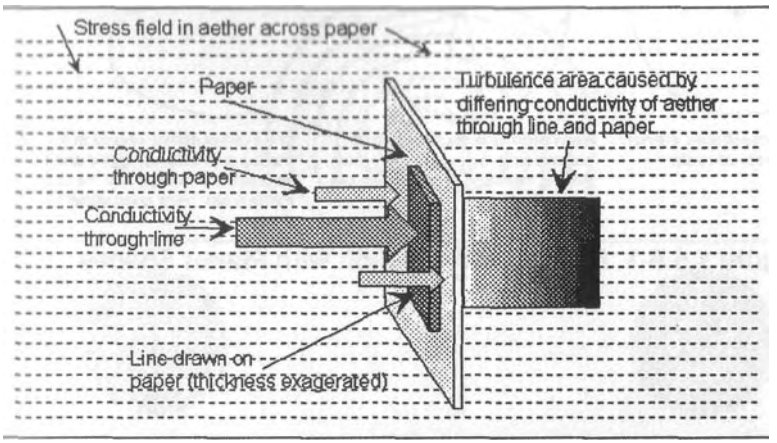


Figura 1.5.4-1. Line on Paper Shape Fisica della Potenza

1.5.5 Combinazione di simboli di potere di forma

Combinando il simbolo tesseract su un pezzo di carta e la spirale su un altro foglio e le carte disposte ad angolo retto ha mostrato che le energie dei due simboli interagiscono e sono amplificate. Con questo intendo dire che ha intensificato le energie nella stanza. Ciò dimostra che possiamo usare i simboli in modo interattivo per intensificare l'energia eterica e convertirla in qualsiasi forza vogliamo, poiché tutte le forze sono modalità di energia eterica.

1.5.6 Altre osservazioni sull'energia del modello planare

È stata eseguita un'altra serie di esperimenti per verificare i campi energetici di tre semplici schemi energetici. I simboli erano il simbolo sanscrito Om, un cerchio con un punto al centro e un cerchio con dei petali all'interno. Questi sono mostrati nella figura 1.5.6-1.

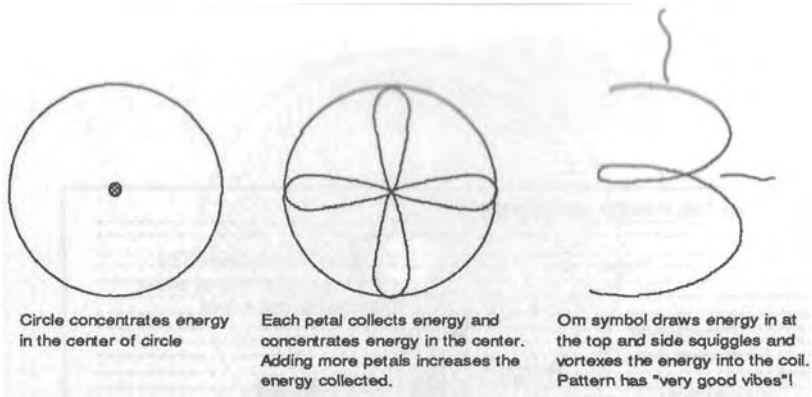
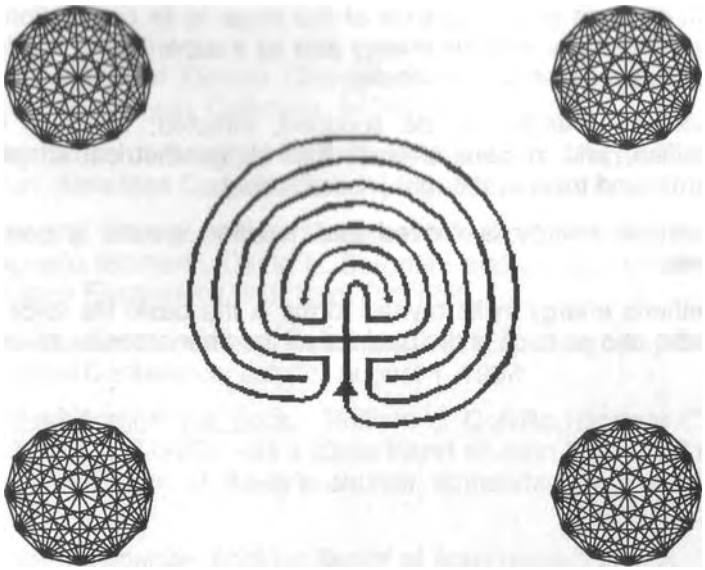


Figura 1.5.6-1 Manipolazione dell'energia con forme planari

1.6 Bloccare l'energia usando la regola del quattro

NelDivinazione, il senso primario di Herbert Weaver[11], racconta una scoperta di un rabdomante, Lawerence Veale, in cui un semplice incrocio di quattro linee bloccherebbe il segnale da un "testimone" alla persona con cui era in sintonia. Un testimone è un termine usato nella magia e nella rabdomanzia per qualsiasi oggetto o sostanza che provenga da una persona o maneggiato e utilizzato da una sola persona. Esempi di testimoni sono capelli, saliva, ritagli di unghie, un pettine personale, ecc. Il testimone è sintonizzato etericamente su una persona e nessun altro.

Per testare la regola del quattro, ho chiesto a chiaroveggenti e chiaroveggenti di "guardare" il modello di energia attorno a un grumo della mia saliva su un pezzo di carta. Potevano vedere una tenue connessione energetica tra me e la saliva con un debole bagliore energetico intorno alla saliva. Quando mi sono avvicinato al campione di saliva, la connessione energetica si è rafforzata. Poi ho tracciato quattro linee sulla carta accanto alla saliva. Le quattro linee o una croce cancellavano solo la connessione con me quando il simbolo era tra me e la saliva. C'era ancora una debole connessione con me quando le quattro linee non erano tra me e il campione. Per bloccare completamente la connessione, quattro punti, quadrati o quattro simboli dovevano circoscrivere il campione. Vedere la figura 1.6-1 per un'immagine di come funziona la regola del quattro bloccando l'energia di un labirinto.



I quattro tesseratti agiscono come un agente di blocco dell'energia per la figura centrale del labirinto.

Figura 1.6-1 Regola del quattro usando Tesseract per bloccare l'energia di a Labirinto

1.7 Riassunto della fisica del potere di forma

La mia enfasi sul fatto che due linee che si intersecano creano un gradiente nell'etere e quindi creano un campo magnetico è una scoperta fondamentale di enorme importanza. Con questo fatto oltre al fatto che l'etere scorre meglio in schemi curvi o vorticosi, ora possiamo svelare i misteri dell'energia piramidale, le forze del mandala, i simboli magici, gli effetti dell'energia cristallina, il cristallo di potere di Altante e la conversione diretta dell'energia eterica statica in dinamica forza eterica. La conversione dell'energia eterica direttamente in energia elettrica utilizzabile diventerà ora una realtà attraverso Shape Power.

Quelle che seguono sono osservazioni euristiche sul controllo e la manipolazione dell'energia eterica.

1. L'energia eterica esiste ovunque.

2 . L'energia eterica è facilmente spostata dal movimento della massa; tuttavia, l'inerzia della massa è una resistenza della massa alla sua connessione con l'etere. Fondamentalmente l'energia eterica agisce come un superfluido con poca o nessuna resistenza o viscosità rilevabile.

3. L'energia eterica può essere raccolta, diretta, concentrata, fatta fluire, intensificata e in generale controllata da forme e schemi geometrici, mente o pensiero (visualizzazione).

4. L'energia eterica viene spostata e focalizzata attorno a un magnete permanente.

5. L'energia eterica nelle sue miriadi di forme è la forza vitale fondamentale dell'universo e come tale è la base di tutto l'universo fenomenico.

1.8 Bibliografia

1. "A Definition of Electric Charge", Paul Stowe, 243 Bentley Court, American Canyon, California, 94589, 2 maggio 1993.

2. "The Cause of Gravity", Paul Stowe e Barry Mingst, 243 Bentley Court, American Canyon, California, 94589, 28 aprile 1991.

3. "Modello ad anello carico rotante di momento magnetico anomalo che genera elettroni", David L. Bergman e J. Paul Wesley, Ph.D., *Elettrodinamica galileiana,* settembre/ottobre 1990.

4. "The Stable Elementary Particles", David L. Bergman, Twin-Cities Creation Conference, 29 luglio-1 agosto 1992.

5. Schiantato contro la roccia . William J. Colville, Boston: Colby and Rich, 1894. Colville era un caro amico di John Keely e questo libro è una pubblicazione dei segreti di Keely incorporati in un romanzo metafisico.

6. "Risonanza di massa: un altro segreto dell'antigravità", Dan A. Davidson e Jerry Decker, *Scienza Straordinaria,* aprile-maggio-giugno 1995.

7. Haisch, Rueda e Puthoff, *Revisione fisica,* 1994, pagine 678-694.

8. Informazioni sull'Excalibur . Thomas E. Bearden. Strawberry Hill Press / Un libro di Walnut Hill, 1980,1988.

9. Fer-De-Lance: un briefing sulle armi elettromagnetiche scalari sovietiche . Thomas E. Bearden. Tesla Book Company, 1986.

10. AIDS: guerra biologica . Thomas E. Bearden. Tesla Book Company, California, 1988.

11. Divinazione, il senso primario . Herbert Weaver, Routledge & Kegan Paul Ltd., 39 Store Street, Londra WC1E7DD, 1978.

12. Energia: innovazioni per nuovi dispositivi a energia libera . Dan A. Davidson, RIVAS, casella postale 1090, Sierra Vista, Arizona, 85636, 1977.

13. Le lettere di Reichenbach su Od e magnetismo . FD O'Byrme, BA (Londra), 1852, ripubblicato da Mokelumne Hill, California, 1964.

CAPITOLO 2

STORIA DI FONDO DEL POTERE DELLA FORMA

Questo capitolo riassume alcuni dei ricercatori storici sugli effetti del potere della forma e su come usavano la forma per controllare l'energia eterica.

2.1 STORIA DEL POTERE DELLA FORMA

Mia moglie Jeanine ed io abbiamo fatto molti esperimenti con il potere della forma e varie forme di energia nel corso degli anni. La maggior parte di ciò che abbiamo fatto non è mai stato documentato pubblicamente fino ad ora poiché c'era solo una piccola menzione nei miei scritti precedenti. Il potere della forma è stato un argomento ricorrente nelle nostre discussioni e negli esperimenti con l'energia universale, e sembra essere un tema ricorrente che troviamo in varie fonti.

Uno dei nostri preferiti è un famoso inventore del XIX secolo, John Ernst Worrel Keely, che ha trasformato il potere della forma in una scienza eccellente. Uno degli espedienti dimostrativi di Keely consisteva nel disegnare una serie di simboli su una lavagna e uno dei suoi dispositivi o motori vibratori avrebbe iniziato a funzionare. Quello che suppongo è che Keely abbia usato i simboli per controllare le energie eteriche nel suo laboratorio e possibilmente focalizzarle per effettuare operazioni meccaniche[1]. Magia al suo meglio!

Nel libroUn abitante di due pianeti[2], durante una delle incarnazioni di Phylos, fu portato da un maestro cinese, Quong, in un rifugio nascosto sul Monte Shasta. Durante il viaggio, il Maestro mostrò a Phylos due simboli occulti. Quong ha disegnato un simbolo che ha chiamato il*Vis Mortuus*a terra, che ha fatto divampare per molti piedi all'interno del simbolo una fiamma del "fuoco della vita". Il simbolo era un cerchio di un paio di piedi di diametro con una croce all'interno del cerchio e con i bracci della croce rivolti rispettivamente a est-ovest e nord-sud. Il Maestro Quong lanciò un bastone nella fiamma ed esso scomparve. Quong poi disegnò un altro simbolo che chiamò,*Vis Naturae,*e lui è entrato

la fiamma che si è rivelata un aiuto energizzante e ringiovanente. Il *Vis Naturae* era un cerchio con una linea nel mezzo che indicava il nord e il sud. Informazioni successive hanno rivelato che il Maestro era estremamente anziano, ma non mostrava segni di deterioramento dell'età

L'antica arte cinese del Feng Shui[3,4] utilizza il posizionamento di case, mobili per la casa, cantieri, layout di uffici, ecc., per massimizzare le energie naturali e collocare gli occupanti delle case e degli uffici in un ambiente armonioso, ordinato ed energico. Si basa ovviamente su effetti di potere di forma.

Legato al Feng Shui è l'antico sistema di divinazione I Ching basato sull'ordine e il posizionamento dei simboli I Ching per predire il futuro. Gli stessi simboli dell'I Ching sono dispositivi di potere di forma.

Si dice che l'occhio di Dio, un mandala messicano, focalizzi le energie spirituali nella casa. Ha una forma base di due o più bastoncini incrociati ed è legato al centro. Corde o fili colorati vengono intrecciati attorno ai bastoncini per creare una serie di motivi concentrici che tendono ad attirare l'attenzione verso il centro del mandala. Si dice che il mandala allontani gli spiriti maligni e le forze negative dannose.

Gli yogi tibetani e i buddisti hanno un'infinità di mandala che si dice siano centri di varie divinità e qualità spirituali. Inoltre, i mandala sono usati anche in meditazione per attirare energie spirituali più elevate e per sintonizzare il praticante con queste forze spirituali. I mandala sono progettati per sintonizzare i centri energetici di una persona (cioè i chakra) poiché esistono mandala specifici per ciascuno dei sette chakra principali.

La forma piramidale ha una ricca storia di effetti di potere della forma[5,6,7]. Ciò che è stato scoperto è che la forma piramidale raccoglie, intensifica e concentra l'energia eterica o spaziale intorno alla piramide. Sono stati notati molti effetti interessanti sulla forma piramidale, come la capacità di mummificare animali morti, frutta, verdura e fiori. La piramide è stata utilizzata anche per affilare le lame dei rasoi. La piramide come dispositivo di potere della forma sarà esaminata in profondità nel capitolo 4.

Un altro dispositivo, l'accumulatore di orgone inventato dal Dr. Wilhelm Reich, utilizza materiali specifici per intensificare le energie eteriche e renderle utili nella sperimentazione e nel trattamento della fisica e della biologia.

È facile vedere che c'è più di quanto sembri per quanto riguarda gli effetti della forma e ciò che fa nel continuum spazio-temporale del nostro universo.

Giovanni Ke e 19
secolo stro di
molti di me lui
dimostraz stato
duplicato del
grande inv patetico
vibratorio riempirebbe
volumi Keeley
e il suo un breve
conto fo



Figura 2.2-1 John Keely con il Globe Motor.

2.2.1 Breve storia di Keely

John Ernst Worrel Keely nacque nel 1827 e morì il 3 settembre 1898. I genitori di Keely morirono in un'epidemia quando era un ragazzino e fu allevato da suo nonno Ernst. Ernst era un abile musicista, compositore e direttore d'orchestra sinfonica. All'inizio, Ernst riconobbe che suo nipote, John, era un prodigio musicale, quindi l'addestramento musicale divenne parte della vita di John e costituì la base per le sue scoperte nella fisica vibratoria simpatica. Una carriera nella musica non piaceva all'avventuroso Keely. Rimase invece impressionato da una famosa affermazione di Pagganni, il violinista di fama mondiale, secondo cui, dato l'accordo di massa di un ponticello, Pagganni poteva distruggere il ponticello suonando questa nota sul violino.

Keely lasciò la scuola quando era un adolescente e se ne andò con il circo per alcuni anni; tuttavia, il suo background musicale e il suo intenso interesse nella scienza fece sì che Keely si sistemasse e si sposasse. Keely ha usato il suo background in falegnameria per guadagnarsi da vivere. Gran parte del suo reddito è stato speso per esperimenti sulla vibrazione sonora.

Intorno al 1866, mentre sottoponeva l'acqua a varie vibrazioni sonore, Keely ebbe un'esplosione nel suo laboratorio che distrusse l'apparato. Questo evento è stato il punto di svolta del suo dilettarsi scientifico e per sei anni di intensa sperimentazione Keely ha lavorato per duplicare l'effetto della conversione dell'acqua in energia con vibrazioni sonore. Ha scoperto che in determinate condizioni, una frequenza di 42.800 vibrazioni al secondo convertirebbe l'acqua in pura energia. Non vapore, né idrogeno e ossigeno, ma un'energia molto più potente e potenziata, che Keely giunse a credere fosse l'etere luminifero, la stessa energia da cui è stato formato l'universo.

Nel 1874 attorno a Keely si formò un gruppo di investitori, la Keely Motor Company, con l'espressa intenzione di sfruttare questa ritrovata forza eterica. L'azienda si è rivelata solo un peso per Keely e nessuna assistenza pratica nella sua ricerca. Keely non era un uomo d'affari e gli affari dell'azienda non lo interessavano. Di conseguenza, la Keely Motor Company è stata infine sciolta, ma non fino a quando i suoi fondatori non hanno sfruttato le sue azioni per tutto ciò che potevano spremere dall'azienda, lasciando Keely a tenere il sacco.

Durante l'episodio della Keely Motor Company, Keely è stato sostenuto da alcuni amici intimi che hanno capito e creduto nel valore della sua ricerca. Successivamente, Clara Jessup Bloomfield Moore, una ricca vedova, venne in soccorso di Keely e sostenne le sue ricerche fino alla fine della sua vita. La signora Moore ha scritto l'unica biografia contemporanea di Keely e delle sue scoperte[2].

2.2.2 Le scoperte di Keely

La scoperta di Keely della dissociazione o eteralizzazione dell'acqua utilizzando la frequenza ultrasonica di 42.800 è stata una scoperta fantastica già di per sé; tuttavia, Keely era intenzionato a scoprire tutta la fisica dietro questo fenomeno. Durante la sua carriera, Keely ha utilizzato la scoperta fondamentale di convertire l'acqua in pura energia per costruire molte dimostrazioni utilizzando quella forza per sollevare pesi enormi, controllare la forza di gravità rendendo oggetti più leggeri o più pesanti, azionare proiettili e molti altri.

L'effetto di eteralizzazione dell'acqua è stato perfezionato da Keely al punto da poter scomporre il nucleo atomico in 27 livelli o gradazioni di energie sempre più fini. Questo è simile alla fisica moderna in cui hanno trovato numerose particelle subatomiche che sono i mattoni delle particelle nucleari come protoni, elettroni e neutroni. Keely ha affermato che c'erano innumerevoli fenomeni associati a ciascuno di essi

questi livelli di energia all'interno del nucleo. Alcuni di questi includevano energie che governavano il funzionamento del cervello e della mente, la gravità è stato prodotto, e quali sono state le forze che hanno creato l'elettricità e il magnetismo.

Forse una delle dimostrazioni più sbalorditive è stata la capacità di Keely di controllare la forza di gravità. Poteva rendere le sostanze più leggere fino al punto di levitazione o renderle più pesanti del loro peso normale. Come parte del suo controllo delle forze gravitazionali, Keely ha dimostrato un modello funzionante del nostro sistema solare completo di un sole e pianeti simulati che era sintonizzato sulle forze reali che governavano ogni pianeta e il sole. Questo modello farebbe persino ruotare il sole e i pianeti simulati attorno al loro asse e i pianeti orbite attorno al sole simulato. Keely controllava questo sistema solare operativo con la forza sonora in congiunzione con il "vapore" eterico rilasciato dalla disgregazione dell'acqua. Ciò è stato dimostrato al maggiore Richarde Sever, uno scienziato inglese, in Keely'

Keely ha dimostrato che tutti i flussi di energia simpatici sono composti da correnti triple di flussi vibratori. Questo vale per i flussi magnetici, elettrici, gravitali e cerebrali/mente. Queste leggi governano tutta la massa dalla suddivisione più interna dell'atomo alle galassie e all'universo stesso. Questi flussi si irradiano dai soli e dalle stelle ai pianeti lungo la scala fino al nucleo degli atomi. Poiché questi flussi sono di natura vibrazionale e sintonizzati sulle rispettive sfere, Keely credeva che questa fosse la base per il termine "musica delle sfere" usato negli scritti esoterici.

2.2.3 Verifica delle scoperte di Keely

In questo momento è stato fatto poco per verificare la tesi generale di Keely sulla fisica vibratoria simpatica; tuttavia, la dissociazione dell'acqua mediante vibrazioni sonore è stata realizzata, sebbene, come un incidente in laboratorio. Questo è stato spiegato in modo molto dettagliato nel mio primo libro[9].

L'esperimento di base prevedeva di sottoporre l'acqua in un tubo di quarzo a frequenze ultrasoniche come prova delle tecniche di filtraggio sonico. Lo sperimentatore non sapeva nulla del lavoro di Keely.

John Ernst Worrel Keely (1827-1898) è stato uno dei primi di una serie di ricercatori negli ultimi 100 anni a scoprire un meccanismo per rilasciare grandi quantità di energia con un meccanismo di innesco a bassa energia. Le scoperte di Keely si basavano sulla scomposizione dell'acqua (e in seguito di altre sostanze) per creare ciò che Keely chiamava "vapore eterico" utilizzando forze acustiche specifiche, sintonizzate. Questo ovviamente corrisponde alla definizione di energia libera di una piccola forza (suono in questo caso) che rilascia enormi quantità di forza eterica con la fonte dell'energia che è la materia. Questo è stato fatto in acqua con una frequenza di base che Keely

affermato era 42.800 hz (cicli/secondo). Se questa frequenza è accurato è aperto al dibattito poiché un piccolo errore nella misurazione della frequenza più bassa produrrebbe grandi errori nelle armoniche più alte e chissà cosa Keely ha usato per uno standard di frequenza.

Keely ha generato questa frequenza ultrasonica utilizzando frequenze più basse nelle ottave sonore udibili. Gli ultrasuoni e le frequenze più alte possono essere prodotti tenendo conto del fatto che qualsiasi oggetto vibrante produce anche armoniche di un tono fondamentale. Combinando giudiziosamente vari fondamenti a frequenze sonore più basse, Keely potrebbe aumentare la quantità di energia che viene pompata nelle armoniche più alte poiché l'energia delle armoniche si aggiungerebbe in modo vettoriale.

2.2.3.1 Duplicazione dell'eterializzazione dell'acqua

Nel 1965 un mio conoscente, un chimico nucleare, stava facendo esperimenti con gli ultrasuoni. La configurazione è mostrata nella Figura 2.2.3.1-1. Lo scopo dell'esperimento era creare un'onda stazionaria in una colonna d'acqua e forzare le sospensioni di particolato nell'acqua a raccogliersi nei punti nodali. La frequenza di partenza per l'esperimento era di 40.000 hz. L'amplificatore di potenza emetteva circa 600 watt in un trasduttore in titanato di bario appositamente costruito montato sul fondo di un tubo di quarzo da 2 pollici. Quando il sistema veniva avviato, l'acqua si riscaldava e iniziava a bollire, riducendo il livello della colonna d'acqua nel tubo e alterando le condizioni delle onde stazionarie. Per compensare ciò è stato installato un circuito di feedback che ha mantenuto la frequenza regolata in modo da mantenere un'onda stazionaria nella colonna. Pertanto, la frequenza è aumentata lentamente man mano che il livello dell'acqua è diminuito.

Ad una certa frequenza, poco sopra i 41.300 hz, l'acqua scompariva nel tubo. Non è stata trovata acqua dal tubo da nessuna parte, era completamente scomparsa. È stato trovato un buco pulito nel soffitto direttamente sopra il tubo. Un ulteriore esame ha rivelato che il buco continuava anche attraverso il tetto dell'edificio a un piano. La conclusione del chimico fu che l'acqua era stata convertita in pura energia nucleare. Decise che questo non era sicuramente ciò che voleva perseguire, poiché la conversione dell'acqua in pura energia era simile alla creazione di una bomba nucleare, quindi l'intero sforzo fu abbandonato.

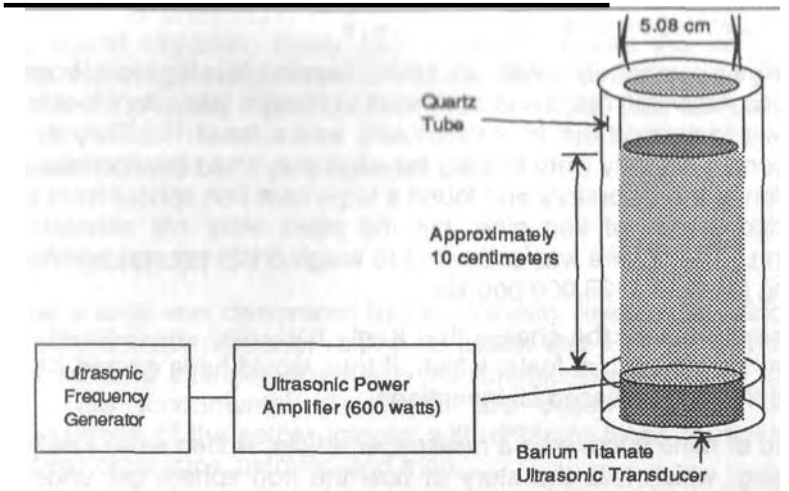


Figura 2.2.3.1-1 Duplicazione moderna dell'eteralizzazione di Acqua

2.2.3.2 Fisica dell'eterealizzazione

L'analisi dell'esperimento porta ad alcune conclusioni interessanti. La colonna d'acqua utilizzata era lunga esattamente 3 lunghezze d'onda[10]. Questo si basa su una velocità del suono nell'acqua di 56.760 pollici/secondo e quindi una lunghezza d'onda di 1,3 pollici se assumiamo la frequenza di dissociazione di Keely. Così la colonna d'acqua di 10 centimetri (3,84 pollici) divisa per 1,3 produce 3 lunghezze d'onda. Il risultato netto di ciò è un'onda stazionaria creata nel tubo. Poiché il numero di lunghezze d'onda è un numero dispari, l'onda riflessa finisce per annullare l'onda primaria. Ciò si traduce in un'onda di stress imposta alle molecole d'acqua e all'energia eterica che fluisce nel nucleo. Il risultato è quello di stabilire una condizione vibratoria che smorza l'energia del nucleo sufficiente a far dissolvere nuovamente gli atomi nell'etere primordiale.

Un'interessante storia aneddotica relativa a questo esperimento ha a che fare con una conferenza in cui mi è stato chiesto di raccontare l'incidente dell'esperimento di eteralizzazione dell'acqua. Dopo il mio discorso una folla di membri interessati del pubblico, che era salito sul podio, mi ha fatto varie domande. Un giovane ricercatore in fondo alla folla attirò la mia attenzione e disse di aver duplicato l'esperimento usando un piezoelettrico come quello usato dal chimico, ottenendo risultati simili e affermando che l'esperimento non aveva bisogno della stessa potenza che aveva usato il chimico. Nelle successive domande della folla, ho perso le tracce del giovane ricercatore e non sono mai stato in grado di ottenere i dettagli del suo sforzo di duplicazione.

2.2.3.3 Levitazione di una sfera di ferro da 4 tonnellate

Dopo la morte prematura di Keely nel 1898, diversi investigatori del *Scientifico americano*lo staff della rivista è andato al laboratorio di Keely in cerca di prove a sostegno dell'idea che Keely fosse un imbroglione. Pensarono di aver trovato quello che cercavano quando sollevarono le assi del pavimento di una sezione del laboratorio e trovarono una grande sfera di ghisa da cui sporgevano pezzi di tubo di ferro, ma i tubi non erano collegati a nulla. Si stima che la sfera pesasse 6.625 libbre e avesse una forza di scoppio di 28.000 libbre.

Questo evento ha ravvivato l'accusa che Keely avesse usato l'aria compressa per compiere le sue imprese miracolose; il che, se vero, avrebbe fatto guadagnare a Keely una fortuna grazie alle invenzioni dell'aria compressa.

Un mio amico ha scoperto un articolo di giornale, scritto mentre Keely era ancora in vita, che racconta la storia di come la sfera di ferro sia finita sotto le assi del pavimento. Sembra che il giornalista che ha scritto l'articolo fosse andato a trovare Keely per possibili informazioni degne di nota. Trovò l'inventore nel suo laboratorio che faceva un grosso buco nel pavimento. Keely ha salutato il giornalista ma non sembrava essere di umore loquace poiché sembrava piuttosto impegnato. Dopo aver allargato il buco, Keely ha attaccato alla sua vita una strana cintura con diversi meccanismi incorporati. Ha quindi attaccato un filo sottile che parte dalla cintura a una grande sfera appoggiata in un angolo del laboratorio.

Dopo alcuni minuti di intensa concentrazione da parte di Keely, il pesante globo si sollevò lentamente di qualche centimetro dal pavimento. Keely ha quindi "fatto galleggiare" la sfera di ferro sopra il buco nelle assi del pavimento e ha permesso all'enorme massa di depositarsi al suolo sotto il livello del pavimento. Dopo alcuni aggiustamenti al meccanismo della cintura, Keely sembrò di nuovo perso in una concentrazione assorta. Questa volta il globo lentamente ma inesorabilmente si adagiò nella terra, sepolto dall'opposto della levitazione; vale a dire, la supergravità. Evidentemente Keely aveva fatto aumentare la massa apparente della sfera a tal punto che essa sprofondava nella terra ferma proprio come una roccia pesante affonda nel fango. L'inventore ha detto al giornalista che stava facendo spazio nel suo laboratorio ripulendo attrezzature antiquate. Questa è la sfera successivamente trovata dal*Scientifico americano*esporre il gruppo.

È teorizzato che il meccanismo della cintura che Keely indossava durante l'impresa di levitazione sintonizzasse la struttura atomica della sfera di ferro in modo che tutti gli atomi fossero sincronizzati e la forza eterica diretta attraverso la sfera la facesse levitare o gravitare.

2.2.4 Sintesi della ricerca di Keely

Studiare gli scritti di Keely e cercare di dar loro un senso è un processo doloroso. Keely ha inventato il suo vocabolario e ci ho messo io

molti anni per capire in piccola parte quello che aveva realizzato. Usando la vibrazione sonora, Keely aveva letteralmente svelato i segreti della gravità, dell'elettricità, del magnetismo, della fisica subatomica, della fisica del cervello e della mente, ecc. Probabilmente non sapremo mai tutto quello che ha fatto Keely. Possiamo solo sperare che i ricercatori più moderni che riscoprono questi segreti li condividano con il mondo per la nostra illuminazione.

2.3 ENERGIA ORGONICA

L'energia orgonica è stata scoperta dal Dr. Wilhelm Reich. La scoperta era davvero un altro aspetto dell'etere universale più l'invenzione di Reich di meccanismi per intensificare e rendere disponibili le energie per vari usi. Le sue scoperte fondamentali si basano su come intense manifestazioni dell'etere interagiscono con diversi tipi di materia e con organismi viventi, animali e uomo.

2.3.1 Breve storia di Wilhelm Reich

Wilhelm Reich nacque il 24 marzo 1897 in Austria. La sua istruzione superiore era tedesca e la formazione universitaria fu presso l'Università di Vienna dal 1918 al 1922, dove terminò una laurea in medicina di 6 anni in soli 4 anni. Il suo lavoro post-laurea era in neuropsichiatria e medicina interna. Reich fu uno dei migliori allievi di Sigmund Freud e lavorò come primo assistente clinico per 6 anni presso il Policlinico psicoanalitico di Freud dal 1924 al 1930. Dal 1930 al 1933 Reich fondò vari centri di igiene mentale in Austria e Germania. Reich lasciò l'Austria e la Germania per la Norvegia per sfuggire alla persecuzione dei nazisti.

Reich scoprì l'energia orgonica mentre cercava un'energia che facesse parte del comportamento nevrotico. La sua ricerca rivoluzionaria sulla fisica dell'orgone è iniziata a Oslo, in Norvegia, presso l'Istituto di psicologia dell'Università di Olso. Nel 1939, Reich trasferì il suo laboratorio norvegese a Forest Hills, New York, dove alla fine acquisì la cittadinanza degli Stati Uniti. Reich è stato professore associato di psicologia medica a New York City e presso la sua New School for Social Research, dove ha tenuto conferenze sulle sue scoperte sull'energia orgonica. Nel 1942 Reich fondò la sua struttura di ricerca, l'Orgone Institute, a Rangely Maine. Chiamò la sua nuova scienza Orgonomia.

Le scoperte di Reich lo portarono a testare gli accumulatori orgonici sulle persone nella speranza che alleviassero le loro malattie. Ha avuto un certo successo nella cura del cancro e ha anche scoperto che l'orgone era un buon coadiuvante per la guarigione generale. Per questo la Food and Drug Administration (FDA) degli Stati Uniti ha attaccato Reich. Lo portarono in prigione, ricevettero ingiunzioni contro di lui per aver usato cure mediche fasulle (cioè non ortodosse), bruciarono i libri di Reich in tutta la nazione e infine distrussero Reich. La FDA ha affermato che l'orgone

semplicemente non esisteva a prescindere dalla montagna di prove che Reich aveva accumulato per provare l'esistenza dell'orgone.

Alla fine il dottor Wilhelm Reich morì per tutte le pressioni esercitate su di lui dalla spietata FDA solo poco tempo dopo essere stato rilasciato dalla prigione con l'accusa inventata di negligenza medica.

2.3.2 Introduzione all'energia orgonica

All'inizio Reich pensò che l'energia orgonica fosse di natura elettrica; tuttavia, ulteriori ricerche e sperimentazioni hanno mostrato che questa energia era di un tipo totalmente nuovo. A causa dell'associazione di questa nuova energia con l'orgasmo, Reich coniò il termine "orgone" e credeva che fosse il fondamento della vita stessa. Reich dimostrò che l'atmosfera conteneva orgone e dimostrò che l'orgone è l'energia preatomica di cui è fatto il nostro universo.

Uno dei risultati più notevoli di Reich fu un dispositivo di energia libera basato sul fatto che alte concentrazioni di orgone avrebbero stimolato l'emissione ionica nei tubi a vuoto.

La Tabella 2.3.2-1 riassume alcuni fatti molto interessanti sull'energia orgonica. Per coloro che hanno familiarità con gli studi sull'energia piramidale e altri accumulatori eterici, è ovvio che l'orgone è un'altra manifestazione o modifica dell'etere universale.

2.3.3 L'Oraccu

L'accumulatore di orgone, o oraccu come veniva chiamato, è un'invenzione di Reich che accumulerà e intensificherà l'energia dell'orgone. Gli esperimenti hanno dimostrato che l'orgone è in grado di penetrare qualsiasi cosa; tuttavia, la velocità di penetrazione è diversa per i diversi materiali. Reich scoprì che materiali organici come cotone, lana, legno e seta trasmettono facilmente energia orgonica. Metalli come il ferro e l'alluminio, invece, prima assorbono l'orgone e poi lo respingono. All'interno di ciascuna categoria (ossia organici e metallici) vi erano vari gradi di conduttività e assorbimento. I materiali di questi due effetti costituiscono la base dell'accumulatore oraccu o orgone.

Feature of Orgone	Description
Organic matter attracts Orgone	Natural materials such as wood, cotton, wool, etc. absorb and conduct Orgone easily.
Metals repel Orgone	Metals such as gold, iron, tin, etc. will first absorb Orgone and then repel it.
Attracted to water	Orgone is very strongly attracted to water and water will readily absorb Orgone.
Orgone flows	Layering natural material like cotton then a metal will establish a directional flow of Orgone from the cotton through the metal. Orgone flows from the weaker potential to the stronger, opposite from electricity.
Orgone is luminous	Orgone could be seen visually. When a person becomes saturated with Orgone they can usually see the Orgone around the body in a darkened room.
Neutralizes radioactivity	*When radioactive material is placed in an Orgone* accumulator, the material is rendered benign (i.e., non-radioactive) over a period of time.
Detectable with an electroscope	This showed the ionic aspect of orgone as it would stimulate the leaves of an electroscope.
Would affect a Geiger counter	This is related to the ability of orgone to neutralize radioactivity by stimulating radioactive materials to a higher decay rate causing the material to become benign very quickly.
Could affect temperature	Reich claimed that a many layered orgone accumulator would have a higher temperature than the ambient air temperature. My experiments to prove this were unsuccessful.

Tabella 2.3.2-1 Fatti sull'energia orgonica

Un oraccu è costituito da un semplice contenitore come una scatola di 6 lati di qualsiasi dimensione con le pareti della scatola costituite da strati alternati di materiale organico e metallo con lo strato esterno l'organico e lo strato interno finale il metallo. Il metallo più comunemente usato era la lamiera. Alcuni metalli, come l'alluminio, Reich considerava dannosi. Gli oraccus più potenti avevano molti strati di materiali organici e metallici. Sono state utilizzate anche forme diverse dalla scatola, come i tubi, ma tutte facevano uso di strati organici e metallici naturali.

Una stratificazione di materiale organico e metallico stabilirebbe una direzione di flusso dell'orgone. L'orgone sarebbe attratto dall'organico, assorbito da esso; poi assorbito dal metallo, e poi respinto dal metallo. Questi due processi, in esecuzione continua, attirerebbero l'orgone nel lato organico e fuori dal lato metallico. Quindi possiamo vedere che con questa geometria dei materiali, l'orgone fluisce da potenziali più deboli a potenziali più alti. Questo è l'opposto dell'energia elettrica che fluisce dai potenziali più alti a quelli più bassi. I reichiani ne fecero un grosso problema come caratteristica distintiva per cui l'orgone fluirà dai potenziali più bassi a quelli più alti. Tuttavia, ignorano il fatto che solo questa condizione

si verifica in un oraccu con la sua forma speciale e la costruzione del materiale o quando sono adiacenti materiali di diverso assorbimento di orgone.

Le condizioni ambientali influenzerebbero anche l'oraccu. Ha funzionato meglio in ambienti o climi secchi e aridi. L'umidità, essendo molto attraente per l'orgone, smorzerebbe (gioco di parole) la capacità dell'oraccu di funzionare alla sua massima efficienza.

Uno strato combinato di materiale organico e metallico formava una "piega" dell'oraccu, come lo chiamava Reich. Più strati, più potente sarebbe l'oraccu; tanti strati creerebbero intense concentrazioni di orgone. Per questo motivo, Reich ha avvertito che l'oraccus con più di tre pieghe dovrebbe essere maneggiato solo da un medico esperto.

2.3.4 Effetti biologici costruttivi dell'energia orgonica

Reich ei suoi associati e molti seguaci e sperimentatori delle idee di Reich hanno tabulato una serie di effetti biologici dell'energia orgonica. Sedendosi in un oraccu per circa un'ora al giorno, la persona diventa gradualmente satura di orgone e può iniziare a vederne e sentirne gli effetti. Le persone descrivono una sensazione pungente e luminosa quando si è nell'oraccu. Calore e rilassamento sono effetti comuni. Mentre si trova in un oraccu, e nella totale oscurità, una persona sensibilizzata può vedere l'attività luminosa dell'orgone. Alcuni hanno sperimentato e scoperto che l'orgone è controllabile con la mente ei sentimenti.

Le persone hanno affermato che l'oraccu manterrebbe la persona più sana e vitale che altrimenti. Si dice che i raffreddori o altri mali siano notevolmente ridotti. Reich affermò che l'oraccu sembrava eliminare il cancro e altre gravi malattie. Sperimentatori e personale medico hanno usato l'oraccu che avrebbe permesso di sparare o iniettare l'orgone nei pazienti per il trattamento di ferite, tagli, abrasioni, congelamento e ustioni con grande successo.

L'oraccu è stato utilizzato con successo anche sugli animali domestici. Inoltre, l'oraccu funziona bene come incubatore per la germinazione delle piantine.

2.3.5 Potere di forma ed energia orgonica

Gli effetti dell'oraccu come dispositivo di alimentazione di materiali speciali sono ben documentati. Una stratificazione di materiali che assorbono e conducono energia orgonica o eterica è estremamente ben documentata. Ma cosa succede se combiniamo gli effetti del potere di forma di forme speciali per controllare e dirigere l'etere con gli effetti materiali dell'oraccu. Una piramide metallica è molto più potente come dispositivo di potere di forma rispetto a una piramide fatta di un materiale dielettrico non conduttivo.

7.3.6 Energia Orgonica Pericolosa (DOR).

Reich ha coniato l'acronimo DOM per descrivere le energie negative create quando materiali radioattivi (ad esempio, orologi con quadrante al radio), sostanze chimiche dannose come insetticidi, televisori e apparecchiature a raggi X venivano collocati all'interno dell'oraccu. L'energia prodotta inserendo tali dispositivi in un oraccu doveva generare un'energia tanto distruttiva per gli esseri umani e gli animali quanto l'oraccu era costruttivo se utilizzato in un ambiente privo di questi dispositivi.

Reich e altri affermarono che il DOR formava nuvole di sporche macchie scure nel cielo. DOR è ostile alle piante, agli animali e all'uomo. Ci vogliono molti giorni o mesi, a seconda della concentrazione, perché la natura si disperda nel DOR e ringiovanisca l'area.

2.3.7 Riepilogo dell'energia orgonica

Il tema principale è che l'energia orgonica è una forma condensata di energia eterica. La scatola dell'orgone, con la sua stratificazione di materiali dielettrici e conduttivi naturali, raccoglie e intensifica l'energia dell'orgone in modo che possa essere utilizzata.

L'energia dell'orgone stimola i materiali radioattivi ad aumentare la loro emivita e quindi a formare un possibile meccanismo per sbarazzarsi dei rifiuti radioattivi. Poiché la scatola orgonica può stimolare il decadimento radioattivo, questo potrebbe essere il percorso verso un metodo molto semplice di generazione di energia che utilizza il potere di forma utilizzando i prodotti ionici del decadimento. Il grosso scompiglio in tutto questo è il fatto che viene creato il pericoloso orgone (DOR) che può essere più ostile della radioattività stessa.

L'energia orgonica concentrata ha potenziali usi nelle scienze della salute per realizzare forme di guarigione e terapia migliori, più naturali e non invasive.

2.4 FISICA DELL'IMPLOSIONE

Un ingegnere civile austriaco, Viktor Schauberger, è un anello importante nella fisica del potere di forma. Schauberger ha fatto le sue scoperte nella prima parte del XX secolo.

Schauberger si interessò agli effetti dell'erosione durante il suo lavoro di ingegnere civile. Ha notato che molti fiumi e torrenti che abbondano nelle splendide Alpi austriache erano quasi esenti da erosione, mentre i corsi d'acqua artificiali necessitavano di continue riparazioni a causa dei gravi effetti dell'erosione. Essendo un attento osservatore della natura, ne dedusse che i meandri dei corsi d'acqua naturali avevano in qualche modo raggiunto uno stato di equilibrio tale che le forze dell'acqua causassero il minimo danno alla terra attraverso la quale scorre. Da questa semplice osservazione e dal fatto interessante che

la trota può rimanere immobile in un ruscello in rapido movimento, Schauberger ha concluso che esiste una forza naturale in natura che segue percorsi naturali. Ha trascorso la maggior parte della sua vita a scoprire le leggi che governano questa energia naturale. Probabilmente non sapremo mai fino a che punto Schauberger ha sviluppato una comprensione della fisica dell'implosione poiché la maggior parte dei dettagli delle sue scoperte sono andati perduti.

2.4.1 Breve storia di Viktor Schauberger

Viktor Schauberger[11,9] nacque il 30 giugno 1885 a Holzschlag, Vienna, Austria, come guardiano della terra. Era nato in una famiglia di "boscaioli" o guardie forestali il cui compito era quello di sorvegliare una parte delle montagne e delle foreste in Austria. Il loro motto era *"Fidus in Silvis Silentibus"* ("fedele alle foreste silenziose").

Fin dall'infanzia, Viktor era a casa nella foresta. Era un attento osservatore della natura, degli animali, della terra, degli alberi e delle acque. L'acqua sarebbe diventata la sua passione per tutta la vita e decise, in tenera età, di scoprire le leggi ei segreti dell'acqua. Schauberger vedeva l'acqua come una sostanza vivente piena di vita e di energie vitali.

Quando Viktor raggiunse l'età adulta, andò naturalmente al servizio del governo, lavorando per un principe locale, un grande proprietario terriero, come guardia forestale. Verso la fine della prima guerra mondiale si era guadagnato una posizione di responsabilità su una vasta area selvaggia. Il principe, bisognoso di denaro, si rivolse a compagnie di legname per disboscare l'area selvaggia. Un vero e proprio blocco si è verificato quando le compagnie di legname non sono riuscite a portare i tronchi fuori dalle montagne a causa di un approvvigionamento idrico inadeguato per far galleggiare i tronchi alle segherie. Viktor ha ideato canali speciali basati su percorsi d'acqua naturali (cioè percorsi a spirale e tortuosi) che richiedevano una quantità minima di acqua per far galleggiare i tronchi ai mulini. Ciò ha consentito il disboscamento di aree precedentemente inaccessibili agli interessi del legname.

Il saccheggio delle foreste con il disboscamento eccessivo e gli effetti concomitanti della distruzione ecologica indussero Viktor a rassegnare le dimissioni disgustato dagli avidi, miopi interessi commerciali.

Schauberger ha perseguito la ricerca privata. Il suo primo sviluppo fu una macchina che avrebbe fornito una buona acqua potabile che fosse viva con energia vitale naturale. Questo era un contenitore a forma di uovo che aveva una piccola girante sul fondo del contenitore. La girante girerebbe ad alta velocità e farebbe formare all'acqua un vortice naturale (cioè una spirale tridimensionale). Viktor aveva scoperto che quando l'acqua o qualsiasi altro fluido o gas veniva fatto girare in un vortice, raccoglieva una carica di energia.

Esperimenti di laboratorio da parte mia e di altri hanno dimostrato che l'acqua fatta girare in un vortice acquisisce una carica elettrostatica. Tensioni fino a 10.000 volt sono state misurate al centro dell'acqua che è stata

vorticato per diversi minuti. Allo stesso modo, in un tornado, vengono generate enormi forze elettrostatiche pari a molti milioni di volt.

Uno di Schauberger
speciali canali di tronchi che
manterrebbero i porti e che, grazie
a un'adeguata progettazione,
risalgono il fondo del fiume o

pmento del
r lo guida
è coperto
la sua corporatura
di limo.

Nel 1930 Schauberg
Il mio sviluppo è molto
più alto libero it
produzione potere di
piattini o non identificato
migliaia di osservare
mostrato nella Figura 2.4.1-1

cinese che potrebbe
t del giorno ed
emendamente più alto
es somigliava volare
nd documentato di
di queste imbarcazioni sono

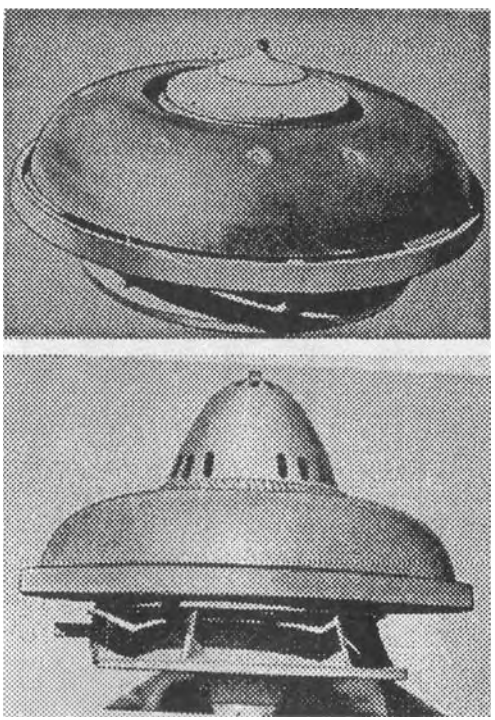


Figura 2.4.1-1 Due navicelle di levitazione di Schauberger costruite per
nazisti nella seconda guerra mondiale.

Nel 1934, Viktor fu "richiesto" di incontrare Hitler[13]. Hitler offrì a Schauberger un lavoro come scienziato che sviluppava aerei basati sull'anti-

gravità scoperte. quando Schauberger rifiutato, Hitler mettere di Vittorio famiglia in un campo di prigionia che costrinse Viktor a lavorare alle sue invenzioni per Hitler. Viktor lavorò per il Terzo Reich su velivoli antigravitazionali dal 1938 al 1945, alla fine della seconda guerra mondiale.

Quando gli Alleati scoprirono Schaube mestiere. Questo ha portato interessi" che ne hanno fatto un uso pubblico.

la mia compagnia di intelligence al disco incompiuto egli forma di "conferito per essere rilasciato per

Agenti di il ve contratto per lui Zokwendle. Lo Zocco freddo diamagnetico po Zokwendle era shipp capire la macchina per farlo funzionare ba indicazioni nel suo funzionamento

Schauberger e turbine energetiche, il e 50.000 Watt di elettricità mal. Il gli scienziati potrebbero non mangiato da quando hanno cercato di seguire Viktor's 2.4.1-2.

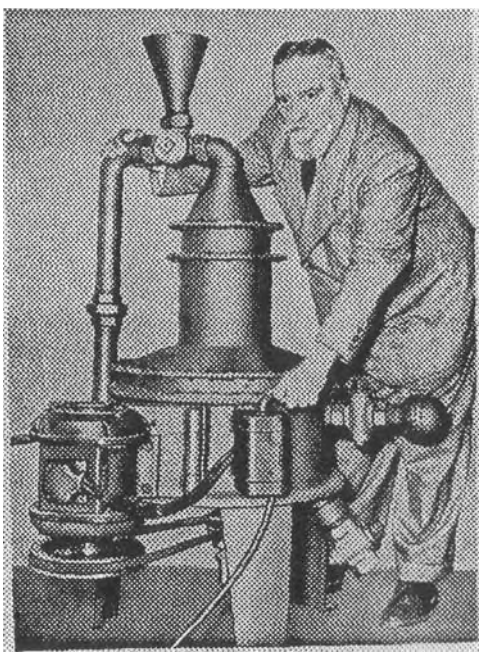


Figura 2.4.1 -2 Schauberger accanto al suo Zokwendle

Di conseguenza Viktor è stato portato negli Stati Uniti per far funzionare il dispositivo; tuttavia, ha scoperto che il gruppo non aveva intenzione di farlo

lasciandogli rilasciare energia libera nel mondo, così Viktor si rifiutò di aiutarlo. Schauberger è stato minacciato di prigione e costretto a cedere la piena proprietà del suo Zokwendle agli interessi acquisiti. È tornato a
Germania, un uomo distrutto, e morì diversi mesi dopo.

2.5 Riassunto della fisica dell'implosione

Viktor Schauberger scoprì un'energia universale che era l'opposto della normale elettricità, esisteva ovunque ed era il fondamento fondamentale della vita e della sostanza. Fondamentalmente, Viktor ha riscoperto l'etere come diamagnetismo, nello stesso modo in cui Reich aveva scoperto l'etere come energia Orgone. Il diamagnetismo era condotto da non conduttori; da qui la ragione per cui lo chiamò diamagnetismo dopo il termine scientifico per un non conduttore (cioè diamagnetico).

Schauberger scoprì anche che il diamagnetismo, o etere, avrebbe seguito percorsi a spirale e vorticosi e che questi tipi di percorsi avrebbero agito come concentratori di diamagnetismo. Forzando i fluidi a muoversi in speciali guide a vortice, potrebbe causare la carica di diamagnetismo nel fluido che a sua volta farebbe sì che gli atomi dei fluidi raccolgano una carica elettrostatica.

Si scoprì che anche la gravità era correlata al diamagnetismo. Muovendo l'etere in uno schema vorticoso, la materia all'interno del vortice perderebbe peso e levitarebbe. Questo effetto era alla base delle sue macchine volanti a disco. Schauberger ha sperimentato vari fluidi idrodinamici come acqua, aria e sabbia come base per il materiale che ha fatto scorrere attraverso i suoi motori di levitazione.

Si scoprì anche che gli effetti vitali salutari erano associati al diamagnetismo. Viktor scoprì che quando cibi e bevande erano carichi di diamagnetismo miglioravano la salute di una persona.

2.6 Bibl iografia

1. Chigliay e le sue scoperte . Clara Bloomfield Moore, Londra, Kegan Paul, Trench, Trubner & CO, Ltd., 1893.

2.Un abitante su due pianeti S. Phylos, Borden Publishing Company, Los Angeles, 1952.

3.Feng Shui la scienza del paesaggio sacro nell'antica Cina . Ernest J. Eitel, Synergetic Press, Tucson, Arizona, 1984.

4.Design d'interni con Feng Shui . Sarah Rossbach, EP Dutton una divisione di NAL Penguin Inc, 2 Park Avenue, New York, NY 10016

5.La Grande Piramide Prova Di Dio . George R. Riffert, Destiny Publishers, Merrimac, Mass., 1932.

6.Potere piramidale . Max Toth e Greg Nielson, Freeway Press, 1974.

7.La guida all'energia piramidale . Bill Kerrel e Kathy Gorggin, Pyramid Power V, Inc, 1975.

8.Nuova luce sull'energia terapeutica s. Mark L. Gallert, James Clarke & Co. Ltd, 31 Queen Anne's Gate, Londra, SW 1, 1966.

9.Energia: innovazioni per nuovi dispositivi a energia libera . Dan A. Davidson, RIVAS, casella postale 1090, Sierra Vista, Arizona 85636, 1977.

10.Ricerca sull'energia del campo T . Dan A. Davidson, RIVAS, casella postale 1090, Sierra Vista, Arizona 85636,1990.

11.Centro Del Vortice . Willian F. Hamilton, Telos Publishing Co., Casella postale 1745, Sun Valley, CA., 91352,1979, 1986.

12. "Indagini al Laboratorio Keely",*Scientifico americano,* 4 febbraio 1899, 72-73,

13.Weltreich Spirale . Leopold Brandstatter, Linz/Donan, Austria, Morikeweg 3 Branstadart, 1961,1962.

CAPITOLO 3

ENERGIE DELLA TERRA

3.1 Energie della Terra

Una nuova consapevolezza delle energie della terra emerse negli anni '20, quando i rabdomanti tedeschi scoprirono che c'erano case in cui le persone avevano più tumori dei loro vicini. L'analisi fisica e l'analisi radiestesica hanno trovato vene sotterranee d'acqua che attraversavano sotto le case del cancro e non sotto le case dei vicini. I corsi d'acqua sotterranei che si incrociano uno sopra l'altro generano un'energia vorticosa nel campo eterico che sembra influenzare la salute delle persone. I ricercatori hanno persino scoperto che gli alberi che crescono su uno di questi punti di energia a spirale saranno influenzati dall'energia del vortice e cresceranno secondo uno schema contorto.

Più o meno nello stesso periodo, Alfred Watkins dell'Herefordshire, in Inghilterra, fece l'interessante scoperta che molti degli antichi luoghi sacri erano allineati in linea retta. Ha chiamato questi "leys" o ley lines. Ha teorizzato che gli antichi popoli del Neolitico e dell'era cristiana localizzassero i loro luoghi sacri su queste linee di potere. La rabdomanzia ha rivelato che queste linee energetiche fanno parte del sistema energetico della Terra.

3.2 Ley-line

Le linee energetiche sono un'altra manifestazione dell'energia eterica. Le linee energetiche hanno origine sopra la superficie terrestre; penetrano e lasciano la Terra verticalmente in punti nodali o "centri di potere" come li chiamano i rabdomanti. Le linee energetiche sono flussi di energia eterica sulla superficie della terra e sono condotti per alimentare la terra con energia eterica.

Le linee energetiche variano da pochi metri a molte migliaia di miglia di lunghezza.[1] Ley che emergono dalla terra sono chiamate "yang" o di polarità positiva e agiscono per stimolare una persona. Al contrario, le luci che entrano nella terra sono "yin" o di polarità negativa e indeboliranno una persona.

Si è scoperto che la maggior parte (cioè circa il 70%) dei punti di energia yang delle linee di potere hanno sorgenti d'acqua ad essi associate. Prove sperimentali mostrano che l'acqua è attratta dall'energia eterica, quindi è naturale che le ley lines siano spesso associate all'acqua.

Fiumi, montagne e altre strutture naturali e artificiali influenzano le ley-line e fanno sì che l'intensità del flusso di energia diventi più forte o più debole. Quindi possiamo vedere che se le ley lines sono influenzate da strutture naturali e artificiali, allora le ley lines possono essere controllate e l'energia manipolata.

Quelli con la loro vista interiore a volte possono vedere le linee energetiche in condizioni speciali. I rabdomanti (cioè i sensitivi motori) li rilevano prontamente con strumenti da rabdomanzia come bacchette, misuratori dell'aura, ecc.

3.3 Reti energetiche

Secondo i rabdomanti ci sono diversi tipi di griglie che variano in dimensioni e distanza sopra la terra. Si tratta di reti energetiche est-ovest/nord-sud che formano un sistema energetico naturale che copre l'intera terra. La Curry Net e la Hartmann Net sono le due griglie terrestri più conosciute. Una recente ricerca di Bruce Cathie, un neozelandese, ha anche scoperto una griglia energetica che sembra correlata agli UFO.

Il dottor Manfred Curry[1] scoprì la griglia a lui intitolata. La griglia di Curry, rappresentata nella figura 3.3-1, è molto regolare, stabile e copre l'intera terra. Le sue linee corrono approssimativamente in direzione nord-est-sud-ovest/nord-ovest-sud-est e quindi corrono in diagonale rispetto alle direzioni di latitudine e longitudine. Si ritiene che il Curry Net sia di origine terrestre. Ha nodi di carica e scarica alternati. Le linee sono distanti 10-12 piedi negli emisferi nord e sud e 12-15 piedi man mano che si avvicinano all'equatore.

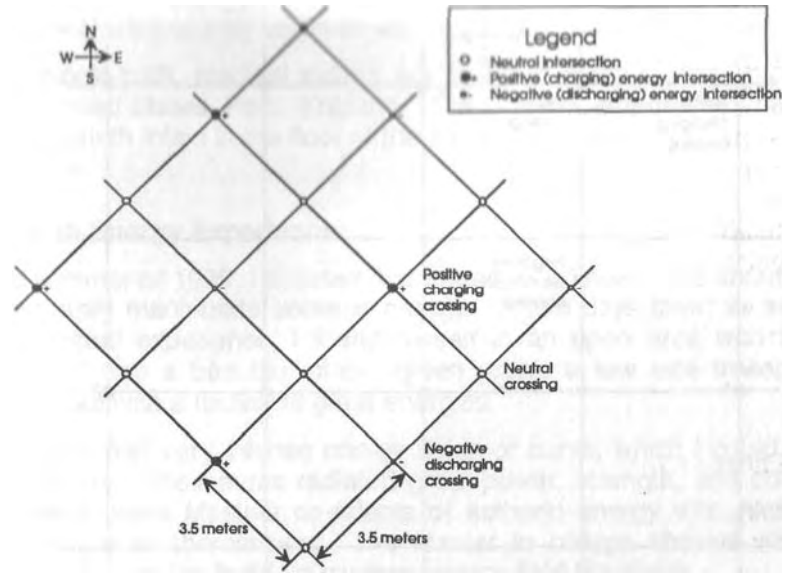


Figura 3.3-1 Griglia di terra della rete di curry

L'altra rete ben nota è la Rete di Hartmann[1], mostrata in figura 3.3-2, che corre in direzione nord-sud/est-ovest. Si ritiene che sia di origine cosmica e non sia stabile come il Curry Net. Secondo i rabdomanti la rete di Hartmann ha un cambio di fase quattro volte al giorno: all'alba, a mezzogiorno, al tramonto ea mezzanotte. Durante questi cambi di fase, la griglia scompare. Sembra essere influenzato dall'attività cosmica o astrofisica come le fasi lunari, l'attività delle macchie solari e le condizioni meteorologiche.

Le linee della griglia est-ovest intersecano le linee della griglia nord-sud e formano vortici. A seconda della posizione e delle dimensioni della linea della griglia, il vortice può essere un flusso ascendente o discendente di energia eterica. I rabdomanti credono che questi punti vorticosi delle griglie possano essere dannosi o utili per la salute di una persona.

La griglia di Cathie è presumibilmente simile alla rete di Hartmann, ma la griglia di Cathie è composta da rettangoli di 45 miglia nautiche quadrate. Cathie ritiene che la spaziatura della griglia sia correlata alla gravità, alla velocità della luce, alla massa terrestre e ad altre costanti terrestri naturali. La ricerca di Bruce Cathie punta agli UFO che viaggiano su questo sistema a griglia.

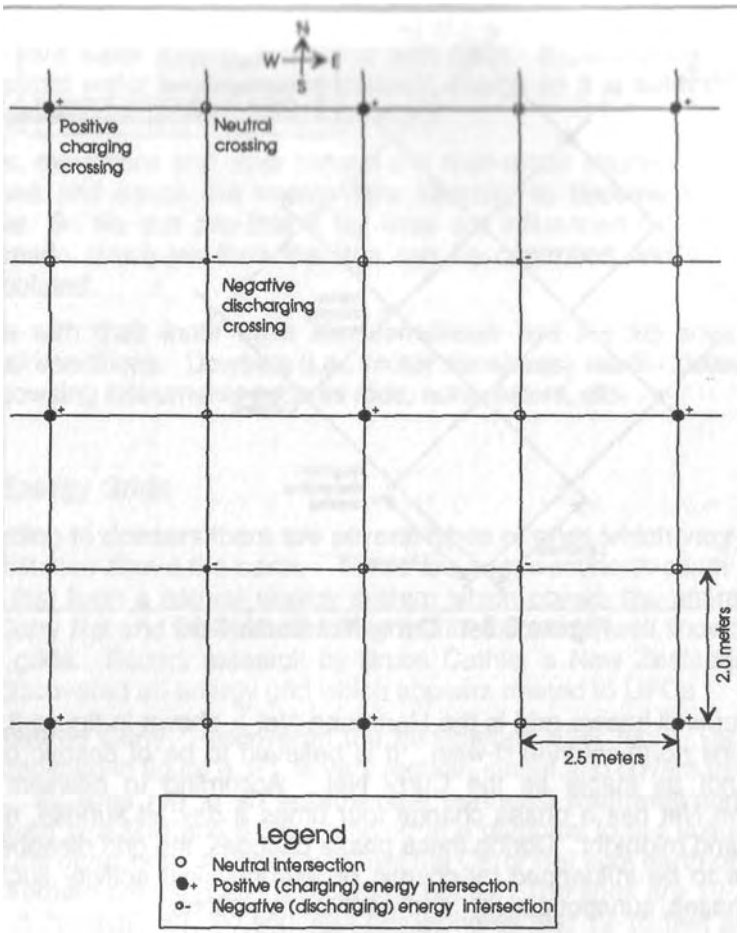


Figura 3.3-2 Rete di terra Hartmann

3.4 Potere della Forma Antica Uso delle Energie della Terra

Alcune tribù indiane nel sud-ovest degli Stati Uniti usavano il potere della forma insieme alle energie della terra per raccogliere e concentrare l'energia della terra dentro e intorno alle loro abitazioni e ai loro edifici cerimoniali chiamati kiva. I kiva agiscono come un centro magnetico per attingere energie dall'area circostante e riorientarle fuori dal centro superiore del kiva.

Un altro modello di potere della forma antica è il labirinto. Un labirinto è un labirinto bidimensionale a percorso singolo. Ci sono labirinti mancini e destrorsi. Direzione del labirinto*labirinto*determina il tipo di energia che focalizza. La funzione esoterica del labirinto è guidare la persona attraverso il modello di potere della forma e sintonizzarla sulle energie associate al modello. L'altra sua ovvia funzione è quella di

channelearthenergy . La maggior parte dei labirinti crea vortici di energia in senso orario e antiorario con sottili differenze ed effetti.

Questi labirinti magici a percorso unico si trovano in molti luoghi, come Cina, Stati Uniti, Perù, Inghilterra. La cattedrale gotica di Chartres ha un labirinto intarsiato nel pavimento della navata.

3.5 Esperienza sull'energia della Terra

Nell'estate del 1995, decisi che avevo bisogno di saperne di più su come manipolare personalmente l'energia eterica. Pochi giorni dopo, in un'esperienza spirituale molto viva, mi sono trovato in un'area aperta con tre Esseri. Era un posto bellissimo, erba verde, alcuni begli alberi, e tranquillo ma con una sensazione di grandi energie.

Gli Esseri avevano campi energetici molto intensi o aure, che potevo sia vedere che sentire. Le loro aure irradiavano grande potere, forza e controllo. Gli Esseri erano Maestri o Adepti dell'energia eterica che per primi avevano dominato totalmente se stessi. Il Maestro in carica mi ha mostrato un movimento energetico per costruire il mio campo energetico come il loro.

Ho avuto altre tre di queste esperienze dalla prima nel 1995, quindi ci sono un totale di quattro movimenti, ciascuno progettato per uno scopo specifico ma tutti sotto la categoria generale del controllo personale e dell'uso dei vari aspetti dell'energia universale. (Questi movimenti sono descritti in dettaglio nell'Appendice A.)

Durante la prima esperienza, il capo della squadra mi disse che c'era un intenso campo energetico vicino al suolo. Potevo percepire/sentire questa energia sopra la superficie del terreno durante l'esperienza, e da allora ho dimostrato che posso percepirne il livello anche da sveglio. Questo campo energetico è verde, alto 6-18 pollici, e scorre in onde da sud a nord. Le onde hanno enormi quantità di energia.

3.5.1 Test iniziali con chiaroveggenti

Nell'agosto del 1995, ho condotto test con chiaroveggenti e chiaroveggenti (sensibili) per ottenere maggiori informazioni per corroborare la mia esperienza; vale a dire, esiste un qualche tipo di campo energetico vicino alla terra e quali sono le sue caratteristiche? Questi primi test sono stati condotti senza raccontare ai sensitivi della mia esperienza o del campo energetico. È stato chiesto loro di esaminare i livelli di energia più alti/fini vicino alla superficie terrestre e determinare cosa potevano percepire/vedere.

I risultati dei test con i sensibili sono i seguenti:

- C'è un campo energetico di colore verde mela sulla superficie della terra con onde che attraversano questo campo energetico.

Il colore dell'energia era vicino al colore di una mela Granny Smith. I chiaroveggenti dicevano che l'energia verde era difficile da vedere in condizioni di luce intensa ma piacevole da sentire.

• L'energia varia da 6 a 36 pollici di altezza sopra la superficie terrestre.

• Le onde si muovono da sud a nord.

• Le creste delle onde sono distanti 15 - 18 pollici e il picco delle onde era di circa 4 - 5 pollici di ampiezza. Le onde vanno avanti per una piccola distanza di 3 o 4 piedi e poi si frantumano in una serie di onde più corte (cioè di frequenza più alta) con la stessa ampiezza. Potrebbero esserci interruzioni nel flusso tra le onde più grandi e quelle più piccole, ma ciò non è stato verificato.

• Il rilevamento visivo era più facile la mattina presto all'alba*o*poco prima del tramonto la sera.

• I chiarosenzienti non hanno avuto difficoltà a percepire il livello dell'energia.

• C'è un'enorme quantità di energia nelle onde e l'energia si sta effettivamente muovendo come l'energia si muove in un'onda oceanica.

• Le condizioni meteorologiche come il vento non influenzano il flusso di energia verde.

• Il campo energetico verde non è lo stesso delle griglie terrestri.

Dopo i test con i sensitivi per percepire il campo di energia verde, li informai del movimento di scavo che mi era stato mostrato. I test visivi (cioè chiaroveggenti) dopo aver dimostrato il movimento Scoop hanno mostrato che la mia aura passava da un livello di energia normale a una luce bianca brillante che si irradiava attraverso tutto il mio campo aurico e formava un ovoide di luce bianca intorno a me spesso circa 4 piedi attorno al mio corpo fisico.

In tutta la mia ricerca, non mi sono mai imbattuto in alcuna descrizione di un campo fluente di energia verde sulla superficie della terra. L'energia verde va da un minimo di 6 pollici a un massimo di tre piedi sopra la superficie terrestre a seconda dell'ora del giorno e delle condizioni ambientali locali. Il fatto che il campo vada da sud a nord indica una possibile connessione magnetica o polare con l'energia verde.

3.5.2 Test di trasmissibilità delle sostanze all'energia verde

Ero interessato alla trasmissibilità di varie sostanze all'energia verde eterica. La ricerca sull'energia orgonica del Dr. Wilhelm Reich ha portato al fatto che i metalli e il materiale naturale conducono l'orgone in modo diverso. Sono stati condotti esperimenti con sensibili per determinare quanto vari

materiali c il
analisi sono

è molto mostrare
quello pyram cancellare
insieme a esso. Gi aspetto
di eterico e

campo.

Material	Conductivity to Green Energy
rocks	Goes through as if not there
glass (lead crystal)	Goes through w/ slight resistance, almost a trepidation
PVC pipe	Did not pass through at all
pyramids (cardboard and copper)	Circulated through pyramids and did not interact with the pyramids
person	Disturbed the energy and moves around legs and feet and hugs onto them in an almost loving manner
wood	Goes through as if not there

Tabella 3.5.2-1 Trasmissione di energia verde attraverso vari Materiali

Uno degli aspetti più interessanti della trasmissibilità è il fatto che il campo di energia verde non passa attraverso la plastica. Per qualche ragione, non solo l'energia verde non passa attraverso la plastica, ma abbiamo scoperto che l'aura di una persona non passa attraverso la plastica. Collegato a questo è il fatto che i tessuti sintetici bloccano il flusso dell'aura di una persona mentre i tessuti naturali passano o conducono prontamente le energie auriche.

I materiali naturali per l'abbigliamento, come il cotone, la seta, la lana e il cuoio, conducono tutti prontamente energie auriche e altre energie eteriche. Tessuti come il poliestere e gli acrilici bloccano tutti i flussi eterici. Per questo motivo, raccomando alle persone di smettere di indossare indumenti realizzati con questi materiali sintetici poiché ostacolano i flussi di energia naturale attorno a una persona che li indossa. È anche bene usare lenzuola, indumenti per la notte e copriletti realizzati solo con tessuti naturali come cotone, lino, lana e seta.

3.5.3 La Griglia Energetica Eterica della Terra

Le discussioni con Niena questa mattina mi hanno ricordato alcuni dei primi lavori (cioè intorno al 1968) sulla free energy. Niena ha visto in diverse occasioni una matrice di energia che la circondava. È una matrice cubica 3-D con piccoli punti di luce a meno di un pollice di distanza in file parallele e piani paralleli, che formano una griglia di energia tridimensionale. Questo indica una griglia di energia che copre la terra come scritto dai rabdomanti e da Bruce Cathie. Probabilmente è causato da onde stazionarie nel campo eterico con una lunghezza d'onda pari alla distanza tra i punti. Ciò potrebbe indicare un meccanismo per toccare il campo con un dispositivo di alimentazione della forma. Bruce Cathie afferma di aver scoperto una griglia terrestre su cui gli UFO viaggiano (cioè, gli UFO viaggiano su linee di griglia). Il capitolo 7 discute gli esperimenti con la centrifuga di Joe Parr relativi alle griglie energetiche galattiche. Joe ha ottenuto i migliori risultati in alcuni punti del laboratorio e ha postulato la possibilità che una linea della griglia terrestre attraversasse il suo laboratorio. Quando il rabdomante di fama mondiale, Bill Cox, ha esaminato il laboratorio di Joe, ha detto che l'esperimento di Joe era proprio su una linea di griglia importante.

3.6 Esercizi di Pranayama, Chi Gung e Tai Chi

Gli yogi dell'Estremo Oriente, così come quelli del mondo occidentale che ne hanno appreso le tecniche, hanno sviluppato la respirazione e le posture (esercizi) che consentono a una persona di apprendere il controllo totale di tutte le funzioni corporee e portare il corpo in uno stato di perfetta Salute. Questi esercizi sono progettati per caricare il corpo con l'energia che gli indù chiamano prana, la loro parola per energia universale. Gli esercizi di respirazione sono genericamente chiamati "pranayama" che significano piccoli esercizi di prana. Le fantastiche imprese degli yogi avanzati sono ben documentate. Queste imprese sono tutte il risultato dell'apprendimento del controllo del prana.

Gli esercizi di Chi Gung sono anche progettati per consentire a una persona di padroneggiare le forze del chi sia per la salute che per la protezione (cioè le arti marziali). I maestri di Chi Gung sono in grado di esercitare un notevole controllo sui loro corpi ed eliminare condizioni di malattia molto gravi e ricostruire il corpo in una salute totale e vibrante.

I cinesi hanno sviluppato numerosi esercizi che consentono a una persona di controllare il proprio chi (anche Ki) o energia vitale. I movimenti del Tai Chi sono progettati per aumentare il chi di una persona e dare a una persona il controllo su questa energia. I maestri di arti coniugali molto avanzati sono in grado di usare il loro controllo delle forze chi per proteggersi dagli attacchi degli avversari.

3.7 Feng-Shui, un metodo cinese di controllo del Chi

Il Feng-Shui è sia un'arte che un metodo per comprendere la natura e l'universo. L'analisi dell'arte cinese del Feng-Shui mostra che ha meccanismi per controllare il chi o la forza eterica utilizzando la forma, la posizione, il paesaggio e il posizionamento degli oggetti per massimizzare o minimizzare il chi locale o le forze eteriche. I maestri di Feng-Shui, esperti nell'arte, sono in grado di utilizzare le sue regole così come usare la divinazione per ottenere il massimo controllo delle situazioni, massimizzare la salute, influenzare la longevità, proteggere case e aziende da forze ed eventi negativi, ecc.

Il Feng-Shui si basa su 1) "Li" tradotto approssimativamente come le leggi della natura, 2) "Su" o le proporzioni numeriche della natura, 3) il respiro della natura, lo yin e lo yang, il drago e la tigre, o le energie positive e negative, e 4) l'aspetto e le forme della natura. È in quest'ultimo aspetto del Feng-Shui che vediamo come la forma e la forma sono viste e utilizzate nel Feng-Shui per controllare il chi.

Se l'interesse del lettore è stuzzicato da questa breve spiegazione, consiglierei di leggere alcuni dei libri elencati nella bibliografia per una comprensione più completa di questa antica arte. Le sue numerose regole e meccanismi euristici sono troppo estesi per essere inclusi qui.

3.8 Riassunto delle Energie della Terra

C'è ovviamente molto che non sappiamo del nostro ambiente naturale. Griglie energetiche, flussi eterici, centri di potere, zone geopatiche e flussi di energia verde sono tutte varie manifestazioni delle forze eteriche e della loro interazione con l'ambiente e con noi. Il tema di come i diversi materiali interagiscono con queste forze naturali emerge più e più volte nelle ricerche condotte dagli scienziati che studiano il nostro meraviglioso universo. Sta anche diventando ovvio che molti dei materiali e delle tecnologie che abbiamo sviluppato non sono in armonia con il modo in cui operano queste forze naturali. Molti materiali sintetici bloccano il flusso delle forze naturali e ci isolano dai loro aspetti salutari.

Questo porta ad un'altra area di ricerca da perseguire; vale a dire, il fatto che le forze eteriche interagiscono in modo diverso con materiali diversi porterà a invenzioni che utilizzano la combinazione di questi effetti.

È altamente significativo che possiamo fare esercizi, stabilire la nostra residenza in luoghi adeguati e adattare il nostro abbigliamento, la casa e l'ambiente di lavoro per migliorare il nostro assorbimento di queste forze ed energie naturali.

3.9 Bibliografia

1. Crocep Cerchi: precursori del cambiamento mondiale . Alick Bartholomeu, Gateway, Bathe, Regno Unito, 1991.

2.Feng-Shui la Scienza di Paesaggio Sacro in Old Cina . Ernest J. Eitel, Synergetic Press, Tucson, Arizona, 1984.

4.Design d'interni con Feng-Shui . Sarah Rossbach, EP Dutton, una divisione di NAL Penguin Inc, 2 Park Avenue, New York, NY

5.L'alba dietro l'alba: alla ricerca del paradiso terrestre Geoffrey Ashe, New York: un libro di John Macrae, Henry Holt and Company, 1992

6.Una ricerca per l'inizio e la fine . Graham Hancock, Gerald Hawkins, New York: A Delta Book, 1965.

7.Divinazione, il senso primario . Herbert Weaver, Routledge & Kegan Paul Ltd., 39 Store Street, Londra WC1E 7DD, 1978.

CAPITOLO 4

ENERGIA DELLA PIRAMIDE

4.1 Introduzione alla Piramide

Le piramidi in Egitto sono una delle sette meraviglie del mondo antico e l'unica rimasta in piedi. Ci sono un certo numero di piramidi in Egitto così come in altre parti del mondo. La maggior parte di esse sono piramidi a gradoni costituite da strati successivi di qualche materiale da costruzione, solitamente pietra. Le tre più conosciute sono le tre piramidi sull'altopiano di Giza appena fuori dal Cairo. Di questi, la Grande Piramide è stata studiata e analizzata di più e su di essa è stata svolta una quantità impressionante di ricerche. In apparenza, la grande piramide è un'altra piramide a gradoni; tuttavia, un tempo era ricoperto di calcare bianco per formare una superficie liscia e concava su ciascuno dei suoi quattro lati. Quando la piramide fu creata per la prima volta, il materiale di base della grande piramide era il granito con un involucro di calcare bianco.

La Tabella 4.1-1 riassume alcuni fatti molto interessanti sulla grande piramide. La grande piramide è un'anomalia nel tempo e nello spazio, poiché incarna fatti scientifici scoperti solo molte migliaia di anni dopo la sua prima costruzione.

Feature	Value	Great Pyramid feature	Description
Weight of earth	5.3 X 10^9 tons	Weight of great pyramid is 5,300,000,000 tons or 15 orders of magnitude of the earth's weight	Estimated weight of the earth in tons
Sidereal year	365.2564 days	Designer's base circuit of pyramid in pyramid inches	Astronomical time in days between two sightings of the same star before and after the earth's orbit around the sun.
Anomalistic year	365.2599 days	True base plan design of pyramid.	Astronomical time in days of the earth's orbit around the sun.
Solar year	365.24 days	Length of each true base side is based on the sacred Hebrew cubit.	Succession in days from one autumnal equinox to next
Processional cycle	Approximately 27,000 years	Great pyramid gives all processional rates for 6,000 years while modern astronomy knows them for only 400 years	Time to precess the equinoxes
Pi	3.1415...	Repeated in many places throughout the great pyramid	Ratio of circumference of a circle to its diameter
Sun's distance to earth (average)	92,900,000 miles	After some computation built into great pyramid as 92,996,085 miles	Average distance of earth to sun during its yearly orbit
Location	Giza Plateau in Egypt	Geocentric center of earth's land mass	Control location with respect to rest of the earth's land mass.
Masonry accuracy	1/100 inch	Gigantic 10-30 ton granite blocks placed accurately to within 0.01 inch.	Accuracy of placement of gigantic granite stones
Phi	(1+SQRT(5))/2	Great Pyramid has a base to height ratio	Phi is a naturally occuring number in geometry and other branches of mathematics

Tabella 4.1-1 Alcuni fatti interessanti sulla Grande Piramide

4.2 La Grande Piramide NON era una tomba

La grande piramide non fu mai costruita o usata come tomba per qualche sovrano egiziano o per chiunque altro. Nella piramide non è mai stato trovato nulla che assomigli a tombe egizie. La piramide è stata costruita con passaggi d'aria, nessuna tomba o altra piramide è stata costruita con passaggi d'aria per far respirare i morti. Il tappo di granito, un blocco lungo 15 piedi, che si trovava all'inizio del passaggio ascendente, fu posto lì quando la costruzione raggiunse quel livello.

La speculazione abbonda sulla vera funzione della grande piramide. Gli egittologi ortodossi si aggrappano alla convinzione che la grande piramide fosse usata come tomba per Cheope, il re egiziano durante il cui regno si supponeva che la piramide fosse stata costruita. La Società dei Rosacroce ritiene che la piramide fosse usata come camera di iniziazione per testare adepti avanzati. Alcuni credono che sia un faro interstellare per guidare veicoli spaziali alieni sul pianeta terra. Qualunque cosa sia la grande piramide, NON è una tomba né lo è mai stata. Come minimo, è una testimonianza che la tecnologia avanzata esisteva sulla terra, rivaleggiando con la nostra, oltre 6000 anni fa. Un recente caso di prova condotto da scienziati giapponesi per duplicare lo sforzo con la moderna tecnologia di costruzione e l'ingegneria è fallito.

4.3 Relazione matematica della Grande Piramide

La Grande Piramide ha un rapporto tra la base e l'altezza di 2 su SQRT(Phi - fi), dove Phi è il rapporto aureo ed è uguale a (1+SQRT(5))/2. Phi è un numero trascendentale in quanto è un decimale non terminante. Per questo Phi, dal punto di vista della risonanza, avrebbe un numero infinito di punti di risonanza armonica. La risonanza è un fattore chiave in tutte le aree della fisica, inclusa la fisica nucleare, la meccanica quantistica, l'ingegneria elettrica, la progettazione di antenne, ecc. Phi è anche correlato alla serie di Fibonacci in cui ogni numero successivo è formato dalla formula Ni+1 = Ni + Ni -1. Ad esempio, se il primo numero iniziale è un 1, la serie di Fibonacci è:

1,2,3,5,8,13, 21, ecc.

Se prendiamo il limite matematico sul rapporto di Ni+1/Ni allora quel rapporto è Phi.

La filatassi è la tendenza dei processi di crescita in natura (ad esempio piante e conchiglie) a crescere secondo schemi a spirale. È stato osservato che foglie e rami delle piante crescono a spirale dove il rapporto tra la quantità di rotazione da un ramo all'altro forma una serie di Fibonacci e quindi Phi. Quindi vediamo che la grande piramide è stata progettata per essere in risonanza con le forze naturali della natura.

4.4 Pira

Probabilmente
una piramide
e 197
un di grandi dimensioni
pubblicato
energico

bilità di
1960
d abbastanza
S era
interessante

Feature	Pyramid Energy Effect
Preserves Food	Experiments showed that foods would last longer while place inside a pyramid shape.
Enhances Meditation	Habitual meditators claim that meditation in a pyramid shape enhances the meditation process and one can achieve heightened psychological effects.
Promotes Healing	Wounds of people and animals appear to heal faster and with fewer problems when the subject is treated in a pyramid shape.
Only pyramid shape is required	Extensive experiments have shown that only the outline (i.e., the edges) of the pyramid are necessary to get the pyramid energy effects.
Generates static electricity	Experiments both at the great pyramid and here in the USA indicate that the pyramid may be some sort of generator of static electricity. This effect seems most pronounced for very large pyramids so it may be strictly an electrostatic effect of a tall object picking up some earth ES effect due to height.

Tabella 4.4-1 Effetti energetici della piramide

Di tutti gli effetti interessanti di cui sopra, il più profondo è il fatto che tutti gli effetti energetici piramidali possono essere generati solo con il minimo dei contorni della forma piramidale stessa. In effetti, la ricerca ha dimostrato che è necessaria una certa quantità di spazio aperto ai lati e alla base della piramide per potenziare gli effetti energetici. I massimi effetti energetici si ottengono solo con il telaio aperto. I libri della bibliografia alla fine di questo capitolo contengono una ricchezza di informazioni sui vari aspetti della piramide. Molti ricercatori si sono interessati all'energia piramidale e hanno approfondito la comprensione degli effetti associati all'energia piramidale. Uno dei più noti di questi ricercatori era Patrick Flannigan[5,6]che ha sviluppato la strumentazione per testare gli effetti dell'energia piramidale.

4.5 Sommario della ricerca sull'energia piramidale

In alcuni dei miei esperimenti durante gli anni '60, ho dimostrato che le forme piramidali sembrano generare un'energia elettrostatica o almeno raccogliere una carica elettrostatica. In esperimenti più recenti negli anni '90, ho dimostrato

che una piccola piramide di rame fatta di lastre di rame accumula una leggera carica. La massima generazione di carica sembra essere quando allineata nord-sud/est-ovest. Io teorizzo che la forma piramidale interagisca con il flusso di etere est-ovest e il campo magnetico nord-sud, risultando in un'azione di vortice sui lati della piramide che culmina nella produzione di elettroni, come nell'esperimento di Les Brown descritto in una sezione successiva. Devono essere prese più misurazioni per verificare la velocità di generazione, ecc. La misurazione del campo ES avviene con il mio misuratore di campo ES. È a bassa potenza, più o meno come passare un pettine tra i capelli e la piramide impiega circa 30 secondi per formarsi.

Esperimenti con alcune delle mie piramidi da due pollici fatte di plastica e anche una grande di cartone e una più piccola di foglio di rame hanno prodotto alcune informazioni corroboranti. La maggior parte dei seguenti punti è stata elaborata molti anni fa e i test con i chiaroveggenti si correlano precisamente con tutte le ricerche che io e altri abbiamo fatto sull'energia piramidale. Tuttavia, alcuni nuovi effetti di potere di forma spuntano qui.

1. L'energia scorre lungo i lati della piramide e fuoriesce dal vertice come un pilastro di luce a spirale.

2. La massima energia fuori dal picco si ottiene quando le facce opposte della piramide sono orientate in direzione nord-sud.

3. Un magnete su ciascun lato della piramide intensifica notevolmente il campo al di fuori della cima della piramide. I magneti devono essere allineati in modo che il campo attraverso la piramide attragga (cioè NS - SN). Il prodotto piramidale che ho progettato molti anni fa aveva piccoli magneti incorporati nelle piramidi per rendere più forte il campo energetico.

4. Una piramide di rame funziona molto meglio delle piramidi di plastica o cartone. Sapevamo che i materiali erano importanti ma non quali materiali. Una singola piramide di rame allineata al campo magnetico terrestre equivale a una piramide di plastica con magneti su ogni lato per intensificare il campo. La massima raccolta di energia si verifica quando la piramide e i magneti sono allineati con il campo magnetico terrestre. Ciò significa che la piramide di rame è diverse migliaia di volte più potente nel focalizzare la forza eterica rispetto a una piramide fatta di materiali dielettrici.

5. Le piramidi disegnate su carta o lavagna (cioè disegni 2D di piramidi 3D) hanno la stessa energia della versione 3D. Questo potrebbe essere un trucco della visione in quanto lo spettatore sta visualizzando un oggetto 3D. La visualizzazione, come Niena e io abbiamo scoperto molti anni fa, delle piramidi concentrerà l'energia come se la piramide fosse fisicamente lì. Visualizzare una forma piramidale su una località focalizza effettivamente le energie piramidali in quella località.

6. Dipingere un paio di piramidi di plastica con vernice di alluminio non ha modificato la quantità di energia proveniente dalle piramidi. Esso

was thought that metalizing the surface would help the energy production since the copper pyramid seemed more energetic than the plastic ones. Perhaps the paint color should have been copper with copper particles in the paint.

7. The pyramid shape generates a magnetic field due to the sides meeting at points at the top and corners. See chapter 1 of this book.

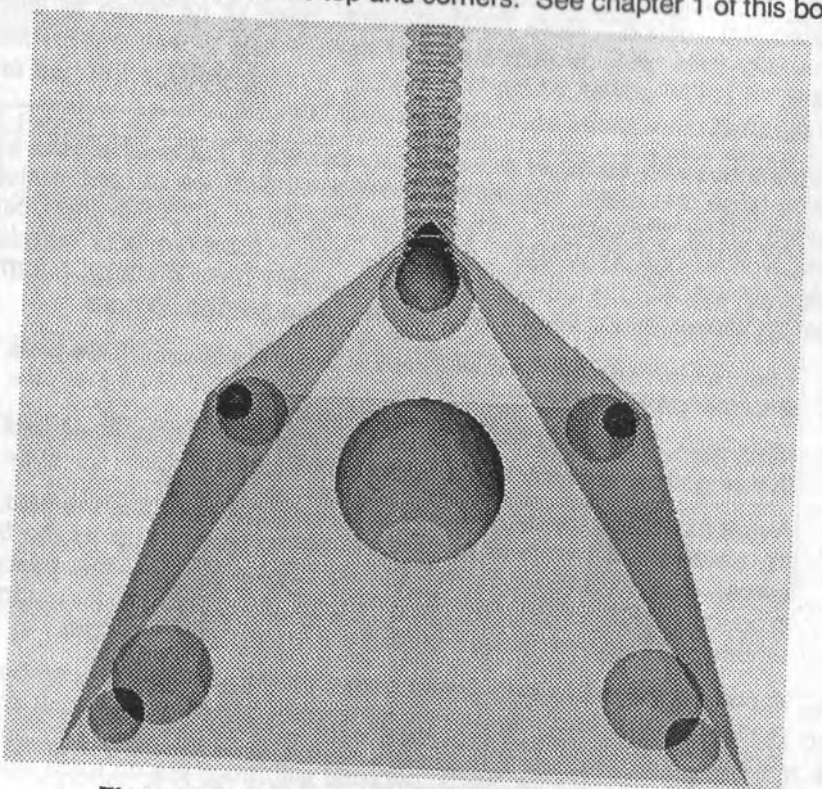


Figure 4.5-1 Pyramid Energy Concentrations.

4.6 Copper Pyramids Experiment

I built four copper pyramids from some sheet copper. The pyramids are two inches at the base and the sides are equilateral triangles. The pyramids are placed to form a square array of two rows and two columns which is aligned with the earth's magnetic field. Neodymium magnets are placed on opposite ends of the array and the array and magnets are aligned with the earth's magnetic field. As a comparison, I also laid out four plastic pyramids in a similar array. Both sets of pyramid arrays were set on the ground outside the laboratory so they would be in the energy field that flows over the earth's surface.

Sono stati fatti dei test per scoprire cosa stava succedendo con i campi di energia attorno agli array piramidali. I risultati hanno mostrato che l'array di rame ha molta più energia irradiata da esso rispetto all'array di plastica. Anche con i magneti sulla matrice di plastica e nessuno sulla matrice di rame, le piramidi di rame avevano più energia.

Nella matrice di rame, l'energia era concentrata al di fuori delle cime delle piramidi e tra le piramidi in direzione nord-sud.

Da tutto ciò possiamo dedurre che i metalli (cioè i conduttori), in generale, deviano e focalizzano l'energia piramidale e i non conduttori come la plastica assorbono e conducono l'energia. Simili effetti materiali sono discussi nel capitolo 3 sull'energia orgonica. L'energia della piramide aumenta quando l'array si trova all'interno di un campo magnetico e più forte è il campo, più energia viene convertita. Ciò richiede che l'intero array compresi i magneti sia allineato rispetto a nord-sud/est-ovest e al campo magnetico terrestre.

4.7 Generazione di energia elettrostatica

Nel corso degli anni, una serie di esperimenti e osservazioni hanno dimostrato che la piramide sembra essere un generatore di energia elettrostatica. Questo probabilmente significa che la piramide è un convertitore di energia eterica direttamente in energia elettrica; tuttavia, quando ci si rende conto che i campi elettrostatici sono il risultato di differenti concentrazioni di energia eterica, allora questo non è così sorprendente.

4.7.1 L'esperienza scioccante di Les Brown

Un video in mio possesso del defunto ricercatore canadese di cristalli, Les Brown, racconta di un'enorme carica di energia che ha ottenuto da una grande piramide di 30 piedi che ha costruito (Vedi figura 4.7.1-1). Ha messo un filo di rame (con le estremità sfilacciate) in senso antiorario (CCW), a forma di vortice, nella parte superiore, all'interno, della sua grande piramide di 30 piedi per fungere da antenna/ collettore. Alla base della piramide ha fissato un filo a un pezzo di compensato da 1/4" avvolto in una spirale piatta in senso orario (CW) che stabilisce l'antenna di terra. Il centro della spirale del filo è stato fatto passare attraverso il compensato e messo a terra. L'estremità esterna della spirale piatta bloccata in aria in modo che potesse essere attaccata al filo di lana proveniente dall'alto. Graffette da due pollici passarono attraverso la bobina di terra e attraverso il compensato ancorando ulteriormente a terra la bobina. Dall'antenna all'apice, appose un agnello puro ' s filo di lana e lo lasciò cadere al centro della grande piramide. Quando è andato a collegare il filo alla spirale nella parte inferiore della piramide, una carica ad alto voltaggio (o qualsiasi tipo di energia con cui si era connesso) lo ha fatto cadere per sei metri sul pavimento all'interno della piramide contro il muro. Questo lo ha spaventato così tanto che ha smontato tutto e non ha fatto nient'altro.

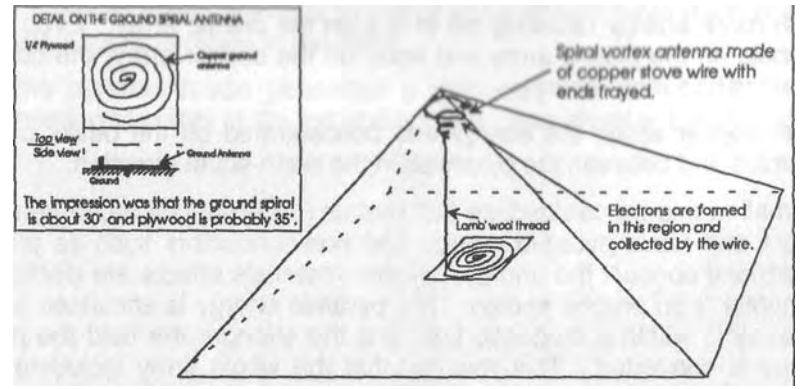


Figura 4.7.1-1 Esperimento sull'energia della piramide di Les Brown

4.7.2 Energia a spirale fuori dall'apice della piramide

Un certo numero di anni fa, Jerry Decker, eminente nuovo ricercatore scientifico, partecipò a un Crystal Symposium a Irving, in Texas, ospitato da Priscilla Boyd, ora a Hunstville. Mary e Dean Hardy di Allegan, Michigan, hanno presentato materiale sulla ricerca che stavano facendo con l'energia piramidale. Hanno mostrato una diapositiva fotografica di una piramide che emette un raggio di energia a doppia elica quando viene eccitata da una bobina di Tesla.

Un'immagine digitalizzata della foto originale, figura 4.7.2-1, è stata scattata dal Dr. JD Nelson dell'Università del Wyoming. Dalle scarse informazioni di cui disponiamo circa la sua realizzazione, la forma piramidale è realizzata in lamiera di rame saldata, eventualmente con un cristallo posto all'apice.

Una bobina di Tesia è posizionata in modo che l'emissione elettrica avvenga nel punto di potenza dei 2/3 della piramide. Non conosciamo la tensione, anche se pensiamo che sia di circa 200.000 volt. Durante una conversazione telefonica con Dean Hardy il 21 maggio 1996, disse che in seguito fecero l'esperimento con bobine di tesia molto più piccole dell'ordine di 50 KV e piramidi più piccole e i risultati furono gli stessi.

Dean pensa che la piramide sia sostenuta da colonne acriliche. Le colonne ariliche aiuterebbero a isolare la piramide di rame dal terreno e ad intensificare ulteriormente le emissioni di energia. Si noti inoltre che questa foto è stata scattata in una stanza perfettamente buia con un tempo di esposizione di circa 1-3 minuti (le nostre informazioni relative ai dettagli tecnici sono molto limitate).

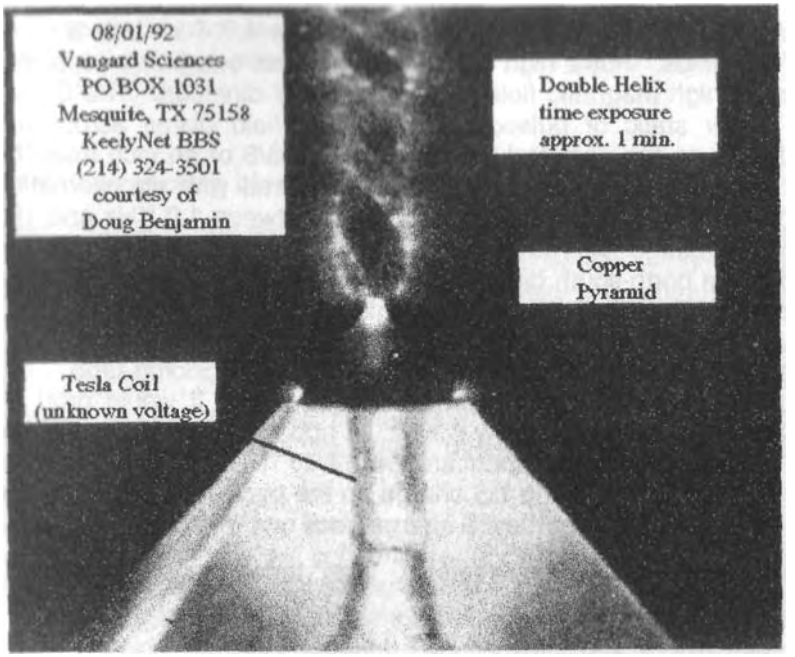


Figura 4.7.2-1 Energia a spirale fuori dalla piramide

4.7.3 Energia elettrostatica alla Grande Piramide

Quando Sir W. Siemens, un inventore britannico, era in visita in cima alla grande piramide, una guida araba notò che sembrava esserci un suono acuto quando Siemans alzò la mano sopra la testa e provò una sensazione di formicolio alle dita. . Essendo di natura inventiva, Siemans costruì una rozza giara di leida da una bottiglia di vino e un giornale che aveva con sé. Bagnò il giornale con del vino e lo avvolse attorno alla bottiglia. La bottiglia di leida improvvisata si è caricata istantaneamente di elettricità semplicemente tenendola sopra la sua testa.

Durante un viaggio in Egitto negli anni '80 per condurre dei test alla grande piramide, Joe Parr effettuò misurazioni con un voltmetro elettrostatico mentre si trovava in cima alla piramide. Joe è stato in grado di dimostrare che la piramide è un enorme generatore di energia elettrostatica, che genera molte migliaia di volt. Quando una sonda del misuratore è stata conficcata nel flusso d'aria proveniente dal lato della piramide, il voltmetro si è rapidamente fissato alla sua lettura massima. Ciò suggerirebbe che l'energia elettrostatica sia dovuta a un effetto triboelettrico per cui l'aria che sale lungo il lato della piramide raccoglie ioni a causa dell'attrito del vento sui lati della piramide.

4 . 7 . 4 P iramide statica G enerazione di potenza e lectr o statica

Un esperimento che ho eseguito è descritto nella figura 4.7.4-1. Usa una serie statica di piramidi. Metti un campo elettrico elevato su una coppia di facce opposte e un campo magnetico elevato nell'altra direzione. Il campo elettrico può essere statico o pulsato. Le piastre elettriche attraverso la piramide erano sui lati est e ovest a circa 3/8 di pollice dalla base della piramide. Le piastre sono state energizzate con un segnale di corrente/tensione alternata con un range di frequenza compreso tra 1.0 KHz e 160 KHz a

attraverso il
piramide si differenza
così io e g il Sud
viso o com fatto di
magro sh nastro. Il
ES v.o d gocciolare spento
rapidamente piramide o
l'ES Girando il
voltaggio girando il
voltaggio

Noi un sei eccitante
scoprire

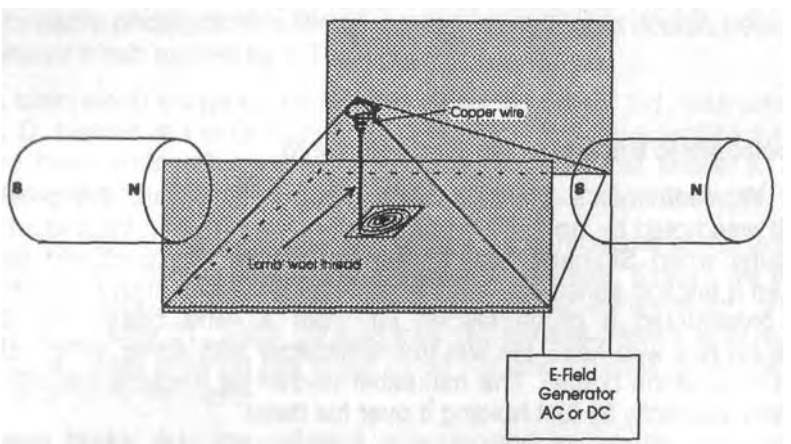


Figura 4.7.4-1 Generatore ES statico che utilizza la piramide come potenza di forma

4.8 Teoria di come viene creata l'energia della spirale piramidale

Le linee che si intersecano e i risultanti campi di forza planari dei lati creano gli effetti energetici della piramide che si traducono in una concentrazione di energia eterica all'interno della piramide. Gli effetti di essiccazione osservati con l'utilizzo di piramidi per essiccare materiali organici sono il risultato degli effetti energetici associati

energia eterica. I flussi di energia eterica naturale attraverso la terra in direzione nord-sud portano alla spiegazione del motivo per cui l'orientamento magnetico migliora gli effetti dell'energia piramidale, dal momento che il campo magnetico è un flusso di energia eterica.

4.8.1 Linee che si intersecano

Dal capitolo 1, l'esperimento che mostra come gli effetti del potere di forma vengono creati con linee che si intersecano, possiamo vedere come questo può essere applicato molto bene per spiegare perché la piramide crea un campo di energia eterica concentrato. I quattro angoli della base e l'apice sono tutti formati dalle linee intersecantisi dei lati triangolari. Questi angoli sono dove i flussi di etere si concentrano dai lati triangolari e formano flussi di energia eterica in questi punti focali. Gli effetti magnetici creati agli angoli della piramide sono stati confermati anche dai miei test di laboratorio.

Poiché tutto ciò di cui abbiamo bisogno sono linee che si intersecano per creare gradienti di energia eterica, che agiscono per concentrare e focalizzare l'energia eterica in forza eterica, questo spiega chiaramente perché una forma piramidale, fatta solo dei bordi esterni e della base per definire la piramide, funzioni così come una solida piramide. In effetti, la ricerca di Joe Parr ha dimostrato che una solida piramide deve avere dei buchi per massimizzare gli effetti energetici. Questa è anche un'altra spiegazione del perché ci sono "pozzi d'aria" nella grande piramide.

4.8.2 Forze concentrate

Le facce triangolari, anche con solo le linee e non una faccia solida, formano un campo di forza tridimensionale su ciascuna delle facce della piramide. I vortici agli angoli sono tridimensionali e attraggono energia da tutte le direzioni e la concentrano negli angoli. L'analisi matematica delle forze all'interno della piramide mostra che la risultante geometrica netta dell'attrazione simmetrica della forza da ogni angolo verso l'interno della piramide è esattamente al centro geometrico della piramide. Questo centro si trova a 1/3 dell'altezza della piramide. Chiunque abbia una conoscenza della geometria delle scuole superiori può provare questo semplice fatto.

4.8.3 Effetti dell'essiccazione

Forse la prima scoperta che ha portato a esperimenti con le piramidi è stata trovare animali morti nella Grande Piramide che si erano mummificati naturalmente e non putrefatti. Esperimenti approfonditi di molti ricercatori piramidali hanno dimostrato che la forma piramidale agisce come una forma di essiccazione

(cioè, la piramide asciuga il materiale messo nella piramide) e sembra funzionare meglio a 1/3 di altezza.

Un altro fatto sull'energia eterica è che la forza eterica concentrata è igroscopica. Ciò significa che l'energia eterica concentrata raccoglierà l'umidità. Le nuvole ne sono un perfetto esempio in quanto è stato dimostrato che è possibile dissipare le nuvole estraendo le energie eteriche dalle nuvole. È anche possibile il contrario, cioè creare nuvole concentrando la forza eterica. Reich sviluppò una macchina, discussa nel capitolo 5, chiamata cloud buster che attinge l'orgone (cioè l'etere) dalle nuvole e queste si dissipano.

In superficie, sembra che la piramide dovrebbe rendere le cose più bagnate piuttosto che asciugarle, poiché la piramide concentra l'etere. Tuttavia, gli angoli di una piramide attirano effettivamente l'etere dal centro della piramide e lo focalizzano fuori dagli angoli. Quindi vediamo che qualsiasi cosa con acqua o vapore acqueo all'interno della piramide avrebbe la sua umidità assorbita, e questo spiega facilmente gli effetti di essiccazione associati alla forma piramidale.

4.8.4 Orientamento magnetico

La prossima cosa che dobbiamo spiegare è perché l'energia della piramide è aumentata quando la piramide è orientata verso nord-sud ed est-ovest rispetto alla bussola. La sperimentazione ha dimostrato che il massimo effetto energetico della piramide si ottiene quando la piramide è così orientata. Anche se la Grande Piramide non è attualmente orientata esattamente con il campo magnetico terrestre ma più con il polo nord (cioè, il nord vero rispetto al nord magnetico che di solito è diverso), la speculazione è che un tempo la Grande Piramide fosse orientata geomagneticamente , ma il campo magnetico terrestreè cambiato ed o la terra si è spostata sul suo asse per causare una differenza di allineamento del campo magnetico.

In un orientamento nord/sud della bussola ci sarebbe un flusso di etere attraverso la piramide in tre direzioni. Il campo magnetico è un flusso vorticoso di etere da sud a nord. La terra sta ruotando sul suo asse, quindi c'è un leggero spostamento (flusso) di etere da ovest a est. Quando questi due flussi si incontrano alla piramide, l'etere fluirà intorno alla piramide in senso antiorario (guardando verso il basso sulla piramide) con una spinta verso l'alto dovuta all'arresto della piramide Il terzo flusso è un flusso/ pressione dell'etere dall'alto giù nella terra. Quando questo flusso colpisce il flusso rotante antiorario, viene creata un'azione di vortice che potrebbe creare vortici toroidali nell'etere. Queste diventerebbero automaticamente particelle semplici e molto probabilmente sarebbero elettroni. La Figura 4.8.4-1 mostra i flussi eterici che agiscono attraverso una piramide orientata magneticamente.

la fine degli anni 1890. Inoltre, vedi la matematica di Paul Stowe nel capitolo 8 per la prova di questa affermazione.

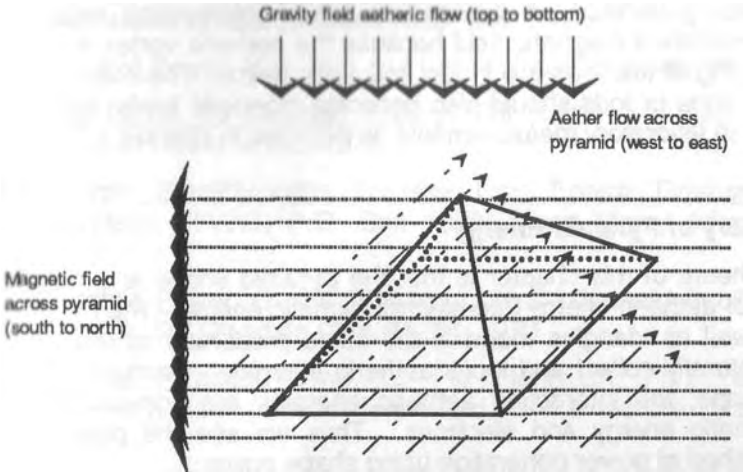


Figura 4.8.4-1 Flussi eterici che agiscono su un campo magnetico Piramide orientata

Quindi ora abbiamo un metodo per spiegare come si formano gli elettroni e perché la piramide fungerebbe da generatore di carica.

4.8.5 Generazione Magnetica

Forse uno degli enigmi più misteriosi associati alle forme piramidali è la capacità della piramide di generare un campo magnetico. Nel libro di Bill Kerrell e Kathy Groggin,La guida all'energia piramidale [3], discutono di alcuni esperimenti davvero unici con forme piramidali. Avevano alcuni ingegneri con misuratori di gauss molto sensibili che misuravano i campi magnetici dentro e intorno alle piramidi. La loro scoperta fondamentale è stata che la piramide genera effettivamente un debole campo magnetico che aumenta man mano che la piramide è orientata verso il campo magnetico terrestre. Questo effetto di generazione magnetica era anche indipendente dal materiale di cui era composta la piramide. L'effetto potrebbe essere spiegato con piramidi di metallo; tuttavia, con i materiali dielettrici questo effetto non si adatta a nessuna spiegazione della fisica standard.

Come descritto nel capitolo 1, è stato provato un semplice esperimento per verificare l'ipotesi che le aste intersecanti generassero un campo magnetico ed elettrostatico. Questi risultati sono illustrati nella figura 1.4.5-1.

Questo effetto della piramide essendo un vero e proprio generatore di un campo magnetico è molto spiegabile con la mia scoperta che le linee che si intersecano generano un vortice fluente di energia eterica. Il campo magnetico di un permanente

il magnete è anche un vortice fluente di energia eterica come discusso nel capitolo 1 di questo libro.

QED - Ergo - Eureka! Una piramide di un insieme di aste che si intersecano genererà quindi un campo magnetico perché i flussi di vortice eterico all'intersezione delle linee sono in realtà campi magnetici. Ciò significa che anche le linee o le aste che si intersecano dovrebbero generare campi magnetici, e questo è stato dimostrato nelle misurazioni di laboratorio illustrate nel capitolo 1.

4.9 Riepilogo di Pyramid Energy

Il tema principale di questo capitolo è che la forma piramidale è un trasduttore naturale di energia eterica in energia elettromagnetica. La forma piramidale, così come i triangoli realizzati nella stessa proporzione della grande piramide, raccolgono e focalizzano naturalmente le energie eteriche. A causa della forma piramidale; le energie eteriche interagenti vengono convertite in energia elettromagnetica ed elettroni. Così vediamo il percorso verso un possibile metodo di generazione di energia usando il potere della forma.

4.10 Bibliografia

1.La Grande Piramide. Il suo messaggio divino, D. Davidson e H. Aldersmith, Londra, William Rider and Son Ltd., 1924.

2 Potere piramidale . Max Toth e Greg Nielson, Freeway Press, 1974.

3.La guida all'energia piramidale . Bill Kerrel e Kathy Gorggin, Piramide Potenza V, Inc, 1975.

4.Energia: innovazioni per nuovi dispositivi a energia libera . David A. Dan, RIVAS, casella postale 1090, Sierra Vista, Arizona 85636, 1977.

5.Potere piramidale . G. Pat Flannigan, Ph.D, Pyramid Publishers, 438 Cypress St., Glendale California 91204,1973.

6.Oltre il potere piramidale . G. Pat Flannigan, Ph.D, DeVorss & Company, 1641 Lincoln Boulevard, Santa Monica, California 90404, 1975.

7.I segreti della Grande Piamide . Peter Thompkins, Harper & Row, Editori, New York, 1971.

8.La Grande Piramide Prova Di Dio . George R. Riffert, Destiny Publishers, Merrimac, Mass., 1932.

9.Il potere segreto delle piramidi . Bill Schul e Ed Pettit, Fawcett Gold Medal Book, 1975.

10.Il potere psichico delle piramidi . Bill Schul e Ed Pettit, Fawcett Gold Medal Book, 1976.

11.Energia piramidale e come funziona . James Wyckoff, Zebra Books, Kensington Publishing Corp., 1976.

CAPITOLO 5

FORMA FORZA E "GEOMETRIA SACRA"

Questo capitolo esamina un concetto che è diventato popolare nei circoli metafisici moderni, la geometria sacra, che è l'implicazione che esistono schemi geometrici che sono legati al fondamento della vita e dell'esistenza, della creazione, di Dio. Verrà esaminata la rilevanza della geometria sacra per Shape Power.

5.1 Geometria Sacra

Il concetto di Shape Power come generatori naturali, focolai di energie di ordine superiore e trasduttori di quell'energia in energie più riconoscibili come l'elettricità e il magnetismo afferma essenzialmente la stessa cosa della precedente definizione di "geometria sacra".

Sia che tu attribuisca un significato mistico a schemi geometrici sulla base di fede, intuizione, magia simbolica o risultati osservati o lo dimostri in laboratorio con esperimenti e rigorose procedure "scientifiche", non hai cambiato nulla tranne la semantica per quanto riguarda il risultato finale . Entrambi attingono energia usando principi geometrici naturali che esistono nell'ordine naturale dell'universo. Questi principi ci rivelano il sacro fondamento di tutte le cose create.

Come matematico e fisico, evito di descrivere le figure geometriche come "sacre". Essendo profondamente coinvolto nella metafisica, capisco da dove vengano coloro che abbracciano il termine "geometria sacra". Tuttavia, man mano che si viene coinvolti più profondamente nella comprensione di come funziona l'universo, e in particolare, come le forme geometriche risuonano e generano potere, la visione enigmatica secondo cui i simboli geometrici sono fonti di potere inconoscibili o incomprensibili è una visione infantile. Un vero mistico crede che lui/lei

può conoscere la causa e l'effetto delle cose poiché ogni persona è una parte del Tutto, una scintilla dello Spirito Santo di Dio, e attraverso la meditazione e la contemplazione può raggiungere una vera comprensione dell'universo e della sua funzione e operazione.

Coloro che usano il termine "geometria sacra" lo applicano sia alle figure geometriche che più attribuirebbero alla geometria normale sia a certi concetti matematici che sarebbe meglio definire "matematica sacra". Questi sono descritti nelle sezioni seguenti e relativi alla fisica di Shape Power scoperta durante le mie ricerche e i miei esperimenti.

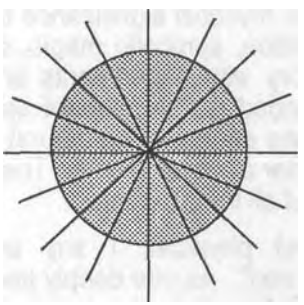
5.2 Figure geometriche della geometria sacra

5.2.1 Un Punto

In quanto concetto geometrico, il punto esiste come definizione e concetto base. Come fisico r s non esiste, poiché è una costrutto mentale e, per lunghezza, larghezza, né ampiezza, ergo non esiste a

Tuttavia, il punto è il centro e centro del cerchio, il della sfera, possiamo vedere la messa a fuoco all'infinito. che un punto, dimensione. Quindi mension, è la base di tutto

Dai capitoli 1 e 2, più semplice costrutto fisico per agire come un "punto", dal livello macro, sarebbe una singola particella atomica che funge sia da ricevitore centrale che da irradiatore di forza eterica. Da un livello micro (cioè a livello atomico), anche la particella atomica più semplice ha forma e struttura. La Figura 5.2.1-1 mostra i flussi vorticosi di un atomo complesso.



Un atomo complesso con molti ordini di eterico
flussi di stress vorticoso (linee).
Un semplice atomo come l'idrogeno avrebbe

Figura 5.2.1-1. Sezione trasversale dei flussi di stress del vortice del complesso Atomo

Tradotto dal Inglese al Italiano - www.onlinedoctranslator.com

5.2.2 A Circ

Il cerchio, è Usato
simbolicamente cerniere, il
icona di base a messa a fuoco
i primordi

Test arguzia lui cerchio
potevo essere m del
cerchio. così pe Potenza
di il rettore) e
il manifattura vern il
Quantità di epici il
forma il modello di potenza di un cerchio.

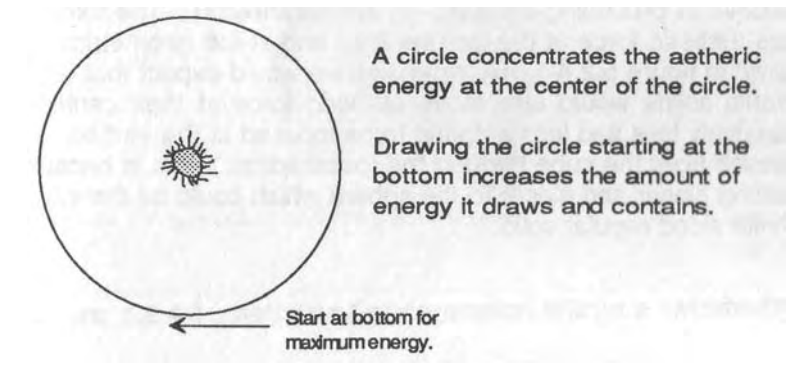


Figura 5.2.2-1. Potere di forma di un cerchio

5.2.3 Una sfera

Alcuni credono che la sfera sia la più perfetta delle forme. È il simbolo per eccellenza dell'unità. Dal punto di vista del Potere Forma, la sfera è semplicemente una versione tridimensionale del cerchio, per cui gli atomi della sfera agiscono come radiatori di forza eterica, e tutti i punti della sfera si focalizzano al centro della sfera creando un intenso fuoco di forza eterica al centro.

5.2.4 SOLIDI PLATONICI

La base per l'organizzazione della materia fisica nel regno minerale sono i 5 solidi platonici. Questi sono legati ai 5 livelli di energia come previsto dagli antichi greci. Questi sono:

1. Tetraedro: si riferisce al fuoco

2. Cubo o (Esaedro) - si riferisce alla terra
3. Ottaedro - si riferisce all'aria
4. Dodecaedro - relativo allo spirito o all'eterico
5. Icosaedro - si riferisce all'acqua

Queste figure tridimensionali sono la base di cristalli e minerali. Questi sono gli unici cinque poliedri regolari, come si può dimostrare in geometria, e sono costituiti da poligoni equilateri ed equiangoli. Il concetto geometrico di duali mette in relazione i poliedri, per cui il duale di uno viene creato collegando i punti medi delle facce dell'altro. Il tetraedro, il più semplice dei poliedri tridimensionali, è un duale a se stesso. Il cubo e l'ottaedro sono duali l'uno dell'altro così come l'icosaedro e il dodecaedro.

L'unico solido platonico che abbiamo finora esaminato, dal punto di vista del potere di forma nei capitoli precedenti, è il tetraedro. Il tetraedro concentra la forza eterica nei quattro vertici e nel centro geometrico come mostrato nella figura 5.2.4-1. Per estensione ci aspetteremmo che anche gli altri 4 solidi platonici concentrino la forza eterica nei loro centri con una forza eterica progressivamente sempre meno focalizzata sui vertici man mano che si procede dal cubo attraverso l'icosaedro. Questo perché ci stiamo avvicinando sempre di più alla sfera che potrebbe essere pensata come un solido regolare con lati infiniti.

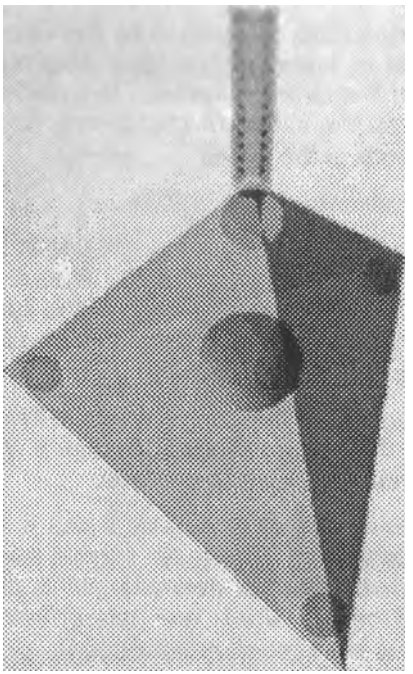


Figura 5.2.4-1. Concentrazione eterica all'interno di un tetraedro

5.3 La matematica della geometria sacra

5.3.1 Pi

Pi*(n),*il rapporto tra la circonferenza di un cerchio e il suo diametro, è un numero trascendentale o irrazionale. Ciò significa che è un numero che non può essere definito come il rapporto tra due numeri interi e la divisione risultante è un numero non terminante.

> Pi greco è approssimativamente uguale a 3,14159...

Pi greco è incorporato nella geometria della Grande Piramide in Egitto con incredibile precisione e dimostra che i costruttori erano tecnologicamente abbastanza avanzati da segnalare alle civiltà successive che tecnologi avanzati erano sulla terra molto tempo fa.

5.3.2 Il giusto mezzo (Phi)

La sezione aurea o sezione aurea, a cui fa riferimento la lettera greca Phi è un altro numero trascendentale o irrazionale. Questo numero è stato anche incorporato nella geometria della Grande Piramide. La media aurea si trova naturalmente in natura come la forma del guscio di nautilus a camera e la spirale dei semi di girasole nel fiore.

> Phi è approssimativamente uguale a 1,618034...

La sezione aurea è definita dividendo una linea retta in modo tale che il rapporto tra la linea e la parte più grande della linea sia uguale alla parte più grande della linea divisa per la parte più piccola della linea. Alcuni degli aspetti di Phi sono stati menzionati nel capitolo sull'energia piramidale, quindi non li ripeteremo qui.

Uno degli aspetti interessanti del mezzo aureo è il fatto che è stato utilizzato da molti artisti nei loro dipinti, perché si riteneva che fornisse un senso di proporzione esteticamente gradevole.

Collegato a phi è il fenomeno della filotassi che è la tendenza in natura a crescere secondo schemi a spirale.[1]Ci sono schemi a spirale speciali che sono correlati al phi matematicamente. Ad esempio, le piante e gli alberi tendono ad avere rami e crescita delle foglie che sono spirali naturali. La famosa conchiglia nautilus a camera cresce in una spirale phi.

Il mio primo libro[2]riporta alcune ricerche condotte per capire come l'orecchio umano sente e i meccanismi coinvolti. L'orecchio interno ha una camera a forma di spirale, la coclea. La coclea è fiancheggiata da minuscoli peli. Ricerca di Fletcher[3]al Bell Laboratory ha dimostrato che la camera fungeva da tubo di risonanza e che le distanze uguali lungo la spirale erano armonicamente correlate (vedi figura 5.3.2-1). Se mettiamo in relazione questo con i fenomeni di filotassi, può darsi che l'albero o la pianta sia una struttura risonante con frequenze specifiche come parte dei suoi schemi energetici. Queste frequenze e le loro armoniche risuonerebbero per tutta la lunghezza della pianta e dei suoi arti in una spirale phi naturale.

5.3.3 Triangoli rettangoli perfetti

I triangoli rettangoli perfetti sono triangoli rettangoli con lati di numeri interi come 3/4/5, 5/12/13 e 7/24/25. Di nuovo troviamo che la Grande Piramide contiene uno di questi triangoli rettangoli perfetti, il triangolo 3/4/5, contenuto all'interno della "Camera del Re" della piramide.

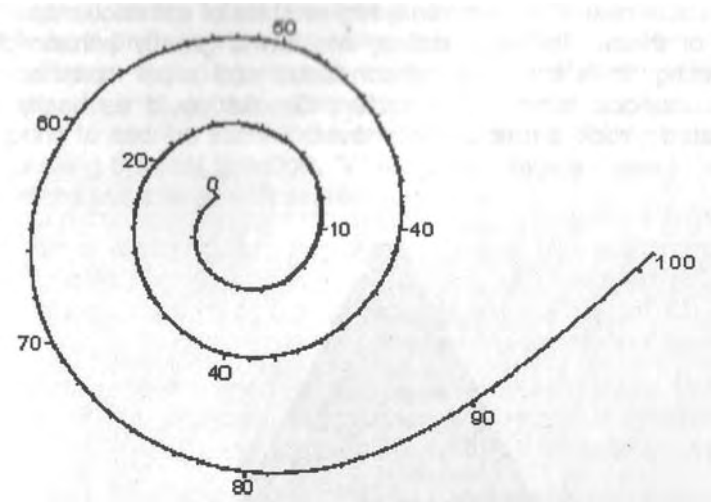


Figura 5.3.2-1. Risonanze del vortice dell'orecchio interno

5.4 Potere di forma e geometria sacra

Un prominente Shape Power geometrico costruito con forma, il piramide, era varie "geometrie sacre" e "sacro matematica" fondamentali. Ci si potrebbe chiedere allora, "questi vari schemi e numeri matematici sono inseriti nella piramide perché sono collegati alla produzione di energia del Potere di Forma o sono lì come testimonianza che le civiltà tecnologiche avanzate sono state sulla terra prima dell'alba della storia o lo fanno svolgono altre funzioni?"

La sperimentazione sugli aspetti energetici del potere piramidale mostra che le proporzioni esatte della Grande Piramide non erano un fattore importante nella sua generazione di potere.[4]Abbiamo, infatti, dimostrato che la generazione del potere piramidale è una funzione dei bordi che convergono come angoli, creando un vortice eterico che traduce la forza eterica in forze magnetiche ed elettriche come mostrato nella figura 5.4-1. Questo effetto opera con una gamma di angoli. Sono necessarie ulteriori ricerche per determinare se ci sono angoli ottimali. C'è una grande quantità di ricerca necessaria per definire tutti i parametri della generazione di energia con linee convergenti.

5.5 Potere della Forma, Geometria Sacra e Coscienza

Gli studenti delle antiche Scuole Misteriche greche meditavano sui vari solidi platonici. Credevano che la meditazione su queste figure geometriche avrebbe elevato la loro coscienza. Gli Yogi credono

that true contemplation of anything will reveal the physics of the object as well as its esoteric aspects. Correct concentration and stilling of the outer consciousness puts one into a higher state of consciousness, such as alpha or theta. In these states, intuition is greatly enhanced and understanding flows from the subconscious and super consciousness into the conscious mind. The ancient Greeks could as easily have contemplated a rock, a tree, or their navel.

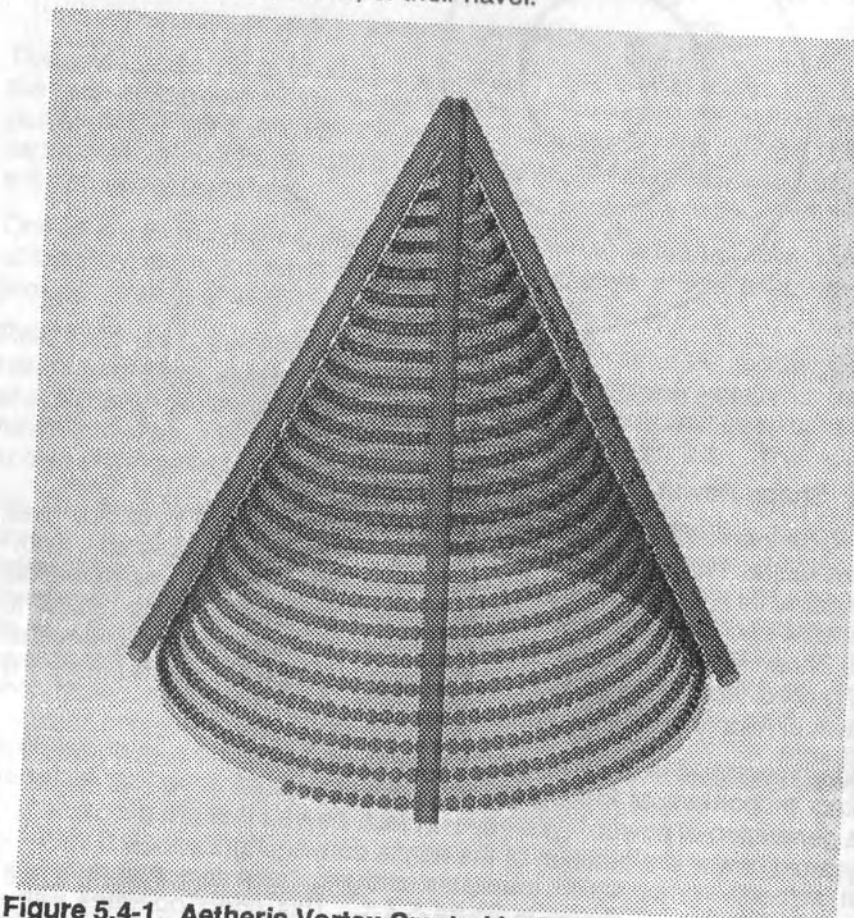


Figure 5.4-1. Aetheric Vortex Created in the Intersecting Lines of Pyramid Corner

5.6 Summary of Shape Power, Sacred Geometry

What is regarded currently as sacred geometry is, in reality, the operation of physical and energy related natural laws, many of which we do not understand at this time. Historically, what man does not understand, he ascribes to the spiritual, to the gods, to magic, or whatever. From a metaphysical point of view, the various energetic

aspetti delle geometrie sacre diventeranno noti man mano che ci addentreremo nella comprensione della natura e dell'universo. Quella che ora è la geometria sacra diventerà, in futuro, leggi note della fisica. Questo potrebbe
sembrano essere una visione profana, tuttavia, il metafisico sa che l'intero universo compreso l'uomo è un'espressione del Creatore dell'universo. In questo senso, ogni aspetto dell'esistenza è sacro. Quindi tentare di attribuire sacralità ai principi geometrici è un passo indietro nell'affrontare la vera domanda: "Qual è la fisica dietro i vari fenomeni associati alla geometria sacra?".

5.7 Bibliografia

1.Introduzione alla geometria, H. 8. M. Coxeter, John Wiley & Sons, Inc., Editori, 1961.

2.Energia: innovazioni per nuovi dispositivi a energia libera . Dan A. Davidson, RIVAS, casella postale 1090, Sierra Vista, Arizona 85636, 1977.

3.Meccanica. Calore e suono . Francis Weston Sears, Phd., Addison-Wesley Publishing Company, Reading Mass., 1958.

4.La guida all'energia piramidale . Bill Kerrel e Kathy Groggin, Pyramid Power V, Inc., 1975.

CAPITOLO 6

IL POTERE DI FORMA DEI CRISTALLI

Questo capitolo esamina il potere della forma applicato ai cristalli e alle strutture cristalline.

6.1 Introduzione

Nei capitoli precedenti, è stata stabilita la teoria di base secondo cui le linee convergenti della materia creano un vortice nello spazio che ha proprietà sia magnetiche che elettrostatiche. Questi principi sono stati estesi e hanno dimostrato di applicarsi ai processi di base di come l'energia piramidale viene creata dalla forma piramidale e dalla fisica dietro la geometria sacra. In questo capitolo, mostro come la stessa fisica si applichi alla scienza dei cristalli, sia dal punto di vista fisico cristallografico sia dal suo correlato metafisico di usare i cristalli come focolai di energie superiori per aggiunte nella guarigione, nella meditazione e in altre pratiche metafisiche.

I cristalli sono stati usati come pietre preziose, amuleti e fuochi di potere ed energia fin dai tempi più antichi. La bellezza intrinseca associata ai cristalli naturali li rende oggetti desiderabili. I sensibili (cioè coloro che possono sentire e/o vedere le emanazioni di energia sottile dai cristalli) sanno che i cristalli agiscono come trasduttori di forze eteriche. Le stesse linee convergenti presenti nella piramide, che è intrinseca alle forme cristalline, sono presenti nei cristalli dal livello macro fino al regno atomico. La struttura a reticolo atomico dei cristalli li rende trasduttori naturali di forza eterica e la loro forma esteriore si presta anche a plasmare la fisica del potere.

6.2 Struttura cristallina e potere di forma

Nel capitolo 1, ho sviluppato il concetto che linee convergenti di atomi, come verghe di legno, creano perturbazioni nell'etere. Inoltre, quelle strutture di linee geometriche racchiuse, come un tetraedro o una piramide, agiscono come concentratori di forza eterica. Il risultato netto di ciò è la creazione di campi magnetici ed elettrostatici, nonché concentrazioni di energia eterica.

I reticoli cristallini sono ideali per la concentrazione di energia eterica, poiché ripetono motivi di strutture di linee geometriche. L'unica differenza è che, nei capitoli precedenti, ne ho discusso in termini di macrostrutture e, in questo capitolo, stiamo esaminando le strutture a livello atomico in cui gli atomi formano la struttura di potere della forma cristallina di base. Quasi ogni tipo di reticolo fungerà da contenitore di energie eteriche sia che si tratti di una struttura fatta di singoli atomi che formano il reticolo a livello atomico o di bastoncini di materiale a livello macro.

Estenderò anche le singole idee di macrocristallo in macroreticoli come contenitori di potere di forma ad alta potenza.

6.3 Cristallografia atomica

I cristalli sono disponibili in un'infinità di forme, dimensioni, strutture e composizione. La cristallografia è lo studio dei cristalli e delle proprietà associate ai cristalli. Esistono numerosi strumenti scientifici utilizzati per misurare le proprietà dei cristalli.

La cristallografia a raggi X utilizza particelle ad alta energia provenienti da un tubo a raggi X focalizzato su un cristallo per determinarne la struttura atomica. I raggi X rivelano che i cristalli sono strutture regolari dal loro livello macro fino al livello atomico. A livello atomico, gli atomi si concatenano in schemi ripetitivi basati sui 5 solidi platonici[1].

I moderni microscopi a forza atomica, utilizzati nell'analisi cristallografica, forniscono informazioni sulla struttura degli atomi a livello atomico. Questi nuovi microscopi forniscono immagini a livello atomico, altamente accurate, della struttura superficiale dei materiali.

6.3.1 Solidi Platonici

Nello spazio bidimensionale (cioè un piano) le figure geometriche regolari (cioè dove le facce sono tutte uguali) sono triangoli, quadrati, pentagoni, ecc. Per quanto riguarda lo spazio tridimensionale, esiste un numero limitato di figure.[1,2]Se proviamo a metterli insieme per creare figure tridimensionali, otteniamo il tetraedro (4 triangoli), il cubo (4 quadrati), l'ottaedro (8 triangoli per formare una piramide a doppia faccia), il dodecaedro (6 pentagoni) , e il

i cosahed r on (20 triang l es). Questi sono 5 solidi plat on ic. T utte le strutture cristalline sono variazioni e combinazioni di queste 5 figure geometriche e non ci sono altri solidi regolari.

6.3.2 Strutture cristalline

I cristalli sono caratterizzati atomicamente come aventi "ordine a lungo raggio".[3] Ciò significa, molto semplicemente, che gli atomi e le molecole che compongono un cristallo sono disposti secondo schemi definiti e non sono confusi e disordinati. Nella struttura solida di un cristallo, ogni atomo ha atomi vicini a distanze specifiche. Si dice che un tale ordinamento della struttura atomica sia "cristallino". La morfologia del cristallo è lo studio delle forme cristalline e la forma esterna esterna del cristallo è chiamata la sua "abitudine". I cristalli hanno una struttura definita, il che significa che hanno atomi specifici disposti in modo ordinato specifico.

I cristalli hanno schemi ripetitivi definiti chiamati "motivi", e quando questi motivi si ripetono regolarmente in tutto il cristallo, chiamiamo questa struttura "a reticolo".

6.3.3 I reticoli come contenitori di energia di forma

Quindi cosa significa questo per i cristalli come generatori di energia di forma. Bene, l'ho appena affermato, "... il reticolo agirà come un contenitore di energie eteriche..". Dalla mia analisi dell'energia piramidale, ho mostrato che la piramide agisce come un contenitore/concentratore di energia eterica e come ogni contenitore, può contenere solo una certa quantità di energia eterica prima che inizi a fuoriuscire o distorcere il contenitore. Nel caso di una piramide, schizza all'apice e ai quattro angoli della base.

Per analogia, un reticolo cristallino raccoglierà e conterrà una certa quantità di energia eterica e ad un certo punto uscirà schizzando fuori. Poiché il reticolo cristallino è molto strutturato, lo schizzo sarà direzionato e il cristallo fungerà da canale per l'energia eterica. I suoi percorsi di uscita più probabili sono nei punti esterni del cristallo.

6.3.4 Cristalli come strumenti di guarigione con l'energia eterica

Nell'analizzare i guaritori psichici e vari tipi di utilizzatori di cristalli new age[4], si scopre che usano l'estremità appuntita del cristallo perché hanno scoperto che è da lì che si stacca l'energia curativa. Il cristallo funge da collettore e concentratore di energia eterica e incanala il trabocco dalle punte dei cristalli. Una concentrazione di energia eterica, quando diretta a un paziente, tenderà ad aumentare il livello di energia del paziente. L'aumento di energia aiuta il corpo a riparare se stesso, migliorando così il processo di guarigione. Questo stesso processo può essere utilizzato su

il livello macro mettendo un paziente all'interno di una piramide per aumentare il suo livello di energia.

6.4 Macro C

Più piramide, un energia com forza è un intersezione piramide un struttura. io geometrico dove l'ed n e il mostrare il di eterico ed di il quadrato base entro il ed in il lui vertici

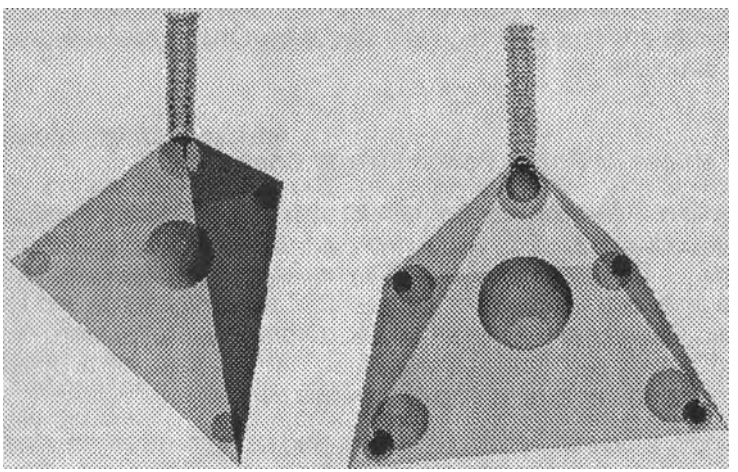


Figura 6.4-1 Raccolta dell'energia del tetraedro e della piramide

6.4.1 Strutture a macroreticolo

Quindi cosa accadrebbe se costruissimo un reticolo usando la piramide come motivo? Ciò è stato fatto e sono stati scoperti alcuni effetti molto interessanti. Otto piramidi erano disposte in due file fianco a fianco (vedi figura 6.4.1-1). I modelli energetici di questo reticolo sono le energie standard che escono dalla cima di ogni piramide, tuttavia, è maggiore che da una singola piramide. Sembra che ci sia un'intensificazione dell'energia dai picchi delle piramidi quando sono nel reticolo. Inoltre, l'energia che normalmente fluisce lungo i lati delle piramidi sembra essere concentrata maggiormente nei canali tra le piramidi.

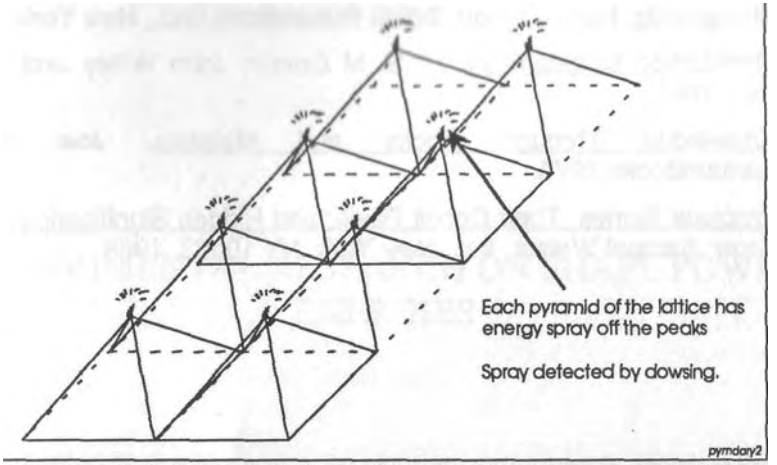


Figure 6.4-1 Pyramid Array Creates Novel Energy Pattern

La ricerca sulla piramide ha avuto un grande impulso quando Carl Drbal ha ricevuto il suo brevetto per l'affilatura della lama di un rasoio a piramide basato sulla teoria secondo cui la piramide agisce come un risonatore a microonde. Avendo piramidi in una matrice, forse iniziano ad agire come guide d'onda a microonde o un risonatore di livello macro per attirare più forza eterica. Hanno certamente una sezione trasversale più grande per intrappolare l'energia.

6.5 Riepilogo dei cristalli come raccoglitori di potere di forma

Gli effetti dell'energia eterica dai singoli cristalli sono stati esaminato e dimostrato di corrispondere agli effetti attesi da singole strutture geometriche, moltiplicato per il numero di motivi ripetuti in tutto il cristallo. La combinazione dei cristalli in una struttura reticolare mostra che il reticolo cristallino agisce come un contenitore di forza eterica. In quanto tale, l'energia del cristallo può essere utilizzata per la guarigione e altre pratiche.

Questa è un'altra area in cui dobbiamo fare molte più ricerche. Probabilmente la ricerca più produttiva riguarderà l'area delle strutture a macroreticolo. Certamente abbiamo estratto solo la minima informazione su questo affascinante argomento.

6.6 Bibliografia

1. Matematico Cristallografia e Teoria dellaGruppi di Movimenti . Harold Hilton. Dover Publications, Inc, New York, 1963

2.Introduzione alla geometria . HS M Coxter, John Willey and Sons, Inc., 1961.

3. Conoscenza attraverso rocce e minerali. Joel Arem, Bantam Books, 1973.

4.Pietre preziose. Il loro potere occulto e il loro significato nascosto . WB Crow, Samuel Weiser, Inc., New York, NY 10003, 1968.

CAPITOLO 7

RICERCA SPERIMENTALE SUL POTERE DELLA FORMA
ENERGIE

Questo capitolo discute alcuni esperimenti affascinanti che si riferiscono alla ricerca sul potere della forma.

7.1 Rilevatori di energia gravitazionale

È ovvio che più grande è la massa, più etere fluisce nella struttura atomica della massa per sostenere la struttura atomica. La massa irradia e assorbe energia eterica. Altre masse nelle vicinanze causeranno perturbazioni in questo flusso eterico. A causa di questo fatto, i rilevatori di flusso eterico possono essere costruiti sfruttando questo principio. Il mio primo rilevatore di gravità/flusso eterico locale funzionante è stato dimostrato alla Conferenza scientifica straordinaria del 1990 a Colorado Springs, Colorado[1,2].

7.1.1 Rilevamento dello stress gravitazionale mediante dielettrici

Il principio di base del rilevatore di gravità è il fatto che la struttura di carica elettronica di una data massa è una funzione della quantità di etere che fluisce nella massa. La carica attorno all'atomo è governata dalla quantità di etere che fluisce dentro e fuori la massa. Il mio ragionamento era che i dielettrici sarebbero stati il miglior rilevatore di flusso eterico. Nei dielettrici, la carica elettronica è isolata e intrappolata all'interno del materiale dielettrico poiché la carica non può fluire e dissiparsi. Il primo successo era stato ottenuto da Townsend Brown [4] (circa 1959) e Jerry Gallimore[3] (circa 1975) nell'uso di materiali dielettrici per rilevare l'effetto della gravità locale.

Utilizzando un alto nato,
d la quantità di elettrodi
su ogni polo o rcuit1usato un
amplificatore pico finale. Poi il
tensione/corrente sciocco misurato
direttamente dall'avv della gravità
circuito rivelatore (cioè eterico
fatica). Il Gra c flusso sul
materia dielettrica la gravità campo
e gravità fluire durante un solare
eclisse e sho cadere durante
il periodo di th si è 11:35 e
concluso verso le 12:45

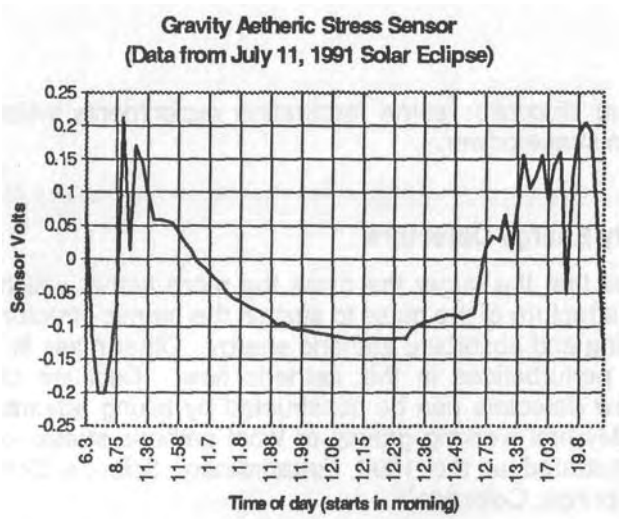


Figura 7.1.1-1 Sensore di onde gravitazionali piezoelettriche durante il solare
Eclipse (il tempo è in frazioni decimali di un'ora)

Il circuito per il rilevatore di onde gravitazionali è mostrato nella figura 7.1.1-2 con le istruzioni per costruire il circuito mostrato sotto. Uno schema dettagliato è mostrato nella figura 7.1.1-3.

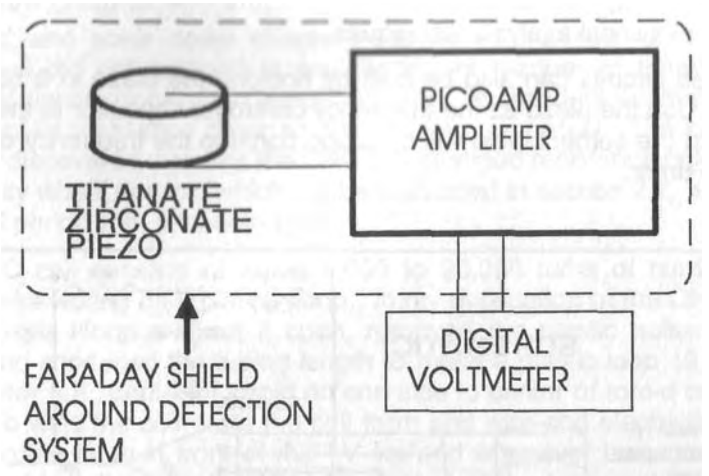


Figura 7.1.1-2 Diagramma a blocchi del rilevatore di onde gravitazionali Davidson

1. Saldare fili sottili (n. 28 o più piccoli) ai poli della ceramica piezoelettrica per il collegamento all'amplificatore operazionale o montare il piezoelettrico in una custodia di teflon lavorata con elettrodi di rame che premono contro i poli conduttivi del piezoelettrico. Utilizzare pasta conduttiva per garantire la connessione.

2. Shock montare il piezo per isolarlo dalle vibrazioni sonore e fisiche.

3. L'amplificatore operazionale (AD 515) deve essere isolato dai campi elettrostatici vaganti. Inoltre, è necessario seguire buone procedure di cablaggio elettrico per garantire il successo. L'aggiunta di altri componenti al circuito eliminerà il sensore. Ad esempio, l'aggiunta di eventuali condensatori fungerà da sorgente di rumore che eliminerà gli effetti piezoelettrici.

4. L'alimentatore può essere una batteria a transistor da 9 volt.

5. L'intero sensore può essere isolato dai campi EM installando i circuiti e il sensore in uno schermo di tipo Faraday. Una schermatura aggiuntiva può essere realizzata con una schermatura in metallo mu (magnetico).

6. Isolare dalla luce installando il sensore in una custodia a tenuta di luce. Potrebbe essere possibile combinare lo scudo di Faraday con lo scudo luminoso.

7. È possibile utilizzare un voltmetro digitale standard per leggere l'uscita attraverso il pin 6 e la massa.

8. Calibrare il sensore per la temperatura misurando la temperatura del sensore per un periodo di diversi giorni insieme al sensore

fuori
sta

Migliorato 555 Timer
circuito. Noi lui circuito.
Fatica in produzione di
il 555tim

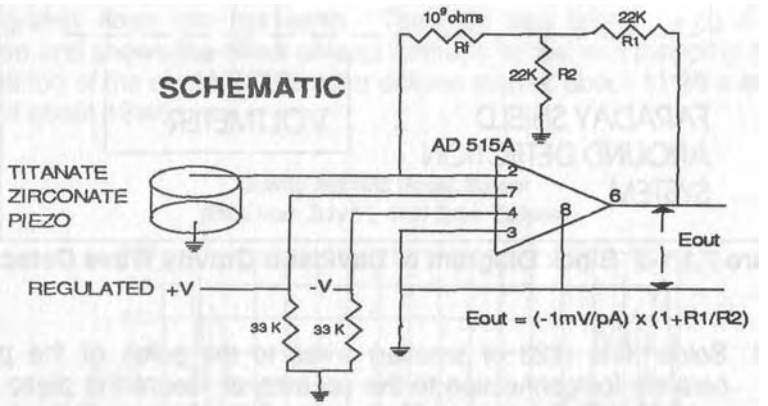


Figura 7.1.1-3 Schema del rilevatore di onde gravitazionali Davidson

Greg Hodowanec ha fatto alcuni esperimentisnel 1986 e rivendicò il successo nel rilevare le energie eteriche. Le sue idee non facevano riferimento né a Gallimore né a T. Brown e forse non ne era a conoscenza. Hodowanec ha utilizzato un normale condensatore come rilevatore e un amplificatore operazionale per aumentare la variazione di capacità che si verifica nel condensatore. In questo momento c'è controversia sul fatto che i dati di Hodowanec siano correlati a fenomeni noti. Il rivelatore di Hodowanec avrebbe dovuto almeno tracciare i cambiamenti eterici giornalieri dovuti agli effetti prodotti dal sole e dalla luna, ma nessuno dei suoi dati lo mostrava. I miei esperimenti con il suo rilevatore hanno dimostrato che è altamente suscettibile ai cambiamenti di temperatura ed è del tutto possibile che i dati che ha pubblicato fossero effetti della temperatura.

7.1.2 La bobina del nulla

Discutendo i miei risultati sulle energie gravitazionali (cioè i flussi di stress eterico) con un collega ricercatore di gravità, Joe Parr, ha affermato di aver ottenuto risultati simili con i dielettrici (cioè, funzionano ma sono sensibili alla temperatura e alla luce) e di aver scoperto un rivelatore migliore per certe condizioni. Joe ha scoperto accidentalmente la "bobina del non fare", che si è rivelata un rilevatore di stress eterico. Era una strana bobina a cui ha attaccato il soprannome di "Do Nothing Coil" (DNC). Il DNC lo farebbe

rilevare il flusso di gravità eterico senza i fastidiosi effetti di temperatura, fotonici e rumore sonoro. Joe ha chiamato la bobina "non fare nulla" perché non ha risposto in modo significativo ai segnali magnetici o elettrici da DC a circa 300 Ghz. Per caso scoprì che la resistenza della bobina cambiava durante un periodo di 24 ore. La cosa sorprendente che scoprì fu che la bobina DNC cambiava resistenzasolo quando il sensore della ruota gravitazionale, che verrà discusso nella sezione 7.2, era in un periodo molto nullo con poca attività.

La bobina DNC è composta da circa 4.000 a 20.000 spire di filo di rame numero 34 avvolto su un cerchio di plastica. Nella mia duplicazione della bobina DNC, ho preso un Hula Hoop e l'ho aperto, ho rimosso le perline di plastica del generatore di rumore e ho accorciato la lunghezza del tubo per creare un anello di plastica di 19 pollici di diametro (cioè, dal centro del toroide su un lato al centro di toroide sull'altro lato). Per avvolgere la bobina, ho posizionato la forma della bobina, il filo e il nastro da elettricista sul tavolino davanti al televisore e ogni volta che guardavo la TV, avvolgevo un paio di centinaia di giri sull'anello e coprivo i giri di filo con nastro da elettricista nero per mantenere la bobina in posizione. Dopo un paio di mesi, ho finalmente avvolto la bobina DNC. Finì per essere poco più di 8.000 turni. Ho messo un connettore BNC alle estremità della bobina per un DNC completato.

La Figura 7.1.2-1 mostra i risultati di alcuni giorni di dati rilevati con la bobina DNC. Il grafico mostra chiaramente i cambiamenti di resistenza giornalieri. Il cambiamento di resistenza è una lettura diretta dei cambiamenti del flusso di stress eterico locale. La resistenza cambia nella bobina perché la carica elettronica del reticolo atomico nel metallo nel filo cambia mentre più o meno etere scorre nei nuclei degli atomi delle bobine, cambiando così la conduttività del filo perché ci sono più o meno elettroni creati nel filo da lo stress eterico mutevole. Durante il corso di un periodo di 24 ore, il sole, la luna, i pianeti, così come le stelle, mettono diversi livelli di stress sul campo eterico terrestre, che influisce direttamente sulla velocità del flusso di etere nel nucleo.

7.1.3 La fisica dei rilevatori di stress eterico (ovvero flusso gravitazionale)

La fisica alla base dell'uso di materiali come dielettrici e metalli come sensori per rilevare i cambiamenti di stress nel campo eterico locale si basa sul modello a vortice di Keely dell'atomo. Il nucleo dell'atomo è costituito da particelle atomiche che sono particelle toroidali a forma di ciambella nell'etere. Il vortice toroidale è una forma stabile nell'etere. Ciascuna delle particelle subatomiche è in costante scambio con il campo eterico locale.

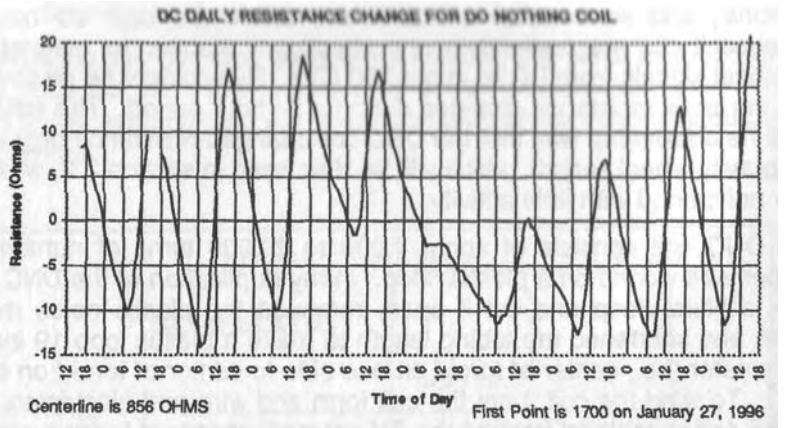


Figura 7.1.2-1 Il DNC come esempio di sensore di gravità

7.2 La scoperta della bolla energetica piramidale di Joe Parr

Il seguente materiale su Joe Parr è stato fornito durante *mio* discorso all'International Tesla Society nel 1992. Il testo e i grafici sono tratti da quel discorso. Parte delle informazioni sugli esperimenti con la ruota gravitazionale sono state fornite al sottogruppo della Natural Philosophy Alliance del 1996, durante la conferenza dell'American Association for the Advancement of Science (AAAS) a Flagstaff, in Arizona, presso il campus della Northern Arizona University.

7.2.1 La forma come sensore di energia

Un importante passo avanti è stato raggiunto da Joe Parr, grazie al quale ha sviluppato diversi sensori che quantificano l'energia della piramide. Il suo trasduttore di raggi gamma si basa sulla sua scoperta che l'energia piramidale attenua i raggi gamma. Ha scoperto che uno degli aspetti dell'energia eterica dentro e intorno a una piramide è come un campo di energia eterica sferica centrata al livello di 1/3 dell'altezza. Questo è mostrato nella Figura 7.2.1-1 che raffigura una delle prime configurazioni sperimentali di Joe per rilevare i campi energetici piramidali. Questa scoperta ha portato alla possibilità di una macchina a energia libera, nonché di un vero e proprio motore spaziale basato sulla generazione di campi di forza gravitazionali utilizzando forme piramidali rotanti.

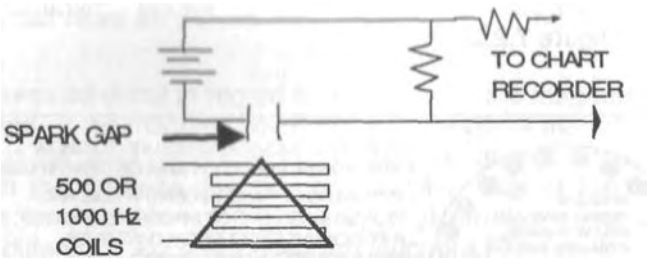


Figura 7.2.1-1 Impostazione iniziale della raccolta dati di Joe Parr

Una delle cose che Joe ha scoperto negli esperimenti di conversione dell'energia delle piramidi, come illustrato nella figura 7.2.1-1, era che le piramidi smettevano di rispondere di tanto in tanto e lui non aveva spiegazioni sul perché. Ha trovato una correlazione con gli eventi celesti e i suoi esperimenti. L'attività delle macchie solari sembra influenzare l'intensità della bolla energetica della piramide.

Il sensore di energia gravitazionale, scoperto da Joe Parr, coinvolge la Grande Piramide e le forme piramidali in generale. Questo sensore utilizza una piramide statica (cioè non mobile) allineata nord-sud/est-ovest. Bobine piatte avvolte su bobine di nastro audio sono state posizionate sul lato nord e sud della piramide. Uno spinterometro, costituito da un condensatore da 1 microfarad bruciato, è stato posto all'apice della piramide in serie con una batteria, un resistore e un registratore grafico. Un registratore grafico registrava i cambiamenti giornalieri nelle energie attorno alla piramide.

Il registratore grafico registra lo stato di una bolla di energia che circonda la piramide. La bolla energetica, nel tempo, ha avuto vari livelli di opacità a tutti i tipi di radiazioni. Gli esperimenti che hanno messo emettitori di radiofrequenze, sorgenti radioattive, in particolare emettitori beta e gamma, sorgenti magnetiche e sorgenti ioniche hanno mostrato tutti un'attenuazione quando si trovavano nella bolla di energia che circonda la piramide. Un'intensa ricerca durata 13 anni ha dimostrato che la bolla potrebbe essere alimentata con ioni negativi e questo intensificherebbe l'opacità della bolla. In certi periodi dell'anno, la bolla energetica bloccherebbe totalmente la forza di gravità, le radiazioni nucleari e le radiazioni elettromagnetiche. Un altro effetto ha rivelato che la piramide sembrava risuonare a 500 e 1000 Hz. Ciò significa che la bolla di energia o campo di forza intorno alla piramide diventa totalmente opaca (cioè,

7.2.2 Generazione Dynamic Pyramid ES

Un tempo, durante il ciclo delle macchie solari di 11 anni, il sensore piramidale statico si è spento e ha smesso di fornire dati. Per trovare un altro metodo per continuare la ricerca, il ragionamento era che un sensore in movimento potesse continuare a fornire dati. Joe ha costruito un elaborato sperimentale

installazione ha chiamato la "centrifuga". Il "motore piramidale" della centrifuga è illustrato nella figura 7.2.2-1.

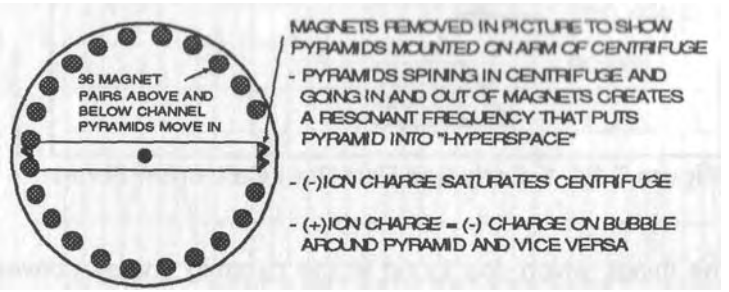


Figura 7.2.2-1 La centrifuga piramidale di Joe Parr

Numerosi esperimenti con la centrifuga hanno fornito ulteriori dati sulla bolla energetica della piramide. Gli ioni positivi nella centrifuga causerebbero l'attrazione della piramide verso la polarità della luna. Gli ioni negativi nella centrifuga farebbero allontanare la piramide dalla luna. In certi periodi dell'anno (intorno all'8-15 dicembre e all'8-15 maggio) la bolla di energia attorno alle piramidi nella centrifuga diventerebbe totalmente opaca a tutte le forze gravitazionali locali, elettromagnetiche e inerziali. Quando ciò accadeva, le piccole piramidi di un pollice di base strappavano l'estremità del braccio della centrifuga causando ingenti danni all'interno della centrifuga. Un'analisi dettagliata della quantità di energia necessaria per strappare la piramide libera dal suo supporto epossidico, ha mostrato che una piramide di 8 grammi aveva una forza di circa 2000 libbre (cioè, 113, 000 volte l'aumento dell'energia cinetica). Si ipotizza che la piramide si muova in una diversa condizione di tempo/spazio, che Joe chiamò iperspazio, quando la piramide si trova nel campo magnetico alternato. Quando la piramide esce dal campo magnetico alternato della centrifuga, la piramide esce dallo spazio h con enormi quantità di energia aggiuntiva.

Gli esperimenti con la centrifuga funzionavano anche come la piramide statica in quanto l'inserimento di sorgenti di radiofrequenza, sorgenti radioattive, sorgenti magnetiche e sorgenti di ioni all'interno della piramide mostrava che l'energia delle sorgenti di energia era attenuata quando si trovava nella bolla di energia della piramide.

Questo metodo si basa su piramidi montate all'esterno di un rotore che viene fatto ruotare rapidamente. Un campo E perpendicolare al rotore è allineato con l'asse del rotore. Un campo magnetico è allineato perpendicolarmente all'asse del rotore. Così, quando il rotore gira, le piramidi non solo si formano e si rompono

il campo E bu
E-campo.

Analisi rivelata
le piramidi.
fuoco elettrostatico
asse e dentro
la domanda è: w
fare qualsiasi differenza

angoli a il

etico campo insieme a
otore, poi il
di il rotore
lui asse. Il
t o lo fa

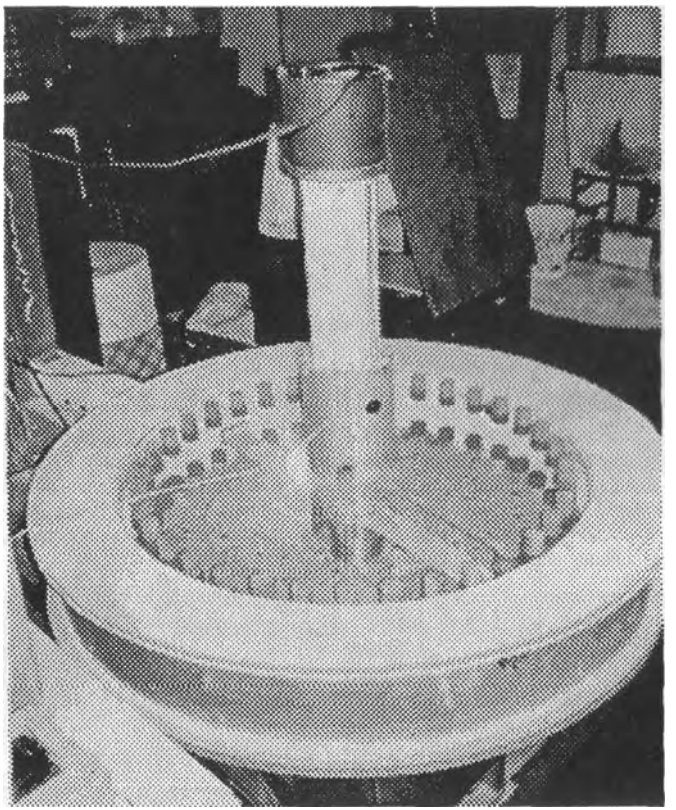


Figura 7.2.2-2 Fotografia della centrifuga a piramide di Joe Parr

7.2.3 Jo

La centrifuga un tre-
dimensionale imento era
ideato wh un piccolo
appositamente de piccolo alto
motore di velocità.

Lui quindi d a il
centrifuga w enti. Questo
sperimentale

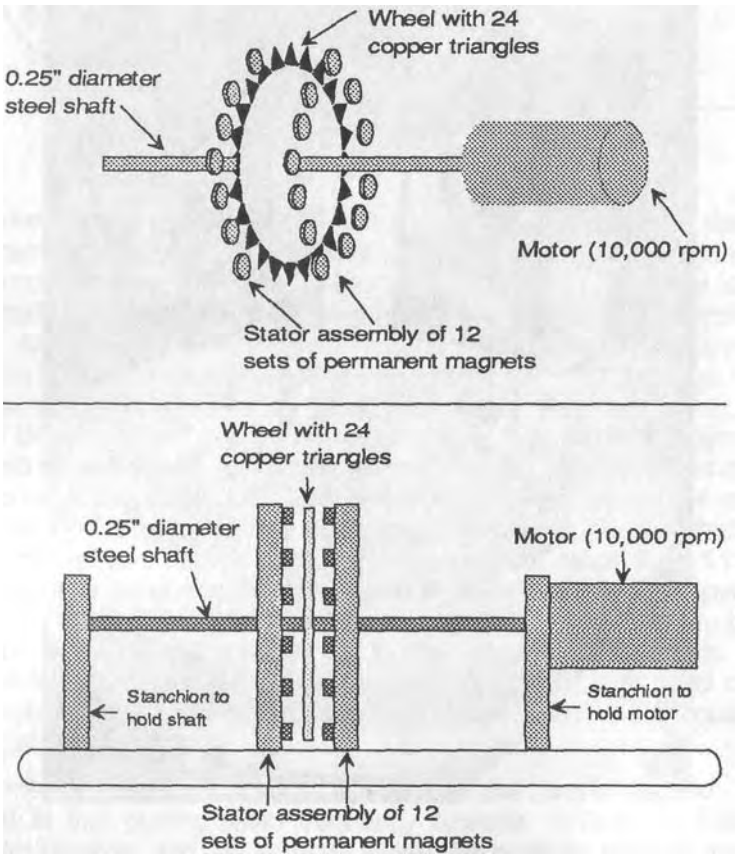
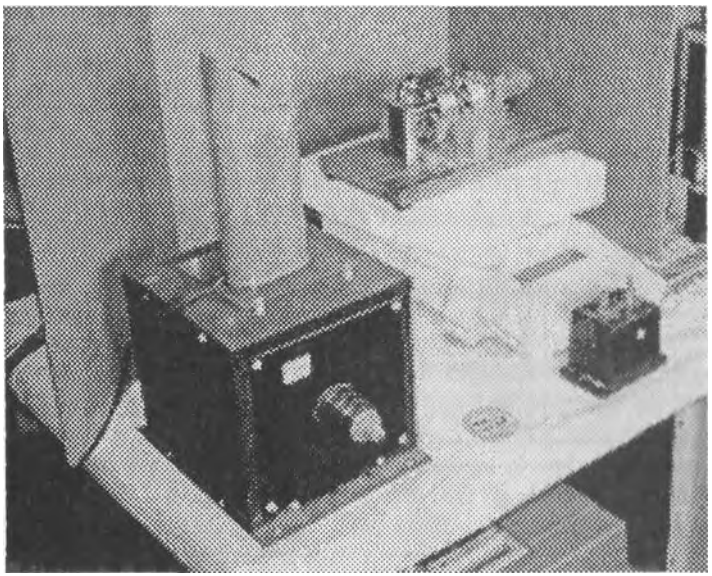


Figura 7.2.3-1 Rotore che utilizza i triangoli come collettori di potenza di forma

realizzato in materiale di circuito stampato con 24 triangoli, la forma della grande faccia piramidale, attorno alla circonferenza della ruota. I triangoli sono posti l'uno di fronte all'altro su entrambi i lati della ruota. La ruota, che ho definito la ruota gravitazionale, gira tra due statori che hanno magneti ceramici a basso gauss (100 gauss ciascuno) che sono posizionati in modo che il bordo del magnete si allinei con l'altezza di 1/3 di

i triangoli est a il
sperimentare bolle o
campi di forza fo è girato in
ad alta velocità rif. 7.2.3-1.
Fotografie in figure
7.2.3-2 e 7.



Figu

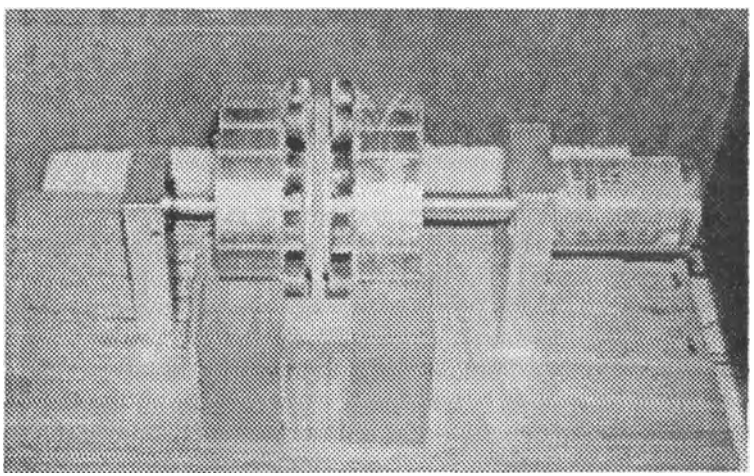


Figura 7.2.3-3 Primo piano dell'esperimento della ruota gravitazionale di Joe

7.2.4 Forza

Il Parr ex g
gravitazionale

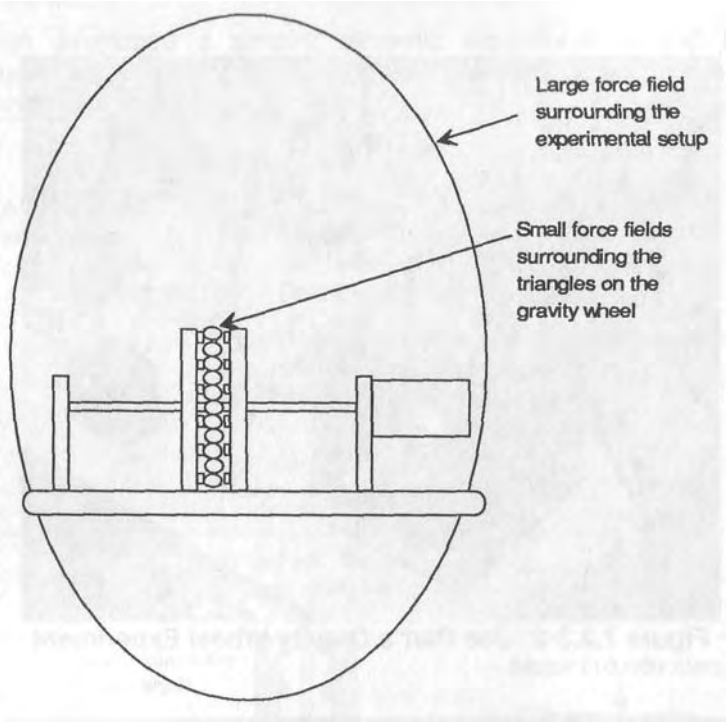


Figura 7.2.4-1. Campo di forza ovoidale attorno all'esperimento della ruota gravitazionale
e piccole bolle di energia che circondano ciascuno dei triangoli di
la ruota gravitazionale

due tipi di campi di forza accumulati dentro e intorno all'esperimento. C'è un campo di forza di forma ovoidale attorno a ciascuno dei triangoli di rame. Quando questi piccoli campi di forza aumentano di intensità, provocano una resistenza al motore che può essere chiaramente udita in laboratorio. C'è un campo di forza più grande che si accumula attorno all'intera configurazione dell'esperimento. I test eseguiti da Joe Parr utilizzando una strumentazione speciale e un rabdomante, oltre a test indipendenti dell'autore con un chiaroveggente e un chiaroveggente, verificano tutti l'ampio campo di forza attorno alla configurazione sperimentale più i campi di forza più piccoli attorno a ciascuno dei triangoli.

Quello che Joe ha scoperto è che la terra si muove attraverso condotti di energia che vanno dal nostro sole ad altri pianeti e sistemi stellari.

Quando l'esperimento della ruota gravitazionale attraversa uno di questi condotti di energia, il campo di forza attorno ai triangoli di rame si intensifica al punto che la bolla diventa opaca a tutte le forze locali e inizia a muoversi lungo il condotto molto rapidamente e si verifica uno sconvolgimento della scala. I tentativi di simulare il condotto energetico finora sono falliti. Stiamo valutando i dati e abbiamo trovato una certa correlazione con le congiunzioni planetarie e stellari quando la terra è allineata con altri pianeti o stelle e il nostro sole. L'analisi dei dati è attualmente agli inizi, ma stiamo ottenendo alcuni effetti gravitazionali davvero impressionanti.

7.3 Duplicazione di esperimenti sulla ruota gravitazionale

L'autore ha seguito gli esperimenti di Joe Parr per diversi anni; e dopo che Joe ebbe un certo successo iniziale con la nuova configurazione sperimentale, l'autore, con l'assistenza di Joe Parr, costruì un duplicato dell'esperimento.

7.3.1 Configurazione sperimentale e risultati della ruota gravitazionale

Ci sono voluti diversi mesi perché la mia versione dell'esperimento funzionasse con successo. La messa a punto ha comportato l'orientamento corretto della configurazione sperimentale e una corretta messa a terra. Il pozzo deve essere orientato est-ovest. Una sorgente di ioni negativi è posta a pochi metri dalla ruota che gira per alimentare i campi di forza che si formano attorno ai triangoli di rame fissati alla ruota gravitazionale. L'esperimento è impostato su una scala delicata che misura con precisione fino a 0,5 grammi. Il peso statico della mia configurazione sperimentale è di circa 1200 grammi. La versione di Joe Parr è di circa 1800 grammi. Il mio esperimento utilizzava legno d'acero lavorato per sostenere il motore e l'albero, e i montanti che reggono i magneti e l'esperimento di Parr era fatto di alluminio lavorato. Una fotografia del mio esperimento sulla ruota gravitazionale è mostrata nella figura 7.3.1-1.

La differenza principale tra la mia versione dell'esperimento della ruota gravitazionale e quella di Joe è che quella di Joe brucia un motore in quasi tutti i condotti e la mia no. Evidentemente, l'interazione del campo di forza con i montanti in alluminio nella versione di Joe provoca una resistenza sufficiente a bruciare il motore.

Durante le operazioni sperimentali, il peso dell'esperimento può scendere da 0 a -6,5 grammi. Se si considera che la ruota gravitazionale con i triangoli di rame pesa circa 12 grammi, l'effetto di levitazione operativa normale totale è dell'ordine del 50% di perdita di peso. Questo di per sé è un notevole effetto sperimentale e merita un'attenzione acuta.

La bilancia utilizzata nell'esperimento è una Ohaus Precision Plus acquistata da Cole Parmer. La bilancia può misurare con precisione entro 0,5 grammi su un intervallo di 0-4000 grammi. La bilancia ha un RS-232

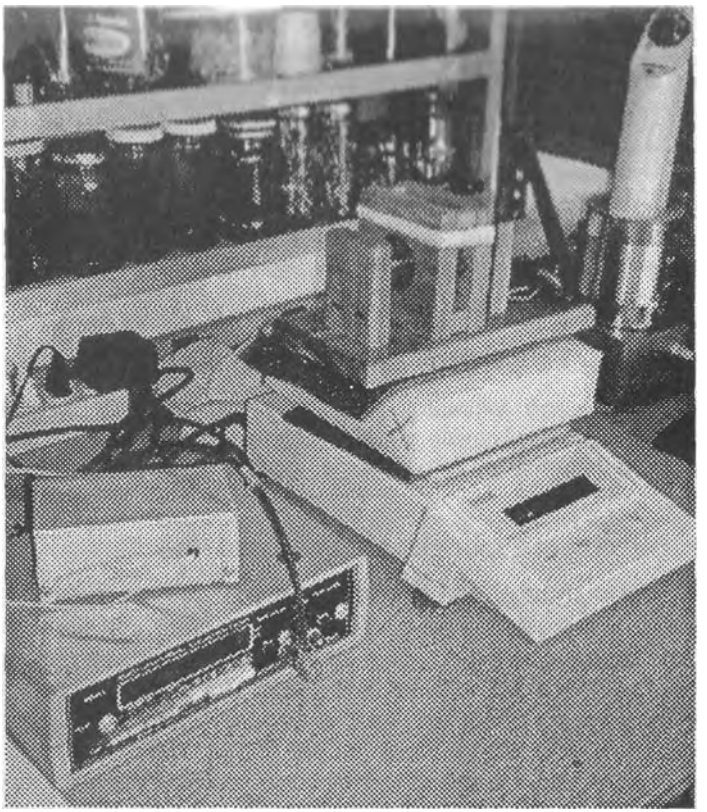


Figura 7.3.1-1 L'esperimento della ruota gravitazionale di Dan Davidson

interfaccia seriale che permette di interfacciare la bilancia ad una stampante o ad un computer. La bilancia emette il peso in modo continuo tranne in caso di ribaltamento della bilancia. Il peso del ribaltamento può essere variato ed è stato fissato ad un massimo di 5 grammi. Ciò significa che se il peso sulla bilancia cambia di più di 5 grammi in un paio di millisecondi, l'interfaccia RS-232 smette di emettere il peso misurato dalla bilancia.

Il mio collegamento preliminare della bilancia era a un computer; tuttavia, l'intenso campo di forza che si è formato attorno all'esperimento ha distrutto due schede di interfaccia del computer. Poiché l'interfaccia RS-232 interrompe l'emissione di dati su una bilancia ribaltata, l'uscita seriale della bilancia è stata convertita in un livello di tensione e utilizzata come indicatore. Quando la tensione scende, una scala

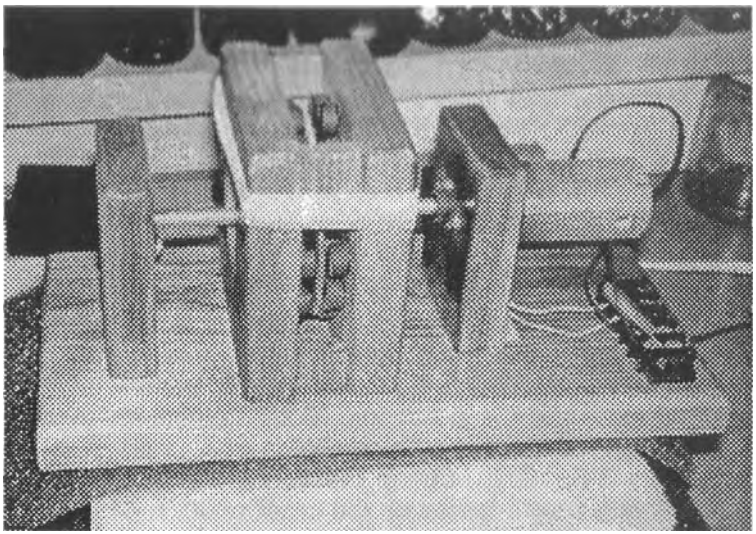


Figura 7

rovesciato ha ed in un
impulso conte ehmdi 5
grammi. Fig Questo Spettacoli
il conteggio em. Se il
6,5 grammi in
quasi un 1 analizzare, cercare, guardare
ruota esp rr gravità
11,1996. tonnellata aprile

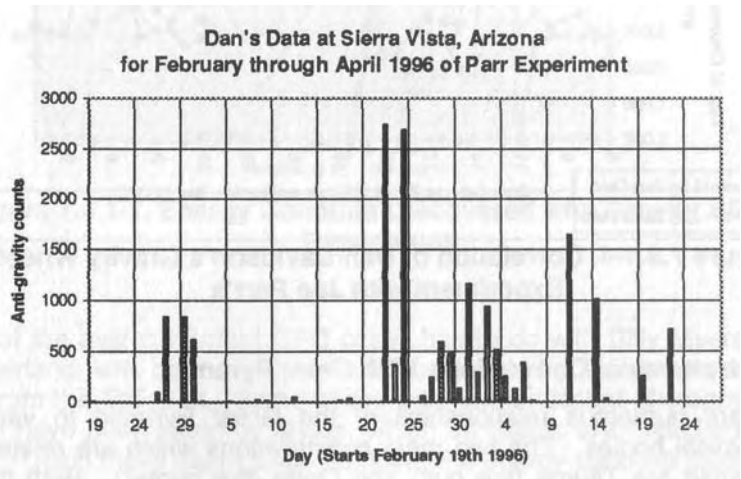


Figura 7.3.1-3. Dati dell'esperimento sulla ruota gravitazionale di Dan Davidson

Nell'estate del 1996, abbiamo fatto una calibrazione del mio esperimento confrontandolo con l'esperimento di Joe in corso in California. Si scopre che i magneti che ho usato erano troppo forti I miei magneti sono stati sostituiti con altri che sono circa 100 gauss ciascuno. Apparentemente, se i magneti sono troppo potenti, annullano il segnale del condotto di energia e la sensibilità dell'apparato diminuisce drasticamente. Questo spiega perché su un dato condotto, Jo

sabbia mio

sperimentale

Su un nuovo ato a atto
come Di Joe, y condotti.
Questo è malato l'ovest
Costa e cablato il
stesso grande d altro
condotto Sì ds, io era
ottenere mo arieti. Questo
significa tha mostrando un
totale pesare che questi
esperimenti

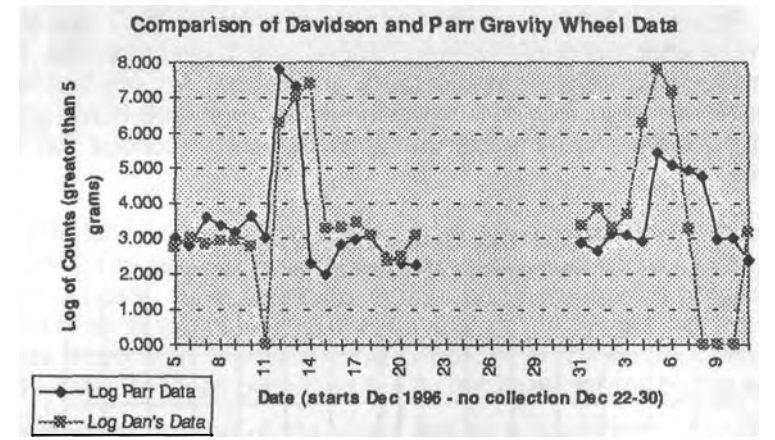


Figura 7.3.1-4. Correlazione della ruota gravitazionale di Dan Davidson

Esperimento con Joe Parr

7.4 Correlazioni astronomiche con la Grande Piramide

Ci sono numerose relazioni della Grande Piramide con vari corpi astronomici. Le due principali costellazioni legate alla piramide sono il Toro (il toro) e Orione (il cacciatore). Entrambe queste costellazioni si trovano nella stessa porzione di cielo. Il Toro si trova appena sopra Orione.

7 .4.1 Th

La stella fondazione collocamento (cioè metà) Data del G è dentro il Pleiadi, ascendente passwa appuntito a Alcione in sopra esso e il h raffigura il maggiore n sul grafico era Alcione correlazione.

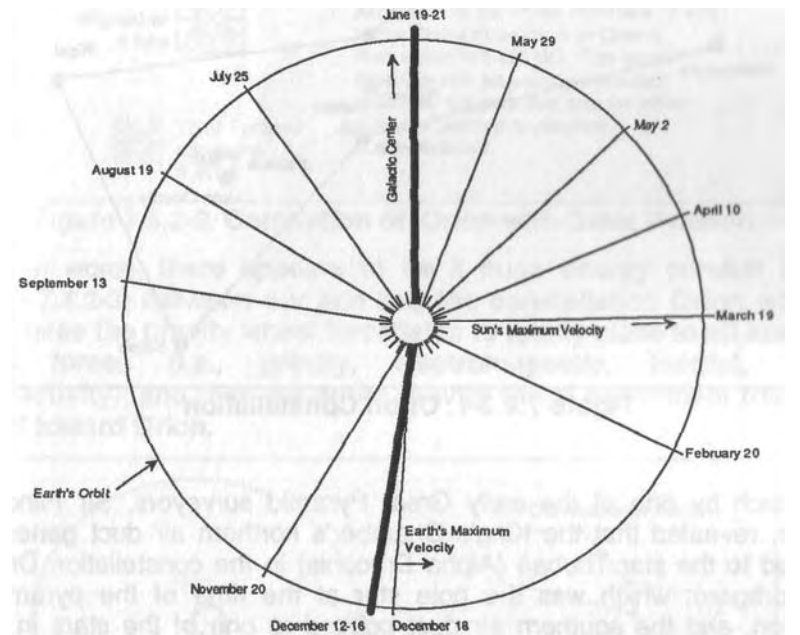


Figura 7.4.1-1. Condotti energetici scoperti con la ruota gravitazionale

Sperimentare

Uno dei casi UFO meglio confermati ha a che fare con Billy Myers, dalla Svizzera, che afferma di essere stato contattato da extraterrestri che provengono dalle Pleiadi. Alcune delle migliori fotografie autenticate di UFO sono state scattate da Myers, che sostiene essere navi a raggi Pleiadiane. Queste navi a raggi potrebbero cavalcare i condotti di energia scoperti da Joe Parr?

7.4.2 L'O

Il grande cond
prima settimana di
grande piramide

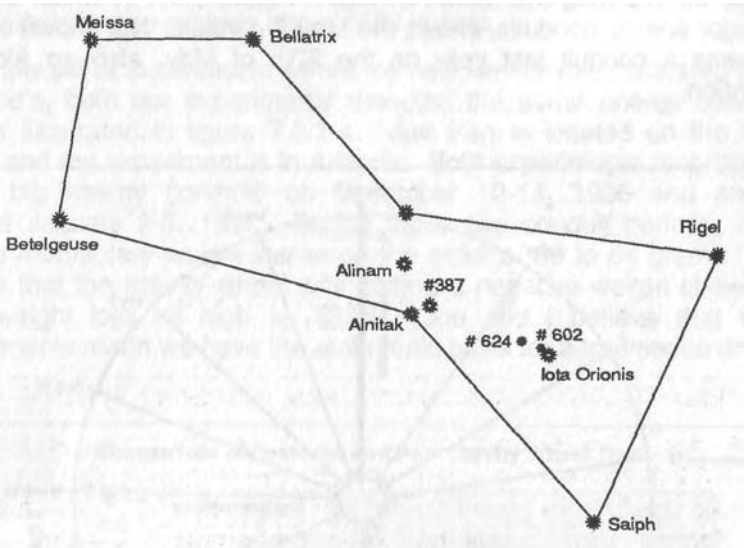
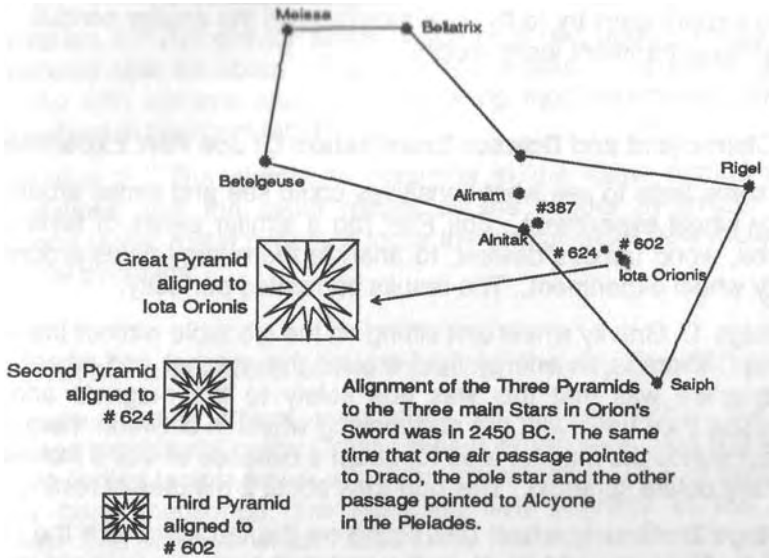


Figura 7.4.2-1. Costellazione di Orione

La ricerca di uno dei primi ispettori della Grande Piramide, Sir Flinders Petrie, ha rivelato che il condotto d'aria settentrionale della Camera del Re indicava generalmente la stella Thuban (Alpha Draconis) nella costellazione del Draco (il drago), che era la stella polare al tempo della la creazione della piramide e il condotto d'aria meridionale indicava una delle stelle nella costellazione della cintura di Orione intorno al 2600 a.C.

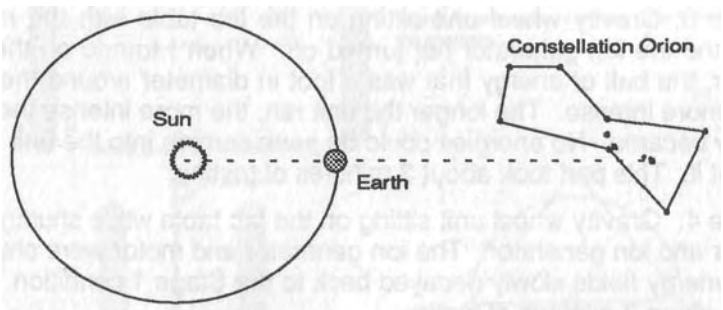
Misure moderne più precise[7] hanno anche dimostrato che i condotti d'aria nord e sud della Camera del Re e il condotto d'aria meridionale della Camera della Regina risalgono alla piramide al 2450 a.C. I dettagli di questa scoperta di Bauval sono illustrati nella figura 7.4.2-2.

È interessante notare che la terra è allineata con il sole e le tre stelle nella cintura di Orione intorno al 13-15 dicembre di ogni anno. Nella prima settimana di quest'anno, 1997, all'alba e al tramonto il sole era allineato con le tre stelle nella cintura di Orione E con l'asse dell'esperimento della ruota gravitazionale.



Figura

In altri w onduit (vedere figura 7.4. Orione quale stimola i campi di forza della ruota gravitazionale in modo che si avvicinino totalmente a tutte le forze locali conosciute (ad es. gravità, elettromagnetica, inerziale e radioattività); e poi l'intero esperimento della ruota gravitazionale cerca di decollare verso Orione.



Durante dicembre e gennaio, il sole, la terra e Orione sono allineati. All'alba e al tramonto, l'asse dell'esperimento della ruota gravitazionale è allineato con il sole e la Iota Orionis. Questo è il punto di massimo effetto antigravitazionale.

Figura 7.4.2-3 Correlazione dell'esperimento della ruota gravitazionale con Costellazione di Orione

Gli astronauti di Orione costruirono la Grande Piramide? Il condotto energetico è uno stargate stellare e di comunicazione? Ricorda, gli esperimenti sulla gravità di Parr cercano di volare (gravitare?) Lungo il condotto energetico. Ecco perché l'esperimento perde peso.

7.5 Esame chiaroveggente e rabdomante dell'esperimento di Joe Parr

Ho eseguito alcuni test per vedere cosa potevano vedere e percepire i sensibili durante l'esperimento della ruota gravitazionale. Joe Parr ha condotto una serie simile di test usando Bill Cox, rabdomante di fama mondiale, per analizzare i campi energetici attorno all'esperimento della ruota gravitazionale. I risultati si correlavano perfettamente.

Fase 1: unità ruota a gravità seduta sul tavolo del laboratorio senza il motore in funzione. C'è un campo energetico attorno al magnete e all'area della ruota. La supposizione era che ciò fosse dovuto esclusivamente ai magneti e all'interazione che avevano con la ruota che non si muoveva tra di loro. Il campo circonda l'area del magnete per circa una distanza di 4 o 5 pollici in uno sferoide generalmente oblato. Questa parte ha richiesto circa 2 minuti di test.

Fase 2: Unità ruota a gravità seduta sul tavolo del laboratorio con il motore in funzione. Non appena ho acceso il motore, il campo energetico attorno all'assemblea ha iniziato ad espandersi. Il campo è cresciuto fino a circa 4 piedi di diametro attorno all'unità*a*la parete e il soffitto. Il campo totale potrebbe estendersi ulteriormente, ma il muro e il soffitto erano d'intralcio. Potevo sentire distintamente il campo intorno alla ruota gravitazionale. C'era un'intensa bolla di energia attorno all'unità di circa trenta centimetri di diametro che si attenuò più all'esterno. Sembrava che ci fossero flussi di energia a spirale che provenivano dalla configurazione sperimentale, ma la natura della spirale non era una certezza. Questa parte ha richiesto circa 2 minuti di test.

Fase 3: Unità ruota a gravità seduta sul tavolo del laboratorio con il motore in funzione e il generatore di ioni non acceso. Quando ho acceso il generatore di ioni, la sfera di energia che aveva un diametro di trenta centimetri attorno all'unità è diventata più intensa. Più a lungo correva l'unità, più intensa diventava la sfera di energia. Non si vedeva alcuna energia entrare nell'unità dall'esterno. Questa parte ha richiesto circa 3 minuti di test.

Fase 4: Unità ruota gravitazionale seduta sul tavolo del laboratorio mentre si spegne il motore e il generatore di ioni. Il generatore di ioni e il motore sono stati spenti e i campi energetici sono lentamente decaduti tornando alla condizione della Fase 1. Questa parte ha richiesto circa 3 minuti di test.

7.6 Piramidi di alluminio e osservazioni energetiche JP

Un'altra rapida serie di test è stata condotta utilizzando chiaroveggenti per osservare i campi energetici delle piramidi di alluminio che avevo lavorato. Esperimenti

incluso avere l'unità ruota a gravità in funzione. La seguente sequenza ha richiesto solo 10 minuti di test.

Osservazione 1. L'esperimento della ruota gravitazionale è andato avanti in maniera abbastanza continua da circa 10 giorni a due settimane. L'intero garage era pieno di energia eterica, che era più intensa attorno al tavolo degli esperimenti della ruota gravitazionale.

Osservazione 2. Le piramidi di alluminio negli stessi numeri e configurazioni danno gli stessi risultati delle piramidi di rame. La conclusione è che le piramidi metalliche concentrano l'energia in modo più potente rispetto alle piramidi non metalliche.

7.7 P. critica

Ci sono lui Parr
Centrifuga ent terminato
14 anni f hese ha
già essere e piccolo
magneti. T o forte.
I test mostrano 0,5 pollice
ceramica ma nment di
il magne il Due
esperimenti di il
magneti con

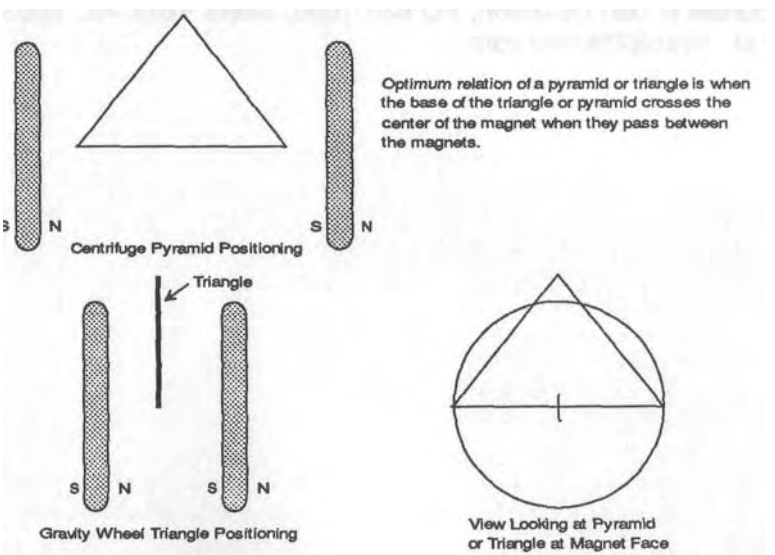


Figura 7.7-1. Posizionamento ottimale del magnete per esperimenti di gravità

Entrambi gli esperimenti di Joe hanno triangoli in quanto le piramidi nel primo esperimento hanno triangoli opposti e la ruota dentata nel secondo esperimento ha triangoli opposti. Joe scoprì che la ruota dentata non avrebbe funzionato finché i triangoli di rame non fossero stati liberati dal contatto con ciascuno dei triangoli adiacenti. Il tocco è stato eliminato mettendo una piccola fessura tra ogni triangolo e rimuovendo il rame dal centro della ruota dentata.

7.8 Sintesi degli effetti sperimentali del potere di forma

Il tema principale di questo capitolo è che il potere della forma produce effetti misurabili e può essere misurato con sensori speciali. La forma piramidale converte le forze eteriche in energie elettriche e magnetiche standard misurabili con strumentazione standard.

Gli esperimenti di Parr mostrano che è possibile generare campi di forza antigravitazionali usando le piramidi. Questi sono campi di livello macro (cioè la dimensione dell'apparato sperimentale) piuttosto che i minuscoli campi generati dagli effetti Townsend Brown dove gli effetti massimi sono dell'ordine di meno dell'1% del peso totale. Con l'esperimento della ruota gravitazionale di Parr, otteniamo effetti da 3 a 5 volte il peso della ruota gravitazionale (ovvero, la ruota dentata nell'esperimento).

Joe Parr e io vorremmo che più sperimentatori fossero interessati a duplicare l'esperimento per ulteriori correlazioni. Contattami se sei seriamente intenzionato a investire un po' di tempo nella duplicazione dell'esperimento. Il mio indirizzo è Dan Davidson, PO Box 1090, Sierra Vista, AZ 85636, o e-mail a: rivas@theriver.com

7.9 Bibliografia

1. "Dielectrics as Gravity Wave Detectors", Dan A. Davidson, Proceedings of the 1991 Extraordinary Science Conference, sponsorizzato dalla International Tesla Society, Inc. PO Box 5636, Colorado Springs, Colorado, 80931, luglio 1991.

2.Energia gratis. La gravità e l'etere . Dan A. Davidson, RIVAS, PO Box 1090, Sierra Vista, Arizona 85636,1996.

3.Parafvsiche trasversali . Tesla Book Company, casella postale 1649, Greenville, Texas, 75401,

4. Copia inedita del taccuino della ricerca di Townsend Brown sui rilevatori di gravità che utilizzano diversi materiali di conduttività in un circuito a ponte di Wheatstone. I dati variavano quotidianamente con una grande quantità di rumore/picchi nei dati.

5. "Tutto sulle onde gravitazionali", Greg Hodowanec,*Elettronica,*aprile 1986.

6.La Grande Piramide. Il suo messaggio divino . D. Davidson e H Aldersmith, Londra, William Rider and Son Ltd., 1924.

7.Il mistero di Orione . Robert Bauval e Adrian Gilbert, Crown Paperbacks, 201 East 50th Via, New York 10022.1995.

CAPITOLO 8

STRUTTURA NUCLEARE - BASE DEL POTERE DI FORMA

Questo capitolo esamina il potere di forma delle strutture subatomiche.

8.1 Introduzione

L'atomo è l'ultima, originale, struttura di potere della forma. La sua vibrazione e movimento perpetuo rivelano che opera all'interfaccia dell'universo fisico con il regno eterico. Tutte le forze e gli elementi conosciuti sono incorporati nella struttura dell'atomo, e probabilmente molti altri di cui non siamo ancora a conoscenza. Risolvi come l'atomo fa il suo miracolo di moto perpetuo e hai risolto come è costruito l'universo fisico. Il controllo della gravità e l'energia libera saranno alcuni degli sviluppi risultanti quando l'atomo sarà compreso.

Nel primo capitolo, il semplice atomo, come immaginato da John EW Keely, è stato raffigurato come un vortice toroidale di forza eterica, con una sottostruttura di toroidi incorporati all'interno del toroide più grande in un effetto a tripla particella. Il toroide principale è costituito da tre toroidi più piccoli che ruotano per formare lo schema principale più grande, con ogni schema che si ripete ad ogni sottolivello, possibilmente *verso l'infinito.*

La fisica moderna immagina l'atomo come un insieme di particelle nucleari tenute insieme dalla forza forte, dalla forza debole, dalla gravità, dall'elettricità e dal magnetismo per formare i vari elementi atomici. La loro teoria è che il centro dell'atomo ha un nucleo, un nucleo di queste particelle subatomiche, che è circondato da una nuvola di elettroni che orbitano attorno al nucleo a velocità tremenda.

Né il modello di Keely senza elettroni né la visione modernista con il loro brodo di particelle sono un concetto soddisfacente. Esistono gli elettroni, almeno le particelle

che assomigliano a loro, odorano come allora e ciarlatano come una spina, quindi il modello di Keely è incompleto o semplicemente non abbiamo abbastanza informazioni per definirlo. Inoltre, un elettrone o una loro nuvola che ruota continuamente attorno al nucleo dovrebbe esaurire rapidamente l'energia della radiazione attraverso elettromagnetica, quindi abbiamo più anomalie da affrontare.

D'altra parte, il serraglio di particelle del "modello standard" sembra esistere, ma solo per i momenti più fugaci. Le particelle stabili (cioè quelle che esistono indipendentemente dall'atomo sono l'elettrone, il positrone, il protone e l'antiprotone. Qualcuno potrebbe chiedere: "il neutrone non è una particella stabile?"; l'osservazione mostra che si trasforma rapidamente in un elettrone e un protone.

Un nuovo modello dell'atomo sta emergendo dai ricercatori scientifici alternativi che sembra soddisfare le osservazioni sperimentali. Questo capitolo descrive questo nuovo modello atomico. La struttura atomica è descritta da questo nuovo modello e siamo in grado di derivare le costanti nucleari e fisiche, inoltre il modello costituisce la base per una grande teoria del campo unificato. Nessuno dei ricercatori scientifici alternativi che ho analizzato, incluso me stesso, ha il quadro completo; ma sembra che ci stiamo muovendo nella giusta direzione. Ho cercato di mettere insieme tutte le parti per avere una teoria più completa e formare un quadro coerente del livello atomico e delle forze nucleari di base. I ricercatori che hanno formato le idee centrali sono elencati nella bibliografia.

L'essenza di questo nuovo modello è che l'elettrone, il protone, il positrone e l'antiprotone sono tutte particelle toroidali (cioè a forma di ciambella) che ruotano alla velocità della luce. Il neutrone è il risultato della compressione di un elettrone e di un protone nel nucleo.

Quando stavo iniziando a studiare la fisica alternativa e la scienza negli anni '50, il mio primo contatto con un'alternativa al modello standard della fisica moderna fu con la struttura toroidale del nucleo di John EW Keely. Essendo stato istruito ("lavaggio del cervello") dai miei corsi di fisica nucleare, chimica atomica ed elettronica, l'"atomo" di Keely era fonte di estrema perplessità. Da un lato, la prova che Keely aveva davvero scoperto un certo minimo di controllo della gravità e del magnetismo era sbalorditiva (e ben oltre la fisica moderna), ma non sono mai stato in grado di riconciliare completamente ciò che ha fatto con ciò che ha detto essere la base fisica per l'atomo. Il suo atomo non è stato adeguatamente spiegato nella scarsa letteratura disponibile e non sono riuscito a capire se le particelle descritte da Keely fossero elettroni, protoni, neutroni, o cosa. La mia conclusione (circa 1959) fu che il concetto di Keely di una struttura particellare toroidale era probabilmente vicino, ma la sua struttura subatomica era sciocca come il modello standard. Decisi che le particelle subatomiche di breve durata non erano altro che il residuo di un nucleo toroidale, fatto di etere, che veniva fatto a pezzi e più forte veniva fatto esplodere, più strano era il brodo di particelle. Ogni atomico successivo, più potente

L'acceleratore che i fisici hanno usato per far esplodere il nucleo ha trovato nuove particelle da aggiungere al serraglio di particelle, forse particelle dalla sottostruttura di Keely di toroidi sempre più piccoli.

Darò una derivazione parziale delle formule matematiche che descrivono il nuovo modello atomico alternativo; tuttavia, se il lettore vuole vedere i dettagli nitidi, guarda negli articoli elencati nella bibliografia alla fine di questo capitolo. In linea di massima, mi sono allontanato dalle descrizioni matematiche nei capitoli precedenti e ho tentato di formare una rappresentazione verbale e grafica dei vari elementi del potere della forma per rendere questo argomento affascinante attraente, comprensibile e utilizzabile per il ricercatore serio che potrebbe non avere un background matematico. In questo capitolo mostrerò che esiste una solida base matematica per questa nuova fisica. Se la matematica non è il tuo forte, allora leggi le parole e studia le immagini, raccontano la stessa storia e otterrai l'80% dei concetti essenziali.

Il mio primo vero contatto con l'elettrone come struttura toroidale, a cui era associata un po' di matematica, è stato il lavoro fondamentale svolto dal Dr. Paramahansa Tewari[1,2,3,4,5]. Modellazione successiva di Paul Stowe[6,7]
ha riempito più del puzzle della gravitazione, il dottor Hal Puthoff[8]e soci Ml hanno chiarito il concetto di inerzia, e il recente lavoro di Lucas e Bergman[9,10,11,12]risolve un'altra serie di mie domande sul nucleo e sulla struttura atomica e su come la struttura si combina geometricamente Quello che segue è un concetto unificato di questi. Non pretendo che questa sia la fine della discussione sulla struttura nucleare, ma almeno è un punto per iniziare a sviluppare una nuova struttura razionale della materia e dell'universo, e per formare una base teorica per una nuova immagine del potere della forma. sforzi di ricerca.

8.2 L'elettrone toroidale

Lo spazio è immaginato come un mezzo superfluidico, non viscoso, relativamente privo di attrito, privo di massa e continuo. Può essere modellato come un superfluido paniculato con una spaziatura media di interazione di*l*Essenzialmente, questa è una nuova definizione dell'etere.[1]

L'elettrone è ipotizzato come un anello toroidale (cioè a forma di ciambella). L'anello con un raggio di*R*e una sezione trasversale di*r,*ruota con una velocità c, la velocità della luce. L'anello (o più propriamente il toroide) ruota anch'esso su se stesso intorno alla sezione con raggio*r.*Si può dimostrare che la carica elettrica dell'elettrone e le proprietà del campo elettrostatico associate sono il risultato delle due rotazioni dell'anello sul suo asse e sulla sua sezione trasversale.

Nella teoria classica della cinetica, la velocità dell'onda trasversale in un fluido è:

$$c = \sqrt{\frac{P}{\rho}} \qquad (1)$$

Where P is the pressure and ρ is the fluid density.

From electrostatics the velocity of light, c, is related to the permeability μ_0, and the permittivity ε_0 of free space. The relationship is:

$$c = \sqrt{\frac{1}{\mu_0 \varepsilon_0}} \qquad (2)$$

Equating (1) and (2):

$$\frac{P}{\rho} = \frac{1}{\mu_0 \varepsilon_0} \qquad (3)$$

Since light is a transverse phenomena, we find that μ_0 = 1/P, the coefficient of compressibility, and $\varepsilon_0 = \rho$ which is mass/density.

To find Plank's constant we define a field vector entity as follows:

S = Space
V = Velocity
Z = momentum
L = average movement or mean free path
t = rate of momentum
h = action parameter
m_z = mass or apparent mass and $Z = m_z V$ (from kinetics)

There are n of these entity vectors in a given space. The action parameter is defined as follows:

$$h = 2Z\int_0^L dh = 2ZL \qquad (4)$$

Substituting for $Z = m_z V$,

$$h = 2\, m_z V L$$

The total energy of the system is the integral:

$$E = n\int_0^t h dt = nht \qquad (5)$$

The rate t is V for wave velocity and c (i.e., the speed of light) for electromagnetic radiation.

Thus:

$E = h V$ for wave motion (6)

$E = m_z c^2$ for relativistic energy (7)

Since equation 6 is the same as the energy in an electromagnetic wave, then h is Plank's constant.

The quantity of charge relates to the charge of an electron. The electron is defined as a torroid with area $a = 4\pi^2 R r$ and volume $S = 2\pi^2 R r^2$ where R is the large torroidal radius and r is the cross-section radius. The electric charge e of the electron is the total momentum Z of the electron which is spread over area per unit volume. In equation form this is:

$$e = Z\,4\pi^2 Z L / 2\pi^2 Z L^2 = 2Z/L \qquad (8)$$

Since $h = 2PL$ and $e = 2Z/L$ then:

$$L = \sqrt{\frac{h}{e}} \qquad (9)$$

Electric charge e, with a value of ±1.6029E-19 kg/sec, is the local divergence of the aetheric field and is related to μ_0 and ε_0 as follows.

$$q = \frac{1}{2\pi}\sqrt{\frac{h}{\sqrt{\frac{3\mu_0}{\varepsilon_0}}}} \qquad (10)$$

Anche la carica di un elettrone, la costante di Rydberg e la costante gravitazionale sono derivabili dalla semplice meccanica dei fluidi[1,2]trattamento dell'etere. Vedere la tabella 1, pagina 119, per un sommario delle semplici relazioni delle costanti atomiche ed elettriche di base derivate usando la meccanica dei fluidi e trattando l'etere come un mezzo particolato superfluidico.

L'analisi del protone porta alla conclusione che si tratta anch'esso di un vortice toroidale etereo, rotante a velocità c, con raggio e sezione anulare differenti[3,4]. Il toroide protonico, quando viene spezzato, si trasforma in una sottostruttura composta da tre quark, anch'essi toroidi, che ruotano come un tutto completo per formare il protone. Si teorizza che i quark non siano particelle autostabili, quindi si dissipano rapidamente.

Table 8.1-1. Functional relations of fundamental units (1 of 2)

QUANTITY	NAME	RELATION TO KNOWN CONSTANTS	VALUE	UNITS	RELATED FUNCTIONS
q or Q	Elemental charge	$q = \frac{1}{2\pi}\sqrt{\frac{h\varepsilon_0}{\sqrt{3}}}$	±1.602E-19	*kg*/sec	q=DIV P Charge is local divergence of aetheric field
h	Plank's constant	$h = \frac{\sqrt{3}\,(2\pi q)^2}{\varepsilon 0 c}$	6.624E-34	kg m^2/sec	$\alpha = \frac{1}{8\pi^2\sqrt{3}}$ =1/137 fine structure constant
K_R	Rydberg's constant	$K_R = \sqrt{\frac{q}{2h}}$	10986593.8	m^{-1}	grainess of aetheric particle field
v or λ	frequency of matter or wavelength (only for very light elements)	$\nu = \frac{q}{mp}$ $\lambda = \frac{c \cdot mp}{q}$	for hydrogen $\lambda e = 1.87E-3$ $\lambda p = 3.91m$	*hz* *m*	λ_e for electron yields 2.73 °K λ_p for proton yields 1.64E-3 °K
V	volt	$V = IR$	variable	m^2/sec	measure of differential velocity in distance
R	resistance	$R = \frac{V}{I}$	variable	m^2 sec/*kg*	

Table 8.1-1. Functional relations of fundamental units (2 of 2)

QUANTITY	NAME	RELATION TO KNOWN CONSTANTS	VALUE	UNITS	RELATED FUNCTIONS
I	current	$I = \frac{V}{R}$	variable	$\frac{kg}{sec^2}$	rate of change of charge (mass flow)
E	Energy	$E = VI$	variable	$m^2\ kg/sec^3$	Energy = mass flow x voltage
m T	Gauss		unity	m=CURL P where P = momentum or pressure	Magnetic field strength, magnetic fields are curl or rotation of aetheric field
ε_0	permitivity of free space		8.854E-12	kg/m^3	density of the aether
μ_0	permeability of free space	$\mu 0 = \frac{1}{P}$	1.257E-6	$\frac{m \cdot sec^2}{kg}$	inverse energy density or inverse pressure of aetheric field
c	speed of light	$C = \sqrt{\frac{1}{\mu 0 \varepsilon 0}}$	2.99E+8	m/sec	$c^2 = \frac{< v^2 >}{\sqrt{3}}$ $< v^2 >$ average velocity of aether
G	gravitational constant	$c^2 \mu_s \varepsilon_0$	$6.67 * 10^{-11}$	$\frac{newton^* m^2}{kgm^2}$	the force of gravity is GRAD E

8.2.1 Fisica dell'elettrone toroidale

Quando John Keely (circa 1896) propose per la prima volta la struttura toroidale del nucleo, la fisica stava appena iniziando a prendere confidenza con l'elettrostatica e aveva solo un barlume di struttura nucleare. L'elettrone fu scoperto nel XIX secolo da JJ Thompson nel suo famoso esperimento con la goccia d'acqua. Da allora, sono stati proposti vari modelli dell'elettrone, ma fino agli ultimi 10 anni nessuno ha escogitato un modello fisico che concordasse con l'osservazione sperimentale. Gli attuali modelli quantistici sono modelli matematici, costretti a concordare con l'evidenza sperimentale, ma non spiegano la struttura fisica dell'elettrone. Nella sezione precedente, ho usato il modello del toroide per mostrarlo

volere
prestito a
derivare
Di nuovo, e
superficie ortex
fatto e
la sua d etere
flusso (es.
Il utilizzato
uniforme insieme a
velocit affitto
di el zione

dei principi massa/velocità. Infatti, poiché l'anello è elettromagnetico, le forze em si muovono comunque in c. L'area, *un,* dell'anello è *4*pi greco* $_2$*Rr.* Così,

$$e = \sigma 4\pi^2 Rr \qquad (11)$$

The energy E_e of the ring is from classical electrostatics[13].

$$E_e = e^2/2C \qquad (12)$$

Where C is the capacitance of the ring, the inductive or magnetostatic energy E_m is also derived from classical electrostatics.

$$E_m = Li^2/2 \qquad (13)$$

L is the self inductance with current i of the ring. The current is also from classical electrostatics and is:

$$i = ec/2\pi R \qquad (14)$$

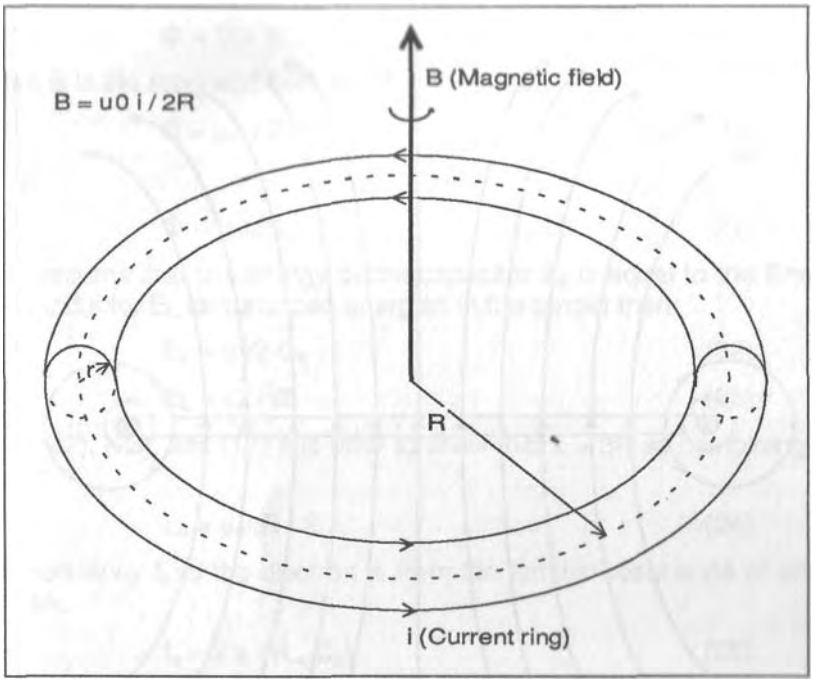


Figura 8.2.1.1-1. Struttura elettronica toroidale

Si vede così che l'elettrone, come un anello toroidale, ha sia campi magnetici che elettrici, nonché un momento magnetico causato dallo spin dell'anello. Il campo magnetico è mostrato nella figura 8.2.1.1-2 e il campo elettrico si irradia dall'anello in tutte le direzioni. Questo crea una relazione push-pull con lo spazio circostante. Il campo elettrico attrarrà o respingerà i campi e di polarità simile e il campo magnetico farà lo stesso per i campi b.

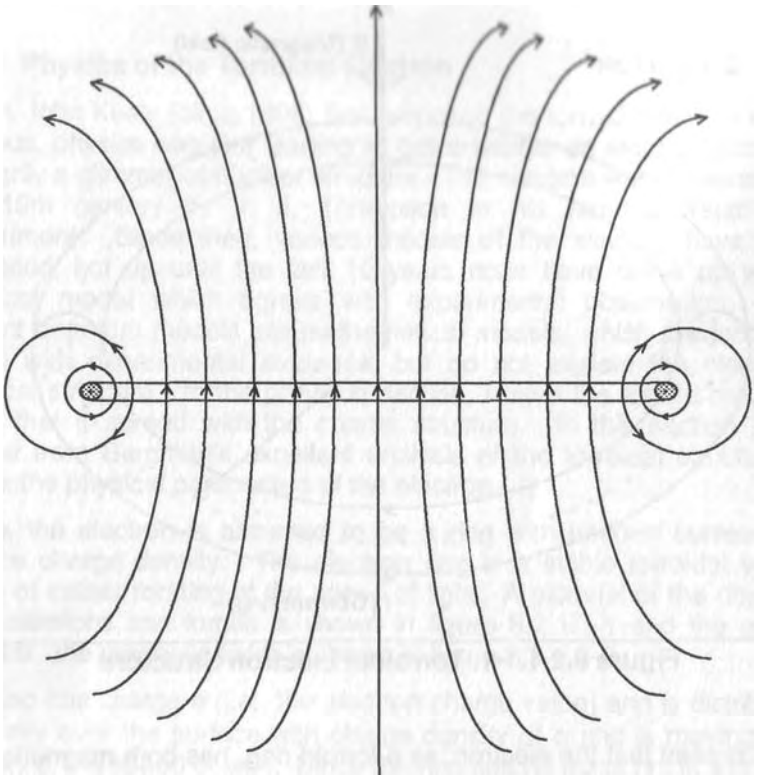


Figure 8.2.1.1-2. Side View of Torroidal Electron with Aether Flow (i.e., the magnetic field)

For a very thin ring where r << R the voltage V is computed as follows:

$$V = 1/(4\pi\varepsilon_0)\ (e/(x^2 + R^2)^{1/2}) \qquad (15)$$

Capacitance $C_e = q/V$ (from Sears[13]: "Electrostatics") but $q = e$ so

$$C_e = e/V \qquad (16)$$

Combining 15 and 16:

$$C_e = 4\pi\varepsilon_0/(x^2 + R^2)^{1/2} \qquad (17)$$

The inductance of the ring L_e is:

$$L_e = N\Phi/i \qquad (18)$$

where N is number of turns, x is the flux and i is the current. N = 1, and Φ is:

$$\Phi = B \times A \quad (19)$$

where B is the magnetic field and A is the area.

$$B = \mu_0 i / 2R \quad (20)$$

Thus:

$$\Phi = \mu_0 i \pi R / 2 \quad (21)$$

If we assume that the energy of the capacitor E_c is equal to the Energy of the inductor E_L for balanced energies in the torroid then:

$$E_c = e^2/2\, C_e \quad (22)$$

$$E_L = L_e\, i^2/2 \quad (23)$$

From (22), (23), and (17) it is easy to show that $x = 3R$ so combining the above:

$$L_e = \mu_0 \pi R / 2 \quad (24)$$

The frequency f_e of the electron is from the familiar resonance of an LC network:

$$f_e = 2\pi / (L_e C_e) \quad (25)$$

Combining (17), (22), and (23) yields:

$$f_e = c / R \quad (26)$$

From Menzel[14] the Compton wavelength f_c is:

$$f_c = mc^2/h \quad (27)$$

where c is speed of light and h is Plank's constant. Combining (26) and (27),

$$R = h / mc \quad (28)$$

This is the large radius, R, of the electron.

The anomalous magnetic moment can also be computed from this model of the torroidal electron. The ring current i is $i = e\varpi/2\pi$ where ϖ is the angular velocity which is c so

$$i = ec/2\pi R \quad (29)$$

Magnetic u_e is:

$$u_e = Ai \quad (30)$$

where A is the area of the current torroid. Combining (28), (29), and (30) yields:

$$u_e = he/4\pi m = u_B \quad (31)$$

where u_B is the Bohr magneton. Computation of this yields:

$u_e = 0.92731$ which is good to 3 decimal places.

The anomalous electron moment correction[14] is:

$$(1 + \alpha/2\pi - 2.973\alpha^2/\pi^2) = u_e/u_0 \qquad (32)$$

where α is the fine structure constant and $\alpha = 7.29729 \times 10^{-3}$. When this correction is computed:

$$u_e = 0.928381$$

che è buono a 6 posti per il magnetone di Bohr. È possibile ottenere una maggiore precisione utilizzando una migliore approssimazione per l'induttanza L_e e la forma toroidale che viene eseguita nell'analisi di Bergman.

Il punto principale da trarre da tutto ciò è che il modello dell'elettrone del toroide produce buoni risultati che non sono ottenibili con la meccanica classica o quantistica. L'altro punto importante è che tutta questa analisi elimina la necessità delle teorie della relatività di Einstein poiché possiamo derivare tutti i parametri atomici senza le assurde assunzioni di Einstein. Speriamo che la comunità ortodossa accetti il programma e si svegli.

Un riepilogo delle equazioni e dei valori del modello del toroide è riportato nella tabella 8.2.1.1-1. Questa tabella mostra anche i valori per il positrone, il protone e l'antiprotone. Il protone è correlato in termini di dimensioni dalla massa del protone al rapporto di massa dell'elettrone di 1836,15. Il protone è 1836,15 volte più massiccio dell'elettrone, quindi il suo momento magnetico, raggio, rotazione e corrente sono influenzati in modo simile. L'Appendice B riassume parte dei nuclidi della struttura atomica basata sulla teoria delle particelle toroidali. Si vede che questo corrisponde perfettamente ai valori noti misurati con elettroni e protoni.

Table 8.2.1.1-1 Values of Elementary Stable Particles ($\kappa = 1836.15$)

PARAMETER	SYMBOL	EQUATION	UNITS	VALUE for ELECTRON	ELECRON FACTOR	POSITRON FACTOR	PROTON FACTOR	ANTI-PROTON FACTOR
Charge	e	e	Coulomb	$1.6021892 \times 10^{-19}$	-e	+e	+e	-e
Radius (large)	R	R = h/mc	Meter	3.86607×10^{-13}	R	R	R/κ	R/κ
Radius (crossection)	r	r	Meter	7.42214×10^{-200}	r	r	r/κ	r/κ
Rim velocity	c	c	Meters/second	2.9979×10^{-8}	c	c	c	c
Rotation	ω	c/R	Radians /second	$7.7545445 \times 10^{-20}$	ω	ω	ω	ω
Current	i	ωe/2πR	Ampere	19.77357	-i	+i	+κi	-κi
Spin (normalized)	s_e	h/2	Joule-sec	$1.0545887 \times 10^{-34}$	s_e	s_e	s_e	s_e
Capacitance	C	$C = 2\pi\varepsilon_0 / R$	Farad	3.12812×10^{-25}	C	C	C/κ	C/κ
Inductance	L	$L = \mu_0\pi R/2$	Henry	2.0891×10^{-16}	L	L	L/κ	L/κ
Compton frequency	f	$f_e = c / R$	Hertz	1.23703×10^{20}	f	f	κf	κf

8.3 Struttura atomica

La struttura atomica si costruisce secondo le regole della geometria e la polarità delle particelle atomiche.[4,7,8] Le polarità sono il risultato di flussi eterici dentro e fuori la materia dove le direzioni del flusso producono i poli magnetici. John Ernst Worrel Keely è stato il primo fisico subatomico come ha caratterizzato il struttura era de fisica. Uno di protone[15]. Aveva particelle. Ulteriore sottostruttura cont all'interno di ciascuno par sottostruttura 27 l raffigurato in un porcile sferico conchiglie t teorizzato nel scoperta antedat tre particelle maki zione di atomico ence di vibratorio struttura del tre subnucleari questo tre particelle livello di particelle a controllare il L'atomo di Keely lo è m era più vicino a tura era finalmente nel 1958. Keeley's nman ha chiamato il

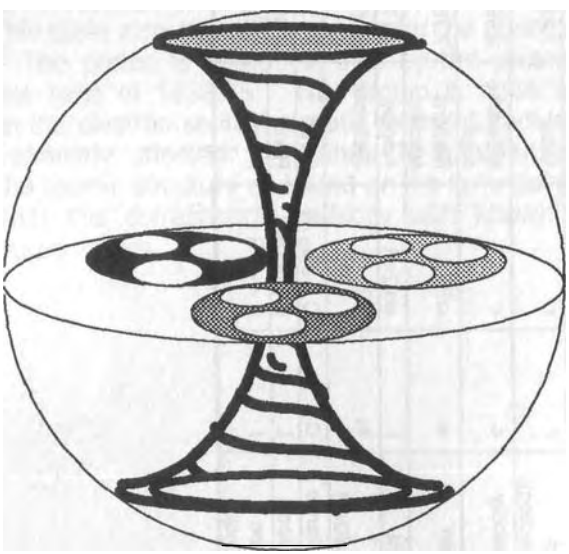
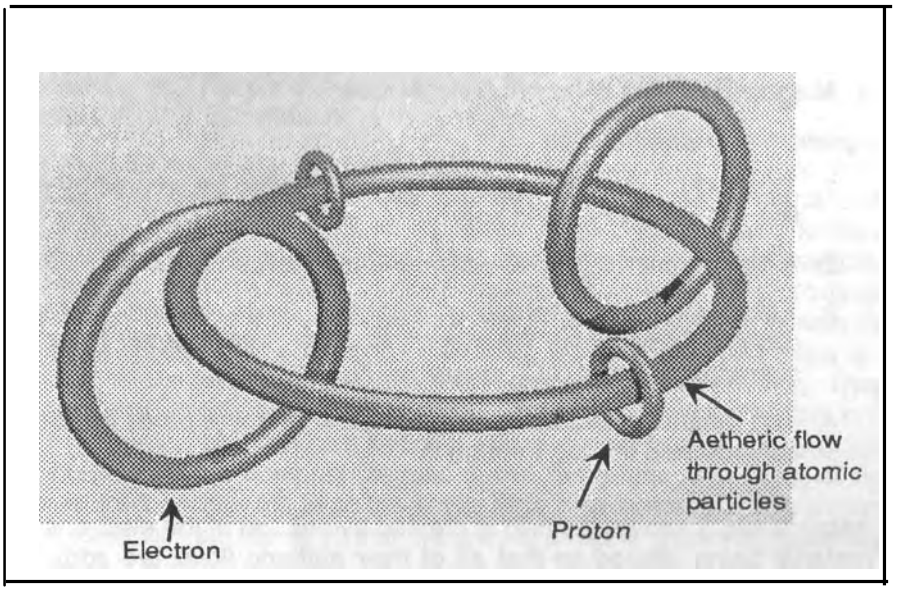


Figura 8.3-1. Keely "Atomo" (cioè Protone) che mostra toroidale Struttura

La Figura 8.3-2 mostra la struttura atomica toroidale di due atomi di idrogeno combinati per formare la molecola di idrogeno (cioè H_2) con due elettroni e due protoni.



F

Figura 8.3-3 atomo di elio con
due elettroni n, secondo a
Bergmann, io da neutroni
decomporsi Al nucleare
livello, il p indietro e via
in ogni o è perché il
due elettroni

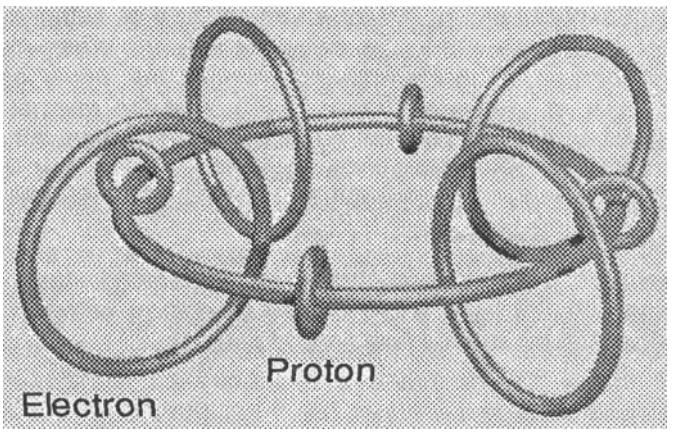


Figura 8.3-3. Atomo di elio toroidale

8.4 Magnetismo

Il magnetismo esiste come:

1. Il campo magnetico naturale della terra teorizzato per essere creato dal flusso del nucleo liquido della terra.
2. Un campo magnetico permanente attorno a materiali magnetizzati
3. Campi magnetici statici o alternati attorno a fili percorsi da corrente dove la corrente è rispettivamente corrente continua (CC) o corrente alternata (CA).
4. Il campo magnetico di un anello toroidale elettronico che è attraversato dal campo eterico locale.

Nei casi 2 e 3 di cui sopra, il campo è creato da un numero sufficiente di elettroni in un materiale allineato in modo che tutti i loro flussi eterici siano additivi e creino un grande flusso di etere nell'area attorno al magnete. Quindi vediamo che i campi magnetici sono tutti il risultato del caso 4 sopra (cioè, flussi vorticosi dell'etere).

La forte polarità dei magneti è dovuta alla concentrazione dell'etere che scorre attraverso i poli. I test, condotti dall'autore con i chiaroveggenti, hanno verificato che un magnete è essenzialmente una pompa dell'etere.

I magneti hanno un'energia che scorre intorno a loro, come io e molti altri nuovi ricercatori scientifici abbiamo postulato. I miei esperimenti di laboratorio più gli esperimenti con i chiaroveggenti lo hanno dimostrato il campo magnetico attorno a un magnete permanente c'è infatti un flusso vorticoso di forza eterica. Gli atomi agiscono come pompe eteriche per muovere l'etere. Quando molti degli atomi sono allineati, come in un magnete permanente, i flussi eterici degli atomi si sommano tutti insieme per creare un grande flusso attorno al magnete. La ricerca fondamentale, nel secolo scorso, del barone von Reichenbach usando i chiaroveggenti, ha studiato le energie attorno ai magneti. Una delle osservazioni che fecero fu che c'era energia blu al polo nord ed energia rossa al polo sud.

Tenendo magneti permanenti volere carica su un di persona aura. Due i magneti rivolti verso NS-SN hanno una grande bolla di energia tra di loro. Il potere della forma può attingere al flusso di energia attorno ai magneti.

8.4.1 Gravità

Come riassunto nella tabella 8.1-1, la costante di gravitazione, come grad*E,* correla con il lavoro fondamentale di T. Townsend Brown. Brown ha scoperto che un condensatore tenderà a muoversi nella direzione del

piastra positiva. La perdita di peso apparente è il risultato quando le placche sono perpendicolari al gradiente di gravità locale. Questo effetto può essere migliorato rendendo una lastra molto più piccola dell'altra. Questo essenzialmente costringe il grad E a massimizzare.

Va notato che il grado E è indipendente dal fatto che il campo sia AC o DC. Gli esperimenti hanno dimostrato che anche con questo potenziamento il condensatore non ha tutto il suo peso apparente annullato e levita. La ragione di ciò può essere trovata ancora una volta nel rapporto della particella nucleare con l'etere. Anche se ogni atomo è in costante risonanza con l'etere, questa risonanza non è sincronizzata attraverso la massa[16]. Ogni atomo sta facendo le sue cose, per così dire, e c'è uno scambio casuale con l'etere rispetto a tutti i nuclei. Così, quando un grad E funziona come una pompa eterea attraverso le piastre del condensatore, solo una piccola parte degli atomi si sincronizza a questo flusso eterico così che l'intera massa non risponde allo stesso tempo; quindi, tutti gli atomi non cercano di muoversi contemporaneamente. Un interessante esperimento suggerito da Paul Stowe per testare l'effetto grad E è mostrato nella figura 8.4-1.

L'analisi di vari eventi, apparentemente scollegati, in cui si è assistito alla levitazione fornisce alcuni importanti indizi su un mezzo per effettuare la sincronizzazione dei nuclei. Ciò è stato spiegato, in dettaglio, in un articolo di Davidson e Decker[16]. La sincronizzazione dei nuclei con l'etere è stata ottenuta con due metodi principali; vale a dire, rotazione o movimento e sonicamente.

Townsend Brown è stato abbastanza aperto nel pubblicizzare i suoi risultati sperimentali anche se erano stati finanziati in parte dall'Office of Naval Research di San Diego. Tuttavia, quando ha iniziato a far ruotare i suoi gravitori sul loro asse, i risultati sono stati improvvisamente classificati e tutte le informazioni sui suoi esperimenti sono cessate. Si sospetta che ne sia derivata un'importante levitazione e questa svolta è stata classificata per proteggere la scoperta in modo che potesse essere sfruttata per la "difesa nazionale".

L'analisi del fenomeno dell'inerzia fornisce l'indizio principale su come la rotazione potrebbe agire per sincronizzare il flusso di etere nella sottostruttura nucleare dei gravitori. Haisch, Rueda e Puthoff[8]teorizzano che l'inerzia sia il risultato della resistenza della massa al movimento attraverso il campo di energia di punto zero (ZPE) (cioè l'etere) perché la massa, a livello nucleare, è collegata direttamente all'etere. Puthoff ei suoi amici fecero una bella prova di ciò che Keely affermò, nel 1896, che l'inerzia era il risultato della resistenza della massa al campo eterico locale. Quindi, è facile vedere che il movimento/rotazione potrebbe causare il riorientamento dei flussi eterici della massa rispetto alla direzione del movimento.

La stimolazione sonica esegue la stessa cosa facendo risuonare insieme tutti gli atomi della massa, il che sincronizza i flussi eterici nel

nucleo.
dove così

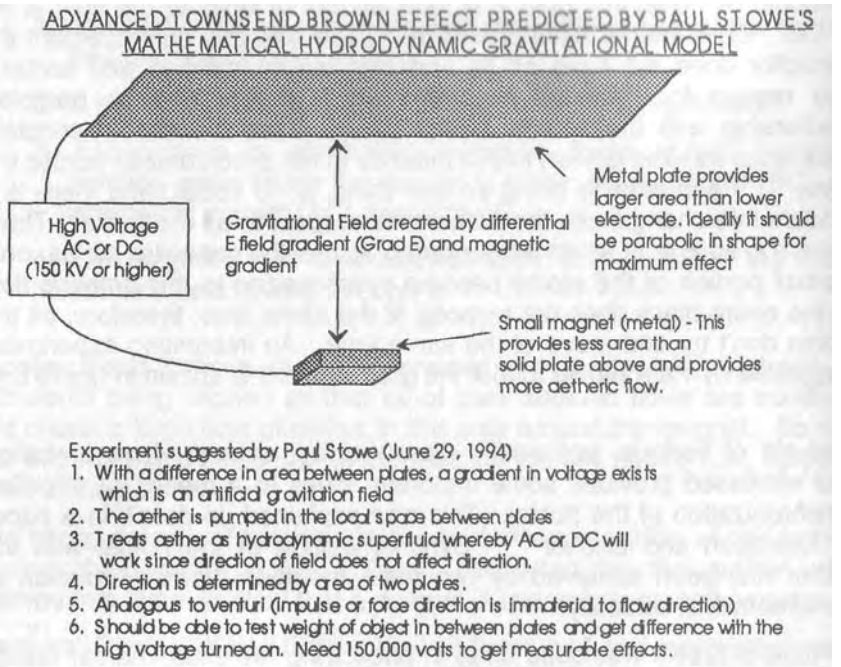


Figura 8.4-1. Esperimento di Paul Stowe per testare l'idrodinamica

Modello di gravità

8.5 Riassunto della struttura nucleare

In questo capitolo è stato presentato un nuovo modello dell'atomo. La vecchia idea degli elettroni che ruotano attorno al nucleo è stata abbandonata e sostituita da una struttura a quattro particelle di base in cui le particelle sono toroidi dell'etere che ruotano alla velocità della luce. L'etere è modellato come un superfluido. Usando questi concetti, possiamo facilmente derivare le costanti atomiche e tenere conto della struttura atomica e derivare la morfologia di base dei vari elementi nella tavola periodica. L'attuale visione ortodossa della struttura atomica non può farlo. Secondo il principio del rasoio di Occam, il modello più semplice dovrebbe essere quello prevalente.

8.6 Bibliografia

1. "Lo spazio è la realtà assoluta", Dr. Paramahansa Tewari, Conferenza internazionale sull'assoluta spazio-tempo, Genova, Italia, luglio 1982.

2.Al di là della materia . Dott. Paramahansa Tewari, Pubblicazioni Printwell, 1984.

3. "Rilevamento del substrato spaziale stazionario e dinamico", Dr. Paramahansa Tewari,Raum un Seit . Vol 2, n. 1, 1990.

4. "Interazione dell'elettrone e del campo magnetico nel fenomeno della generazione di energia spaziale", Dr. Paramahansa Tewari,Magneti nel tuo futuro . Vol 2., n. 12, dicembre 1987.

5. "Rilevamento del substrato spaziale stazionario e dinamico", Paramahamsa Tewari,Raum un Zeit . volume 2, n. 1,1990.

6. "A Definition of Electric Charge", Paul Stowe, 243 Bentley Court, American Canyon, California, 94589, 2 maggio 1993.

7. "The Cause of Gravity", Paul Stowe e Barry Mingst, 243 Bentley Court, American Canyon, California, 94589, 28 aprile 1991.

8. Haisch, Rueda e Puthoff,*Revisione fisica,*1994, pagine 678-694.

9. "New Spinning Charged Ring Model of the Electron", David L. Bergman, Twin-Cities Creation Conference, 29 luglio-1 agosto 1992.

10. "Modello ad anello carico rotante di particelle elementari", David L. Bergman,*Elettrodinamica galileiana,*marzo/aprile 1991.

11. "Un modello fisico per atomi e nuclei", Joseph Lucas,*Elettrodinamica galileiana,*gennaio/febbraio 1996.

12. "Modelli fisici per particelle elementari, atomi e nuclei", David L. Bergman e Charles Wm. Lucas, Jr., IV International Conference: Problems of Space, Time & Motion, San Pietroburgo, Russia, 23-29 settembre 1996.

13.Elettricità e magnetismo . Francis Weston Sears, Addison-Wesley Publishing Company, Reading Mass., 1946.

14. Formule fondamentali di Fisica. Donald H. Menzel, Dover Pubblicazione, Inc., 1960.

15.Schiantato contro la roccia . William J. Colville, Boston: Colby e Rich, 1894. Colville era un caro amico di John Keely e questo libro è una pubblicazione dei segreti di Keely incorporati in un romanzo metafisico.

16. "Risonanza di massa: un altro segreto dell'antigravità. Dan A. Davidson e Jerry Decker, *Scienza Straordinaria,* aprile-maggio-giugno 1995.

CAPITOLO 9

EGITTO—SPEDIZIONE DI RICERCA

9.1 1997 Spedizione di ricerca sulla forza di forma in Egitto

Dal 26 maggio al 6 giugno 1997, Joe Parr, Jerry Decker e io parteciperemo a una spedizione di ricerca in Egitto per eseguire vari esperimenti in loco presso la Grande Piramide. Questo capitolo descrive in dettaglio lo sfondo e le aspettative di quella spedizione.

9.2 Panoramica della spedizione egiziana

Ci sono tre scopi principali per questa spedizione di ricerca:

1. Prova il controllo sonoro del campo di forza attorno alla Grande Piramide. Questo esperimento è progettato per attivare e disattivare il campo di forza della piramide. In questo modo la piramide e il relativo campo di forza agiranno come un dispositivo di segnalazione per segnalare alla galassia che abbiamo infranto il codice su ciò per cui crediamo fosse originariamente utilizzata la piramide; vale a dire, un dispositivo di comunicazione interstellare.
2. Misurare i campi magnetici ed elettrici all'interno e intorno alle piramidi e ad altri siti.
3. Visita vari monumenti storici egiziani e siti antichi per raccogliere dati su possibili testimonianze di civiltà antiche e avanzate. Ciò includerebbe l'analisi di antichi geroglifici e la misurazione dei campi magnetici attorno a questi siti. I geroglifici sono una possibile fonte di artefatti o informazioni sul potere della forma.

9.3 Creazione sonica di campi di forza piramidali

Come discusso nella sezione 7.2.4, una piramide, oltre ai triangoli basati su proporzioni piramidali, ha un campo di forza naturale sia che la piramide sia ferma o in movimento. In realtà, qualsiasi piramide fissa sulla terra si muove a circa 2000 miglia all'ora solo a causa della rotazione terrestre.

Come discusso nel capitolo 7, una forma piramidale, se opportunamente stimolata, intensifica il campo di forza naturale in modo che questo campo di forza diventi opaco alle forze naturali e artificiali, come il magnetismo, l'elettromagnetismo (ad esempio, le onde radio) e le particelle nucleari, e l'opacità varia in base all'ora del giorno, al periodo dell'anno e alla posizione della terra. Negli esperimenti descritti nel capitolo 7, il campo di forza è stato "alimentato" con una sorgente di ioni.

Recenti esperimenti di Joe Parr gli hanno permesso di scoprire che il campo di forza può anche essere alimentato e controllato da energia sonora (cioè suono) di una specifica frequenza.

9.3.1 Analisi Acustica della Camera del Re

Joe ha fatto un'analisi sonora della camera del re della Grande Piramide. L'analisi è stata effettuata presso le strutture di Sonatech, Inc., utilizzando programmi per computer di analisi acustica moderni e sofisticati. Ciò è possibile, poiché le misure esatte della camera del Re, così come tutte le altre metriche della Grande Piramide, sono ben documentate.

Utilizzando la modellazione al computer, ha scoperto che la camera del re risuonava a 46,0, 92,0, 137,9, 183,9 e 229,9 hertz. Questo mostra che ci sono diverse frequenze di risonanza della camera. L'unico problema con questa analisi è che il forziere sul pavimento della Camera del Re cambia le proprietà risonanti della camera. Ciò che fanno queste frequenze è mettere tra parentesi l'intervallo di analisi della frequenza esatta (cioè da 46,0 hertz a 239 hertz).

9.3.2 Trovare la frequenza del campo di forza della piramide

Per trovare la frequenza esatta, Joe ha stimolato l'esperimento della ruota gravitazionale con l'energia acustica nell'intervallo sopra definito per un periodo prolungato. La stimolazione dell'energia acustica è stata eseguita nell'intervallo di analisi con incrementi di frequenza molto fini. È stata misurata la reazione dei campi di forza della ruota gravitazionale.

L'esperimento della ruota gravitazionale rallenta quando il campo di forza dei triangoli diventa più opaco. Facendo scorrere il generatore di segnali acustici attraverso la gamma di frequenze, Joe è stato in grado di individuare il

frequenza esatta alla quale i campi di forza sono stati intensificati dal segnale acustico.

Dopo una dettagliata sperimentazione, Joe trovò la frequenza di risonanza sonora a cui risuonava la piramide. La frequenza è di 51,0 hertz!

Per coloro che hanno studiato la Grande Piramide, l'angolo alla base (cioè l'angolo che un lato forma con la base) della piramide è di 51,287 gradi, noto anche come angolo Phi.

È un'incredibile correlazione che il numero associato all'angolo più celebrato della Grande Piramide sia anche la frequenza di risonanza del campo di forza della piramide!

9.3.3 Faro interstellare

Ciò che fa la frequenza di 51 hertz, quando convertita in un segnale acustico/sonoro, è intensificare l'opacità dell'intero campo di forza piramidale. Se la frequenza viene attivata e disattivata, il campo di forza si attiva e disattiva. Quando il campo di forza si spegne, l'energia nel campo di forza collassa e avvia un impulso che viene focalizzato dalla piramide e l'impulso viaggia lungo il condotto energetico.

Per la spedizione in Egitto, Joe ha costruito uno speciale generatore di segnali con un amplificatore audio collegato che pilota un altoparlante hi-fi a bassa frequenza. Il sistema di generazione del suono viene ulteriormente stimolato con uno speciale segnale codificato. L'intera configurazione è progettata per attivare e disattivare il campo di forza della Grande Piramide in base a uno specifico treno di segnali.

Attivando e disattivando il campo di forza della Grande Piramide, l'energia nel campo di forza, mentre collassa, si irradia dalla piramide come un raggio di energia che non viene fermato da nient'altro che da un altro campo di risonanza. Il risultato netto dell'accensione e dello spegnimento del campo di forza è quello di far sì che la piramide agisca come un faro o trasmettitore interstellare.

Joe ha anche costruito un controller digitale che accende e spegne il generatore di frequenza. Mentre siamo tutti nella Grande Piramide, Joe invierà un segnale ben noto, pi greco (cioè 3,1415), il rapporto tra la circonferenza di un cerchio e il suo diametro, che è una costante universale, usando la Grande Piramide come antenna trasmittente. Il trasmettitore interstellare di Joe invierà 31415 ripetutamente per un periodo di 14 ore durante un condotto di energia previsto dal nostro sole. Quello che stiamo facendo in questo esperimento stellare è chiedere:

CIAO! C'È QUALCUNO LÀ ASCOLTATO?

Solo una frequenza, che rappresenta la parete più lunga della camera del Re, è stata decifrata. Altre due dimensioni rimangono sconosciute, insieme alle loro frequenze e funzioni associate.

Figura 9.3.3-

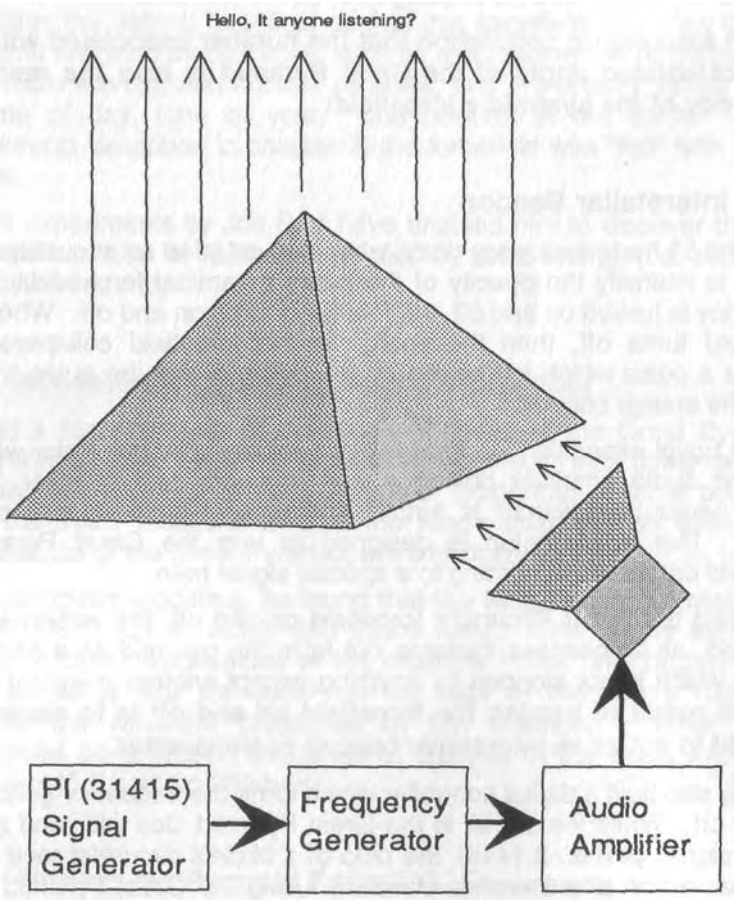


Figura 9.3.3-1 Esperimento del faro interstellare della Grande Piramide

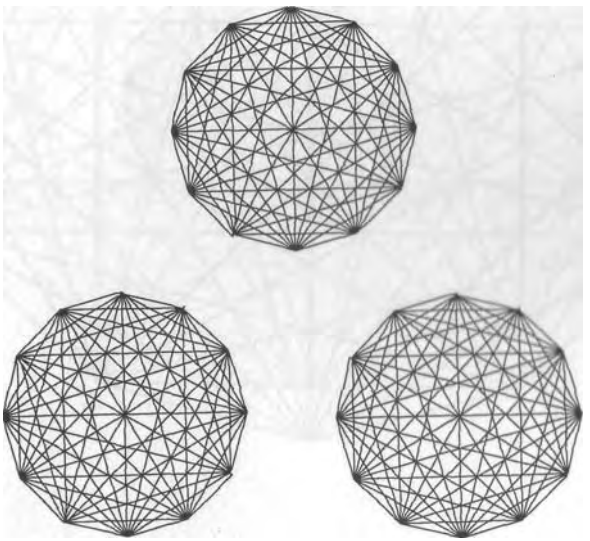
9.4 Misurazioni del campo magnetico alla Grande Piramide

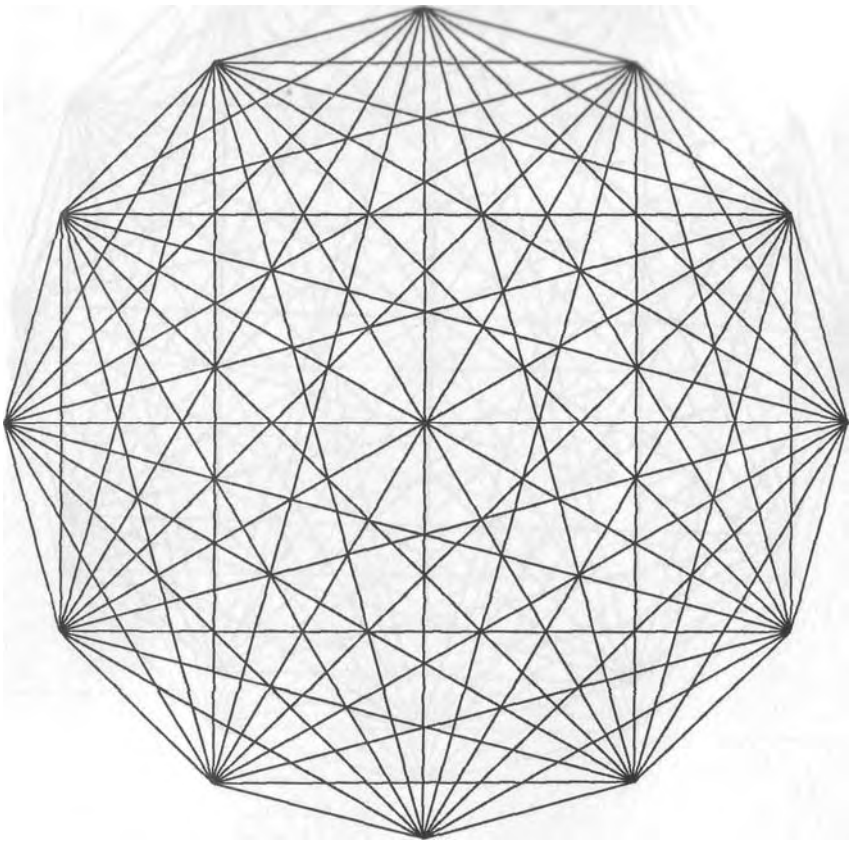
Un altro esperimento, che eseguirò, consiste nell'utilizzare un magnetometro fluxgate sensibile per misurare l'orientamento del campo magnetico attorno alla Grande Piramide e in altri siti antichi. Questo testerà per possibile

distorsione dell'ea ci Sì abilita
per individuare possib

9.1 Prove per A

Il terzo aspetto della ons di
tecnologia avanzata





Appendice A.

Movimenti di energia sacra

introduzione

Nell'estate del 1995, decisi che avevo bisogno di saperne di più su come manipolare personalmente l'energia eterica. Pochi giorni dopo, in un'esperienza spirituale molto viva, mi sono trovato in un'area aperta con tre Esseri. Era un posto bellissimo, erba verde, alcuni begli alberi e tranquillo, ma con una sensazione di grandi energie.

Gli Esseri avevano campi energetici molto intensi o aure, che potevo sia vedere che sentire. Le loro aure irradiavano grande potere, forza e controllo. Gli Esseri erano Maestri o Adepti dell'energia eterica che per primi avevano dominato totalmente se stessi. Il Maestro in carica mi ha mostrato un movimento energetico per costruire il mio campo energetico come il loro.

Ho avuto altre tre di queste esperienze dalla prima nel 1995, quindi ci sono un totale di quattro movimenti, ciascuno progettato per uno scopo specifico, ma tutti sotto la categoria generale del controllo personale e dell'uso dei vari aspetti dell'energia universale.

Durante la prima esperienza, il capo della squadra mi disse che c'era un intenso campo energetico vicino al suolo. Potevo percepire/sentire questa energia sopra la superficie del terreno, durante l'esperienza, e da allora ho dimostrato che posso percepirne il livello anche da sveglio. Questo campo energetico è verde, alto 6-18 pollici, e scorre in onde da sud a nord. Le onde hanno enormi quantità di energia.

Indicazioni generali

Nell'eseguire i movimenti, i Maestri stavano in piedi, rivolti a nord, con i palmi uniti sul petto in una posa di preghiera. Avevano tutti il totale controllo di se stessi nella mente, nel corpo e nello spirito, e in ogni parte la parola Maestro

implica (cioè, uno che ha dominato se stesso in tutti gli aspetti). Quando esegui i movimenti, dovresti essere centrato mentalmente, emotivamente e spiritualmente prima di procedere con il movimento. Ogni movimento termina nella stessa posizione di partenza; cioè nella posa orante rivolta a nord. Poiché i movimenti sono progettati per attingere ai campi energetici naturali per uso personale, i movimenti sono fatti meglio all'aperto stando a terra in modo da essere immersi il più possibile nell'energia verde. Durante la bella stagione, puoi fare i movimenti in casa stando al piano terra. Gli effetti dei movimenti sono notevolmente diminuiti quando non ci si trova a terra o al piano terra. Fatta eccezione per il movimento di spazzata, gli esperimenti hanno dimostrato che gli effetti massimi si hanno quando si è rivolti a nord.

Nel seguito, il termine "posa standard" significa stare in piedi con i piedi leggermente all'altezza delle spalle, rivolti a nord, con le mani all'altezza del petto, tenuti insieme in una posa di preghiera e centrati mentalmente e spiritualmente.

Questi movimenti influenzano molti livelli di energia all'interno della persona dallo spirituale attraverso l'eterico, mentale, emotivo e fisico.

Movimento della taglierina

Inizia con la posa standard. Quindi allontana leggermente le mani tenendo i palmi rivolti verso l'alto. Inizia a ruotare le lancette con un movimento circolare, mantenendole sempre parallele e il più vicino possibile l'una all'altra senza toccarle. Con le mani che continuano a ruotare, accovacciati e porta le braccia davanti al corpo a livello del suolo tra i piedi; e poi alzati di nuovo in piedi, eseguendo nel frattempo il movimento del cutter, portando le mani sopra la sommità della testa. Assicurati di accovacciarti e poi rialzarti, per continuare il movimento di taglio rotante.

Mentre esegui questo movimento, visualizza l'energia che viene attirata nei quattro corpi inferiori e li ripulisce, specialmente i centri energetici del corpo fisico (cioè i chakra ei punti di agopuntura).

È stato riscontrato che quanto più vicine si possono tenere le mani senza che si tocchino e vicine al corpo durante il movimento del cutter, tanto più intensi sono i suoi effetti.

L'effetto principale del movimento è quello di ripulire i quattro corpi inferiori (cioè il fisico, il mentale, l'emotivo e l'eterico) da ogni energia negativa. Gli esperimenti hanno dimostrato che l'effetto massimo di questo movimento è quando si guarda a nord. Abbiamo chiamato questo movimento "Cutter" dopo il movimento di tagliare le energie negative dentro e intorno ai quattro corpi inferiori.

Movimento Scoop

Inizia con la posa standard. Accovacciati e porta le braccia davanti al corpo in un movimento di abbraccio. Mentre ti accovacci, fai un movimento di raccolta e raccogli l'energia verde nei tuoi quattro corpi inferiori con le mani a coppa e le braccia che si muovono in archi circolari verso il corpo, raccogliendo l'energia. La parola "corpi" è usata per farti pensare e visualizzare l'energia che entra nei tuoi corpi mentali, emotivi, fisici ed eterici. La raccolta iniziale dovrebbe essere eseguita con le mani vicine al suolo facendo diverse palette e mantenere la raccolta mentre ti alzi lentamente.

Quando i Maestri si alzarono, gonfiarono la loro aura con un movimento circolare di movimenti delle mani in archi che portavano energia nel corpo. Inoltre, sembravano visualizzare l'energia che veniva attirata nel corpo. Alla fine, hanno agitato le mani, scaricando qualsiasi energia qualificata negativamente che avrebbero potuto estrarre dai loro corpi.

L'effetto principale di questo movimento è che carica i quattro corpi inferiori (cioè il fisico, il mentale, l'emotivo e l'eterico). Gli esperimenti hanno dimostrato che l'effetto massimo di questo movimento è quando si guarda a nord. Abbiamo chiamato questo movimento "Scoops" dopo il movimento di raccogliere l'energia nel corpo.

Dopo aver fatto questo movimento, i chiaroveggenti vedono i corpi pieni di energia a tal punto che si irradia per circa 3 o 4 piedi intorno ai corpi in | brillante luce bianca molto intensa così brillante che il corpo fisico è appena visibile.

Movimento Snips

Inizia nella posa standard. Questo movimento viene eseguito unendo le dita della mano destra in un'azione di taglio. Ancora una volta la persona dovrebbe essere in piedi mentre esegue questo movimento, con la mano sinistra posizionata sopra l'area del cuore. La mano destra è tesa in qualunque direzione debba avvenire il taglio e le dita sono estese e le dita e il pollice sono uniti sulle punte. Le dita si aprono e si chiudono in un'azione tagliente. Questo movimento interrompe le proiezioni di energia negativa dagli altri, restituisce l'energia al mittente e libera da qualsiasi connessione con gli altri in modo da non essere influenzato dai pensieri e dalle pressioni dell'energia degli altri. Il modo migliore per eseguire il movimento è tagliare tutto intorno al corpo, davanti, dietro, ai lati, sopra e sotto. Quando fai questo movimento, crea un campo di forza bloccante che protegge la persona. L'attività di questo movimento è stata verificata da test chiaroveggenti e chiaroveggenti. Abbiamo chiamato questo movimento "Snips".

In un sogno, diversi mesi dopo, venivo attaccato da una persona con a pistola. Ho fatto il movimento di Snips e la persona è stata colpita contro un muro, mentre la pistola è stata lanciata dalla mano della persona che aveva lo scopo di mostrarmi l'intenso campo di blocco e protezione creato dal movimento di Snips, anche se sembra un tale movimento movimento innocente.

Movimento di spazzate

Inizia nella posa standard. Questo movimento è un movimento meraviglioso per ripulire la posizione eterica e atmosferica ovunque sia diretto. Per iniziare questo movimento, guarda verso nord ed estendi le braccia in avanti, all'altezza del petto, con i palmi verticali e rivolti verso l'esterno rispetto al corpo. La mano sinistra dovrebbe essere sopra la mano destra all'inizio. Ora visualizza e senti l'energia che esce dai palmi delle mani e dalla punta delle dita. Quindi, abbassa entrambe le mani con un movimento ampio sul lato sinistro del corpo e ruota delicatamente a sinistra all'altezza della vita durante il movimento a sinistra. Ora riporta le braccia nella posizione dei palmi estesi davanti al corpo; ma questa volta la mano destra è sopra la mano sinistra. Quindi ripeti il movimento ampio, ma questa volta spostati verso il lato destro del corpo, per tutto il tempo visualizzando e sentendo l'energia che arde dai palmi e dalle punte delle dita. Il prossimo passo è ruotare di 45 gradi a destra e ripetere l'intero movimento questa volta rivolto a nord-est. Questo movimento ampio su ciascun lato del corpo si ripete nelle otto direzioni principali della bussola (vale a dire, nord, nord-est, est, sud-est, sud, sud-ovest, ovest, nord-ovest e ritorno a nord).

I test di chiaroveggenza con questo movimento rivelano che spazza via un percorso di luce abbagliante, liberando totalmente l'area intorno a dove si trova la persona che esegue il movimento. Il movimento effettua anche registrazioni permanenti nel luogo e crea lì un'intensa focalizzazione di energia di luce eterica.

Un regime che utilizza movimenti di energia verde

I movimenti di energia di cui sopra sono descritti nell'ordine in cui dovrebbero essere eseguiti. Quello che segue è un regime standard che dovrebbe essere fatto almeno una volta al giorno.

Inizia nella posa standard.

Cutter - Pulisce i quattro corpi inferiori in modo che gli altri movimenti siano più efficaci. Fallo almeno tre volte.

Scoop - Riempie i quattro corpi inferiori con enormi quantità di energia. Fallo almeno tre volte.

Cesoie-Stabilisce un campo energetico personale, protettivo e ci libera dalle proiezioni di energia negativa e dalle connessioni con gli altri. Fallo intorno a tutto il corpo.

Sweeps - Ripulisce la località e il mondo da schemi di energia negativa, registrazioni eteriche distruttive e stabilisce un focus di energia costruttiva. Fallo in un cerchio completo due volte.

Cutter - Ripeti una o due volte per ripulire maggiormente i quattro corpi inferiori.

Scoop - Fai ancora due volte per caricare davvero i quattro corpi inferiori.

Termina in posa standard mentre rendi gratitudine all'Universo.

Risultati Dai Quattro Movimenti Energetici

Abbiamo scoperto che se sei a corto di vitalità, fare il movimento Scoop riporterà il tuo livello di energia a livelli dinamici. Poiché il campo di energia verde è vicino alla terra, eseguire il movimento al piano terra o all'aperto. Rivolto a nord, gli esperimenti hanno dimostrato che gli Scoops funzionano meglio in questa direzione.

Gli esperimenti mostrano che il movimento di spazzata è utile per ripulire una località. Le stanze, in particolare il posto di lavoro, dove sembra esserci poca vitalità o sentimenti negativi, vengono ripulite eseguendo il movimento Sweeps. È consigliabile eseguire il movimento nella stanza quando non c'è nessun altro in giro perché potrebbero pensare che tu sia uscito di testa. L'estensione dell'area spazzata via da schemi indesiderati sembra essere una funzione dell'intento della persona che esegue il movimento. Se, mentre si effettuano le spazzate, l'energia delle mani viene visualizzata per molte miglia, allora questo accade effettivamente e un'area enorme viene ripulita.

Quando fai questi movimenti, cammina sempre sulla via di mezzo e sii consapevole degli altri e non intrometterti nel loro modo di vivere. Non abbiamo mai il diritto di imporre il nostro modo di vivere agli altri. Tuttavia, è del tutto accettabile essere una benedizione per il luogo, inosservati, ovunque ci troviamo.

APPENDIX B

TRUNCATED TABLE OF NUCLIDE DATA

Information in this table supplied by
Torroidal Theorist - Charles Wm. Lucas, Jr., 4511 Poppe Place, Temple Hills, MD 20748 USA

This table is a selection of nuclides and the atomic structure based on the vortex model of the atom.

ATOMIC SYMBOL	A	Z	P 1	N 1	P 2	N 2	P 3	N 3	P 4	N 4	P 5	N 5	P 6	N 6	P 7	N 7	P 8	N 8	ACTUAL SPIN	RING MODEL SPOIN	SHELL MODEL SPIN
n	1	0	0	1															1/2	1/2	1/2
H	1	1	1	0															1/2	1/2	1/2
H	2	1	1	1															1	1	1
H	3	1	1	2															1/2	1/2	1/2
He	3	2	2	1															1/2	1/2	1/2
He	4	2	2	2															0	0	0
Li	5	3		2	3														3/2	3/2	3/2
Li	6	3	2	2	1	1													1	1	3
Li	7	3			3	4													3/2	3/2	3/2
Li	8	3		1	3	4													2	2	2
Li	9	3		2	3	4													3/2	3/2	3/2
Li	11	3	1		2			8											1/2	1/2	3/2
Be	6	4	2	2	2														0	0	0
Be	7	4	2		2	3													3/2	3/2	3/2
B	7	5	2	2	3														?	3/2	1/2
B	8	5	2	2	3	1													2	2	2

ATOMIC SYMBOL	A	Z	P 1	N 1	P 2	N 2	P 3	N 3	P 4	N 4	P 5	N 5	P 6	N 6	P 7	N 7	P 8	N 8	ACTUAL SPIN	RING MODEL SPOIN	SHELL MODEL SPIN
C	8	6	2		4	2													0	0	0
C	9	6	2		4	3													3/2	3/2	3/2
N	12	7	1	1	6	4													1	1	2
N	13	7	1		6	6													(1/2)	1/2	1/2
O	12	8																	?	0	0
O	13	8			4	3	4	4											3/2	3/2	3/2
F	15	9	1	2	6	6													(1/2)	1/2	5/2
F	16	9		1	1	2	6	6											0	0	3
Ne	16	10	2		8	6													?	0	0
Ne	17	10	2	1	8	6													1/2	1/2	1/2
Na	19	11			3		8	8											?	3/2	5/2
Na	20	11			3	1	8	8											2	2	5
Mg	20	12																	?	0	0
Mg	21	12		4	4	5	8												5/2	5/2	5/2
Al	22	13			5	3	8	6											4	4	5
Al	23	13			5	4	8	6											?	5/2	5/2
Si	23	14	2		4	3	8	6											?	3/2	5/2
Si	24	14	2		4	4	8	6											?	0	0
P	26	15	2	1	5	4	8	6											3	3	3
P	27	15	1	0	6	4	8	8											1/2	1/2	1/2
S	29	16	2	0	6	5	8	8											5/2	5/2	5/2
S	30	16	2	0					14	14									0	0	0
Cl	31	17			3	0			14	14									3/2	3/2	3/2
Cl	32	17	1	1	2	0			14	14									1	1	2

ATOMIC SYMBOL	A	Z	P 1	N 1	P 2	N 2	P 3	N 3	P 4	N 4	P 5	N 5	P 6	N 6	P 7	N 7	P 8	N 8	ACTUAL SPIN	RING MODEL SPOIN	SHELL MODEL SPIN
Ar	31	18																	?		5/2
Ar	32	18			2				16	14									?	0	0
K	35	19			3	2			16	14									3/2	3/2	3/2
K	36	19			3	1			16	16									2	2	3
Ca	35	20		1	6				14	14									?	1/2	1/2
Ca	36	20	2		4	2			14	14									?	0	0
Sc	40	21	2	2	5	3			14	14									4	4	5
Sc	41	21			7	6			14	14									7/2	7/2	7/2
Ti	41	22			2	3	8		14	14									3/2	3/2	3/2
Ti	42	22			2	4	8		14	14									?	0	0
V	43	23																	?		7/2
V	44	23																	?		7
Cr	44	24	2	2	6	6			14	14									?	0	0
Cr	45	24	2	2	6	7			14	14									7/2	7/2	7/2
Mn	46	25																	?		7
Mn	47	25																	?		7/2
Fe	48	26																	?	0	0
Fe	49	26																	7/2		7/2
Co	56	27			3	5	6	6	18	18									4	4	5
Co	57	27			2	4	7	8	18	18									7/2	7/2	7/2
Ni	58	28			2	2							26	28					(0)	0	0
Ni	60	28			2	4							26	28					(0)	0	0
Cu	60	29			1	3							28	28					2	2	7
Cu	63	29		2	3	4							26	28					3/2	3/2	3/2

ATOMIC SYMBOL	A	Z	P 1	N 1	P 2	N 2	P 3	N 3	P 4	N 4	P 5	N 5	P 6	N 6	P 7	N 7	P 8	N 8	ACTUAL SPIN	RING MODEL SPOIN	SHELL MODEL SPIN
Zn	64	30			4	4							26	30					(0)	0	0
Zn	66	30			4	6							26	30					(0)	0	0
Ga	68	31	1	1	4	6							26	30					1	1	4
Ga	69	31	2	2	3	4							26	32					3/2	3/2	3/2
Ge	70	32			4	6							28	32					0	0	0
Ge	72	32		2	4	6							28	32					0	0	0
As	73	33			3	4	4	6					26	30					3/2	3/2	5/2
As	74	33			1	3	6	8					26	30					(2)	2	7
Se	73	34							8	9			26	30					(9/2)	9/2	1/2
Se	74	34							8	10			26	30					(0)	0	0
Br	77	35			3	4	6	8					26	30					3/2	3/2	5/2
Br	79	35			3	4	6	8					26	32					3/2	3/2	5/2
Kr	78	36			2	4	6	8					28	30					(0)	0	0
Kr	80	36			2	4	6	8					28	32					(0)	0	0
Rb	81	37			3	4	8	8					26	32					3/2	3/2	5/2
Rb	85	37		2	5	6	6	8					26	32					5/2	5/2	5/2
Sr	84	38			2	4			8	10			28	32					(0)	0	0
Sr	86	38		2					10	14			28	32					(0)	0	0
Y	88	39		2	3	5			8	10			28	32					(4)	4	5
Y	89	39	1	2	4	6			8	10			26	32					1/2	1/2	1/2
Zr	90	40			4	6			8	12			28	32					0	0	0
Zr	91	40		2	4	5			8	12			28	32					5/2	5/2	7/2
Nb	93	41	2	2				8	9	10			30	32					9/2	9/2	9/2
Mo	92	42							14	18			28	32					(0)	0	0
Mo	94	42						8	12	14			30	32					(0)	0	0

ATOMIC SYMBOL	A	Z	P 1	N 1	P 2	N 2	P 3	N 3	P 4	N 4	P 5	N 5	P 6	N 6	P 7	N 7	P 8	N 8	ACTUAL SPIN	RING MODEL SPOIN	SHELL MODEL SPIN
Tc	99	43			4	6		8	9	10			30	32					9/2	9/2	9/2
Ru	96	44						8	12	14			32	32					(0)	0	0
Ru	98	44		2				8	12	14			32	32					(0)	0	0
Pd	102	46						8							46	48			(0)	0	0
Pd	104	46		2				8							46	48			(0)	0	0
Ag	107	47	1	2				8							46	50			1/2	1/2	9/2
Ag	109	47	1	2		4		6							46	50			1/2	1/2	9/2
Cd	106	48						8							48	50			(0)	0	0
Cd	108	48		2				8							48	50			(0)	0	0
In	113	49					8	8	9	10		14	32	32					9/2	9/2	9/2
In	114	49		1			8	8	9	10		14	32	32					5	5	6
Sn	112	50								12					50	50			(0)	0	0
Sn	114	50								14					50	50			(0)	0	0
Sb	121	51			5	6				18					46	46			5/2	5/2	7/2
Sb	122	51			1	3				18					50	50			2	2	9
Te	120	52	2	2						16					50	50			(0)	0	0
Te	122	52	2	2						18					50	50			(0)	0	0
I	126	53	2	2	1	3				18					50	50			2	2	9
I	127	53			5	6				18					48	50			5/2	5/2	7/2
Xe	124	54			4	6				14					50	50			(0)	0	0
Xe	126	54			4	6				16					50	50			(0)	0	0
Cs	131	55		2	5	6				18					50	50			5/2	5/2	11/2
Cs	133	55		2	7	8				18					48	50			7/2	7/2	11/2
Ba	129	56		1	6	8				14					50	50			(1/2)	1/2	11/2
Ba	130	56			6	8				16					50	50			(0)	0	0

ATOMIC SYMBOL	A	Z	P 1	N 1	P 2	N 2	P 3	N 3	P 4	N 4	P 5	N 5	P 6	N 6	P 7	N 7	P 8	N 8	ACTUAL SPIN	RING MODEL SPOIN	SHELL MODEL SPIN
La	138	57	2	2	5	5		8		16					50	50			5	5	9
La	139	57			7	8		8		16					50	50			7/2	7/2	7/2
Ce	138	58	2	2	6	6		8		14					50	50			(0)	0	0
Ce	139	58		2	2	3	6	8		18					50	50			3/2	3/2	11/2
Pr	141	59		2	4	4	5	8		18					50	50			5/2	5/2	5/2
Nd	141	60		2	2	3	8	8		18					50	50			(3/2)	3/2	11/2
Nd	142	60		2	2	4	8	8		18					50	50			(0)	0	0
Pm	147	61		2	6	8	7	8				18			48	50			(7/2)	7/2	5/2
Sm	144	62							12	14		18			50	50			(0)	0	0
Sm	147	62		2	6	7	8	8				18			48	50			7/2	7/2	9/2
Gd	154	64						8	14	14		18			50	50			(0)	0	0
Gd	155	64			2	3			14	18		18			48	50			3/2	3/2	9/2
Dy	160	66				8			16	18		18			50	50			(0)	0	0
Dy	162	66		2		8			16	18		18			50	50			(0)	0	0
Ho	165	67		2	7	8		8	10	12		18			50	50			7/2	7/2	7/2
Er	164	68		2		8			18	18		18			50	50			(0)	0	0
Er	166	68							18	18				32	50	50			(0)	0	0
Yb	172	70	2	2					18	18				32	50	50			(0)	0	0
Yb	174	70			2	4			18	18				32	50	50			(0)	0	0
Lu	176	71			5	7			16	16				32	50	50			(6?)	6	8
Hf	176	72			4	4			18	18				32	50	50			(0)	0	0
Hf	178	72			4	6			18	18				32	50	50			(0)	0	0
Ta	181	73			7	8			16	18				32	50	50			7/2	7/2	11/2
W	180	74			6	6			18	18				32	50	50			0	0	0
W	182	74									24	26		32	50	50			0	0	0

ATOMIC SYMBOL	A	Z	P 1	N 1	P 2	N 2	P 3	N 3	P 4	N 4	P 5	N 5	P 6	N 6	P 7	N 7	P 8	N 8	ACTUAL SPIN	RING MODEL SPOIN	SHELL MODEL SPIN
Re	187	75			5	6					20	24		32	50	50			5/2	5/2	11/2
Os	186	76									26	28		32	50	50			(0)	0	0
Os	187	76		1							26	28		32	50	50			1/2	1/2	1/2
Ir	191	77			3	4					24	28		32	50	50			3/2	3/2	11/2
Ir	193	77		2	3						24	28		32	50	50			3/2	3/2	11/2
Pt	192	78									28	32		32	50	50			(0)	0	0
Pt	194	78		2							28	32		32	50	50			(0)	0	0
Au	196	79			1	3					28	32		32	50	50			2	2	12
Au	197	79		2	3	4					26	30		32	50	50			3/2	3/2	11/2
Hg	196	80								18		18	30	30	50	50			(0)	0	0
Hg	198	80								18		18	30	32	50	50			(0)	0	0
Tl	200	81			1	3				18		18	30	30	50	50			2	2	12
Tl	203	81	1	2		8					30	30		32	50	50			1/2	1/2	11/2
Pb	204	82				8				14		18	32	32	50	50			(0)	0	0
Pb	205	82				5				18		18	32	32			50	50	(5/2)	5/2	13/2
Bi	208	83			1	7				18		18	32	32			50	50	(4)	4	11
Bi	209	83		1	1	7				18		18	32	32			50	50	9/2	9/2	9/2
Po	209	84		1	2	6				18		18	32	32			50	50	1/2	1/2	13/2
Ac	227	89		2	3	8						18		32	32	32	50	50	3/2	3/2	9/2
Th	229	90			4	5		6				18		32	32	32	50	50	(5/2)	5/2	11/2
Th	230	90			4	6		6				18		32	32	32	50	50	(0)	0	0
Pa	231	91	2	2	3	4		6				18		32	32	32	50	50	3/2	3/2	9/2
Pa	237	91	2	2	3	6		8				18		32	32	32	50	50	(3/2)	3/2	9/2
U	233	92	2	2	4	5		6				18		32	32	32	50	50	5/2	5/2	11/2
U	235	92			6	7		8				18		32	32	32	50	50	7/2	7/2	11/2

ATOMIC SYMBOL	A	Z	P 1	N 1	P 2	N 2	P 3	N 3	P 4	N 4	P 5	N 5	P 6	N 6	P 7	N 7	P 8	N 8	ACTUAL SPIN	RING MODEL SPOIN	SHELL MODEL SPIN
Np	237	93	2	2	5	6		8				18		32	32	32	50	50	5/2	5/2	7/2
Np	239	93	1	2	6	8		8				18		32	32	32	50	50	1/2	1/2	7/2
Pu	239	94		1	8	8		8				18		32	32	32	50	50	1/2	1/2	11/2
Pu	241	94	2	2	4	5				12		18		32	32	32	50	50	5/2	5/2	11/2
Am	241	95	2	2	5	6				10		18		32	32	32	50	50	5/2	5/2	7/2
Am	242	95	1	1	6	8				10		18		32	32	32	50	50	1	1	9
Cm	242	96	2	2	6	6				10		18		32	32	32	50	50	(0)	0	0
Bk	250	97			1	3	8	8		16		18		32	32	32	50	50	(2)	2	7